

การแสดงผลของงานที่เกี่ยวข้องกับการเจริญของกระดูกอ่อนในชิโนไวรัสจากผู้ป่วย
โรคข้อเข่าเสื่อม

นายเอกณรงค์ สันธวานนท์

วิทยานิพนธ์นี้เป็นส่วนหนึ่งของการศึกษาตามหลักสูตรปริญญาวิทยาศาสตรมหาบัณฑิต
สาขาวิชาพันธุศาสตร์ ภาควิชาพฤกษศาสตร์
คณะวิทยาศาสตร์ จุฬาลงกรณ์มหาวิทยาลัย
ปีการศึกษา 2555

บทคัดย่อและแฟ้มข้อมูลฉบับเต็มของวิทยานิพนธ์นี้ถูกส่งขึ้นระบบการในคลังปัญญาจุฬาฯ (CUIR)
เป็นแฟ้มข้อมูลของนิสิตเจ้าของวิทยานิพนธ์ที่ส่งผ่านทางบัณฑิตวิทยาลัย

The abstract and full text of theses from the academic year 2011 in Chulalongkorn University Intellectual Repository (CUIR)
are the thesis authors' files submitted through the Graduate School.

EXPRESSION OF CHONDROGENIC GENES IN SYNOVIOCYTES FROM
KNEE OSTEOARTHRITIS PATIENTS

Mr.Eknarong Sintuwanon

A Thesis Submitted in Partial Fulfillment of the Requirements
for the Degree of Master of Science Program in Genetics

Department of Botany

Faculty of Science

Chulalongkorn University

Academic Year 2012

Copyright of Chulalongkorn University

หัวข้อวิทยานิพนธ์ การแสดงออกของยีนที่เกี่ยวข้องกับการเจริญของ

กระดูกอ่อนในซินโนไวโอไซต์จากผู้ป่วยโรคข้อเข่าเสื่อม

โดย นายเอกณรงค์ สันธวานนท์

สาขาวิชา พันธุศาสตร์

อาจารย์ที่ปรึกษาวิทยานิพนธ์หลัก ผู้ช่วยศาสตราจารย์ ดร.รัชนิกร ธรรมโชติ

คณะวิทยาศาสตร์ จุฬาลงกรณ์มหาวิทยาลัย อนุมัติให้นับวิทยานิพนธ์ฉบับนี้เป็นส่วนหนึ่ง
ของการศึกษาตามหลักสูตรปริญญาวิทยาศาสตรบัณฑิต

.....คณบดีคณะวิทยาศาสตร์
(ศาสตราจารย์ ดร.สุพจน์ หารหนองบัว)

คณะกรรมการสอบวิทยานิพนธ์

.....ประธานกรรมการ
(ผู้ช่วยศาสตราจารย์ ดร.ต่อศักดิ์ สีตานนท์)

.....อาจารย์ที่ปรึกษาวิทยานิพนธ์หลัก
(ผู้ช่วยศาสตราจารย์ ดร.รัชนิกร ธรรมโชติ)

.....กรรมการ
(อาจารย์ ดร.ปฐมวดี ญาณทัศนียจิต)

.....กรรมการ
(อาจารย์ ดร.เพลินพิศ โชคชัยชำนาญกิจ)

.....กรรมการภายนอกมหาวิทยาลัย
(รองศาสตราจารย์ ดร.บุษบา ฤกษ์อำนาจโชค)

เอกณรงค์ สันธวานนท์: การแสดงออกของยีนที่เกี่ยวข้องกับการเจริญของกระดูกอ่อนในซินโนไวโอไซต์จากผู้ป่วยโรคข้อเข่าเสื่อม . (EXPRESSION OF CHONDROGENIC GENES IN SYNOVIOCYTES FROM KNEE OSTEOARTHRITIS PATIENTS) อ.ที่ปรึกษาวิทยานิพนธ์หลัก : ผศ.ดร.รัชนิกร ธรรมโชติ, 62 หน้า.

โรคข้อเสื่อม (osteoarthritis, OA) เป็นโรคในกลุ่มอาการข้ออักเสบ (arthritis) จัดเป็นโรคกระดูกที่พบได้บ่อยในประชากรสูงอายุทั่วไปการแสดงออกของยีนที่เปลี่ยนแปลงไปและการเสื่อมของกระดูกอ่อนเป็นปัจจัยในการเกิดโรคข้อเข่าเสื่อม ในงานวิจัยนี้ใช้ชีวสารสนเทศในการคัดเลือกยีนที่เกี่ยวข้องกับการเจริญของกระดูกอ่อนจากฐานข้อมูลไมโครอาร์เรย์ที่เปรียบเทียบการแสดงออกของยีนระหว่างผู้ป่วยโรคข้อเข่าเสื่อมและคนปกติ ผลจากไมโครอาร์เรย์ พบว่ายีน *EBP* *IMPAD1* *PPAPDC1B* และ *FIBIN* มีแนวโน้มที่จะมี ระดับ การแสดงออกแตกต่างกันอย่างมีนัยสำคัญทางสถิติ จากนั้นได้ยืนยันผลระดับการแสดงออกในซินโนไวโอไซต์ชนิดบีด้วยเทคนิค real-time PCR พบว่าการแสดงออกของยีน *EBP* *IMPAD1* และ *PPAPDC1B* ระหว่างกลุ่มผู้ป่วยโรคข้อเข่าเสื่อม (N=33) และกลุ่มควบคุม (N=5) มีค่าไม่แตกต่างกันอย่างมีนัยสำคัญทางสถิติ ในขณะที่ยีน *FIBIN* ซึ่งได้ออกแบบไพรเมอร์โดยอาศัยลำดับนิวคลีโอไทด์ของชุดโพรบที่จำเพาะต่อยีนค่าการจับของโพรบระหว่างกลุ่มผู้ป่วยโรคข้อเข่าเสื่อมและกลุ่มควบคุมมีค่าแตกต่างกันมากกว่า 5 เท่า พบว่ามีการแสดงออกเพิ่มขึ้นอย่างมีนัยสำคัญทางสถิติ ($p=0.0228$) ในผู้ป่วยโรคข้อเข่าเสื่อม เมื่อเทียบกับกลุ่มควบคุม ซึ่งผลมีความสอดคล้องกับค่าที่ได้จากการวิเคราะห์ด้วยชีวสารสนเทศน์ เมื่อการเกิดเมทิลเลชันบนโปรโมเตอร์ของยีน *FIBIN* ด้วยเทคนิค pyrosequencing และวิเคราะห์ความสัมพันธ์ด้วยสถิติแบบ Pearson correlation พบว่าไม่มีความสัมพันธ์กันอย่างมีนัยสำคัญทางสถิติ ($p>0.05$) ระหว่างระดับการแสดงออก และการเกิดเมทิลเลชันบนโปรโมเตอร์การแสดงออกที่เปลี่ยนไปของยีน *FIBIN* อาจเป็นกลไกที่ซินโนไวโอไซต์ชนิดบีใช้ในการซ่อมแซมกระดูกอ่อนที่เกิดการเสียหายของผู้ป่วยโรคข้อเข่าเสื่อม หรืออาจเป็นปัจจัยที่สำคัญในการเกิดกระดูกงอกในข้อเข่าของผู้ป่วยโรคข้อเข่าเสื่อม ซึ่งเป็นสาเหตุที่สำคัญที่ทำให้ผู้ป่วยโรคข้อเข่าเสื่อมมีอาการรุนแรงขึ้น และนำไปสู่สภาวะทุพพลภาพ อย่างไรก็ตามกลไกของยีน *FIBIN* ที่มีต่อโรคข้อเข่าเสื่อมยังไม่แน่ชัด ดังนั้นควรมีการศึกษาเพิ่มเติมถึงกลไกการทำงานของยีน *FIBIN* เพื่ออาจใช้ในการพัฒนาการรักษาที่มีความจำเพาะต่อการเกิดโรคข้อเข่าเสื่อมได้

ภาควิชา.....พฤกษศาสตร์.....ลายมือชื่อนิสิต.....
 สาขาวิชา.....พันธุศาสตร์.....ลายมือชื่อ อ.ที่ปรึกษาวิทยานิพนธ์หลัก.....
 ปีการศึกษา.....2555.....

5272689923 : MAJOR GENETICS

KEYWORDS : EXPRESSION / CHONDROGENIC GENES / OSTEOARTHRITIS

EKNARONG SINTUWANON : EXPRESSION OF CHONDROGENIC GENES IN
SYNOVIOCYTES FROM KNEE OSTEOARTHRITIS PATIENTS. ADVISOR : ASST.
PROF. RACHANEEKORN TAMMACHOTE, Ph.D., 62 pp.

Knee osteoarthritis (knee OA) is the most prevalent form of arthritis in the elderly people. It is characterized by the loss of articular cartilage. Changes in gene expressions and degradation of cartilage are important factors of knee osteoarthritis. In this study, bioinformatics was used to select chondrogenic genes that are differentially expressed between normal controls and knee OA patients from the microarray database. Genes that show statistically different expression data are *EBP*, *IMPAD1*, *PPAPDC1B* and *FIBIN*. In this study, type B synoviocytes from knee OA patients and normal controls were used to study differential expression of these genes. Gene expression levels were confirmed by real-time PCR technique. The results showed no significant differences of mRNA expressions of *EBP*, *IMPAD1* and *PPAPDC1B* genes between the knee OA patients (N=33) and normal controls (N=5). The expression results of *FIBIN* gene, whose differences in binding capacity value of the probes between the two groups are more than 5 times, showed that there were significant differences of the mRNA expressions between the two groups ($p = 0.0228$), which was consistent with microarray data. . However, methylation status in the promoter region of the gene, analyzed by pyrosequencing, showed no significant correlation between the two sample groups ($p > 0.05$). Changes in the *FIBIN* expressions may be one of the mechanisms that type B synoviocytes use for repairing loss of cartilage in knee OA patients or may be the cause of osteophyte formation which leads to more severe knee OA. The mechanism of *FIBIN* gene in knee OA pathogenesis remains unclear. Therefore, further study of *FIBIN* gene function is needed and may help developing therapeutic agents that are specific to knee OA.

Department :Botany.....Student's Signature.....

Field of Study :Genetics.....Advisor's Signature.....

Academic Year :2012.....

กิตติกรรมประกาศ

ขอขอบพระคุณ ผู้ช่วยศาสตราจารย์.ดร.รัชนิกร ธรรมโชติ อาจารย์ที่ปรึกษาวิทยานิพนธ์
หลัก ที่กรุณาให้คำปรึกษาแนะนำตลอดการทำวิทยานิพนธ์ ช่วยตรวจสอบ และแก้ไขข้อบกพร่อง
ของวิทยานิพนธ์ ตลอดจนให้ความรู้ และข้อเสนอแนะที่เป็นประโยชน์ต่อการทำวิจัยในครั้งนี้

ขอขอบพระคุณคณะกรรมการสอบวิทยานิพนธ์ ซึ่งประกอบด้วย ผู้ช่วยศาสตราจารย์ ดร.
ต่อศักดิ์ สีลานันท์ ประธานกรรมการ, อาจารย์ ดร.ปฐมวดี ญาณทัศนียจิต กรรมการภายในสาขาวิชา
พันธุศาสตร์, อาจารย์ ดร.เพลินพิศ โชคชัยชำนาญกิจ กรรมการภายในสาขัพพันธุศาสตร์ และรอง
ศาสตราจารย์ ดร.บุษบา ฤกษ์อำนาจโชค อาจารย์ประจำภาควิชาพยาธิวิทยา คณะแพทยศาสตร์
โรงพยาบาลรามาธิบดี กรรมการภายนอกมหาวิทยาลัย ที่ให้ข้อคิดเห็น และคำแนะนำ รวมถึงความ
กรุณาในการตรวจแก้ไขวิทยานิพนธ์

ขอขอบพระคุณอาจารย์ ดร.ชูพงศ์ อิทธิวุฒิ ที่ให้ความรู้เรื่องวิธีที่ใช้ในการศึกษาการเกิด
เมทิลเลชันบนโปรโมเตอร์ การออกแบบไพรเมอร์ที่จำเพาะต่อดีเอ็นเอที่ผ่านกระบวนการ bisulfite
treatment และสละเวลาในการทำ pyrosequencing งานวิจัยสำเร็จ

ขอขอบคุณนิสิต ป.โท และ ป.เอก ทุกคนในห้องปฏิบัติการทางอนุพันธุศาสตร์ของมนุษย์
ห้อง 306 ภาควิชาพฤกษศาสตร์ คณะวิทยาศาสตร์ จุฬาลงกรณ์มหาวิทยาลัย ที่คอยให้คำปรึกษา
คำแนะนำ และความช่วยเหลือในการทำวิจัย

ขอกราบขอบพระคุณคุณพ่อนริส สินธุวานนท์ และคุณแม่วรรณกสินธุวานนท์ ที่ให้
โอกาสในการศึกษาต่อระดับปริญญาโท รวมทั้งคอยให้ความรัก และกำลังใจสำหรับการทำงานวิจัย
จนสำเร็จลุล่วงไปได้ด้วยดี

คุณงามความดี และประโยชน์อันพึงมีจากวิทยานิพนธ์ฉบับนี้ ผู้วิจัยขอมอบให้แก่ผู้มี
พระคุณทุกท่านที่ได้กล่าวมาแล้วในข้างต้น

สารบัญ

หน้า	
บทคัดย่อภาษาไทย.....	ง
บทคัดย่อภาษาอังกฤษ.....	จ
กิตติกรรมประกาศ.....	ฉ
สารบัญ.....	ช
สารบัญตาราง.....	ญ
สารบัญรูป.....	ฎ
บทที่ 1 บทนำ	1
ความเป็นมาและความสำคัญ.....	1
วัตถุประสงค์ของการวิจัย.....	3
ขอบเขตของการวิจัย.....	3
ข้อจำกัดในการวิจัย.....	3
คำจำกัดความที่ใช้ในการวิจัย.....	3
ประโยชน์ที่คาดว่าจะได้รับ.....	4
วิธีดำเนินการวิจัย.....	4
ลำดับขั้นตอนในการวิจัย.....	5
บทที่ 2 เอกสารและงานวิจัยที่เกี่ยวข้อง	6
โรคข้อเสื่อม.....	6
อาการของโรคข้อเข่าเสื่อม.....	9
องค์ประกอบของข้อเข่า.....	10
แนวทางการศึกษาการแสดงออก และการเกิดเมทิลเลชันบน โพร โมเตอร์ของยีน ในโรคข้อเข่าเสื่อม.....	12
การรักษาโรคข้อเข่าเสื่อม และความสำคัญของตัวบ่งชี้ทางชีวภาพ.....	14
บทที่ 3 วิธีดำเนินการวิจัย	16
วัสดุอุปกรณ์ที่ใช้ในการวิจัย	16
สารเคมีที่ใช้ในการวิจัย	17
วิธีดำเนินการวิจัย.....	18
หน้า	
1. ขออนุมัติจากคณะกรรมการจริยธรรมทางการวิจัยในมนุษย์	
โรงพยาบาลธรรมศาสตร์เฉลิมพระเกียรติ.....	19

2. การคัดเลือกยีนที่เกี่ยวข้องกับการเจริญของกระดูกอ่อน.....	19
2.1 คัดเลือกโดยอาศัยค่าความแตกต่างกันทางสถิติเท่านั้น	20
2.2 คัดเลือกโดยอาศัยความแตกต่างกันทางสถิติประกอบกับการวิเคราะห์ ค่าการจับกันของโพรบ.....	20
3. การเตรียมตัวอย่างซีโนไวโอไซด์ชนิดบีที่ใช้ในการวิจัย.....	20
3.1 การเริ่มต้นเลี้ยงซีโนไวโอไซด์ชนิดบีจากน้ำข้อเข่า.....	20
3.2 การเพาะเลี้ยงซีโนไวโอไซด์ชนิดบี.....	21
4. การศึกษาการแสดงออกของยีนที่เกี่ยวข้องกับการเจริญของกระดูกอ่อนใน ซีโนไวโอไซด์ของผู้ป่วยโรคข้อเข่าเสื่อม	22
4.1 การสกัดอาร์เอ็นเอ.....	22
4.2 Reverse transcriptionpolymerase chain reaction (RT-PCR).....	23
4.3 Real-time PCR.....	23
4.3.1 การออกแบบไพรเมอร์.....	23
4.3.2 การทดสอบประสิทธิภาพของปฏิกิริยา (Efficiency).....	24
4.3.3 การวิเคราะห์ผลการแสดงออกของยีน.....	26
5. ศึกษาการเกิดเมทิลเลชันบนโปรโมเตอร์ของยีนที่เกี่ยวข้องกับการเจริญของ กระดูกอ่อนในผู้ป่วยโรคข้อเข่าเสื่อม	27
5.1 การสกัดดีเอ็นเอ.....	27
5.2 Bisulfite converted treatment.....	27
5.3 ไพรเมอร์สำหรับตรวจสอบการเกิดเมทิลเลชันบนโปรโมเตอร์ของยีน.....	28
5.4 Pyrosequencing.....	28
6. ศึกษาความสัมพันธ์ระหว่างการแสดงออก และการเกิดเมทิลเลชันบน โปรโมเตอร์ของยีน.....	30
บทที่ 4 ผลการศึกษา.....	31
1. ขออนุมัติจากคณะกรรมการจริยธรรมทางการวิจัยในมนุษย์ โรงพยาบาลธรรม ศาสตร์เฉลิมพระเกียรติ	31
2. การคัดเลือกยีนที่เกี่ยวข้องกับการเจริญของกระดูกอ่อน.....	31
หน้า	
2.1 โดยอาศัยค่าความแตกต่างกันทางสถิติเท่านั้น.....	31
2.2 โดยอาศัยค่าความแตกต่างกันทางสถิติประกอบกับการวิเคราะห์ค่า	

การจับกันของโพรบ.....	32
3. ตัวอย่างซีโนไวโอไฮต์ชนิดบีที่ใช้ในการวิจัย.....	33
4. การศึกษาการแสดงออกของยีนที่เกี่ยวข้องกับการเจริญของกระดูกอ่อนใน ซีโนไวโอไฮต์ของผู้ป่วยโรคข้อเข่าเสื่อม	35
4.1 ยีนที่ถูกคัดเลือกโดยอาศัยค่าความแตกต่างกันทางสถิติเท่านั้น.....	35
4.2 ยีนที่ถูกคัดเลือกโดยอาศัยค่าความแตกต่างกันทางสถิติประกอบกับ การวิเคราะห์ค่าการจับกันของโพรบ	38
5. ศึกษาการเกิดเมทิลเลชันบนโปรโมเตอร์ของยีนที่เกี่ยวข้องกับการเจริญของ กระดูกอ่อนในผู้ป่วยโรคข้อเข่าเสื่อม	41
5.1 ตำแหน่งโปรโมเตอร์ของยีน <i>FIBIN</i>	41
5.2 Hot start PCR.....	42
5.3 Pyrosequencing.....	42
6. ความสัมพันธ์ระหว่างการแสดงออก และการเกิดเมทิลเลชันบนโปรโมเตอร์ ของยีน	43
บทที่ 5 อภิปราย สรุปผลการวิจัย และข้อเสนอแนะ.....	45
อภิปรายผลการทดลอง.....	45
ผลสรุปผลการวิจัย	47
ข้อเสนอแนะ.....	48
รายการอ้างอิง.....	49
ภาคผนวก.....	53
ภาคผนวก ก.....	54
ภาคผนวก ข	56
ภาคผนวก ค	57
ภาคผนวก ง	59
ภาคผนวก จ	60
ประวัติผู้เขียนวิทยานิพนธ์.....	62

สารบัญตาราง

ตารางที่ หน้า

1 ลำดับนิวคลีโอไทด์ของไพรเมอร์สำหรับ real-time PCR และความเข้มข้นที่ใช้ ในปฏิกิริยา	24
2 สารประกอบปฏิกิริยา real-time PCR.....	26
3 สารประกอบปฏิกิริยา HS-PCR.....	29
4 สภาพในการทำ HS-PCR.....	30
5 ผลการคัดเลือกยีนที่เกี่ยวข้องกับการเจริญของกระดูกอ่อน โดยอาศัยค่าความแตกต่างทาง สถิติเท่านั้น.....	32
6 ผลการคัดเลือกโดยอาศัยค่าความแตกต่างกันทางสถิติประกอบกับการวิเคราะห์ค่าการจับ ที่แตกต่างกันของโพรบ.....	33
7 ค่าการจับของโพรบของยีนที่เกี่ยวข้องกับการเจริญของกระดูกอ่อน และยีนควบคุม.....	56
8 ค่า Ct ที่ได้จากการศึกษาการแสดงออกของยีนที่เกี่ยวข้องกับการเจริญของกระดูกอ่อน และยีนควบคุม ด้วยเทคนิค real-time PCR.....	57
9 อัตราการเกิดเมทิลเลชันบนโปรโมเตอร์ของ <i>FIBIN</i> ที่ CpG ตำแหน่งต่าง ๆ.....	60

สารบัญรูป

รูปที่ หน้า

1	ลักษณะของผู้ป่วยโรคข้อเข่าเสื่อม.....	10
2	โครงสร้างของข้อเข่า.....	11
3	ข้อมูลการแสดงผลของยีนในกลุ่มคนปกติ และกลุ่มผู้ป่วยโรคข้อเข่าเสื่อม.....	19
4	การออกแบบไพรเมอร์สำหรับตรวจสอบการเกิดเมทิลเลชันบนโปรโมเตอร์.....	29
5	ซิโนไวโอไซต์ชนิดบีที่ถูกเลี้ยงด้วย DMEM.....	34
6	ระยะเวลาที่ใช้ในการเลี้ยงซิโนไวโอไซต์.....	34
7	สถานะในการทำ real-time PCR เพื่อศึกษาการแสดงผลของ <i>IMPAD1</i> <i>EBP</i> และ <i>PPAPDC1B</i>	35
8	ค่าประสิทธิภาพของปฏิกิริยาในการทำ real-time PCR ของยีน <i>IMPAD1</i>	36
9	ค่าประสิทธิภาพของปฏิกิริยาในการทำ real-time PCR ของยีน <i>EBP</i>	36
10	ค่าประสิทธิภาพของปฏิกิริยาในการทำ real-time PCR ของยีน <i>PPAPDC1B</i>	37
11	ค่าประสิทธิภาพของปฏิกิริยาในการทำ real-time PCR ของยีน <i>GAPDH</i>	37
12	การแสดงผลของยีนของยีนที่เกี่ยวข้องกับการเจริญของกระดูกอ่อนในซิโนไวโอไซต์ชนิดบีของผู้ป่วยโรคข้อเข่าเสื่อมที่ถูกคัดเลือกโดยอาศัยค่าความแตกต่างกันทางสถิติเท่านั้น.....	38
13	สถานะในการทำ real-time PCR เพื่อศึกษาการแสดงผลของยีน <i>FIBIN</i>	39
14	ค่าประสิทธิภาพของปฏิกิริยาในการทำ real-time PCR ของยีน <i>FIBIN</i>	39
15	ค่าประสิทธิภาพของปฏิกิริยาในการทำ real-time PCR ของยีน <i>GAPDH</i>	40
16	การแสดงผลของยีนของ <i>FIBIN</i> ที่ถูกคัดเลือกโดยอาศัยค่าความแตกต่างกันทางสถิติประกอบการวิเคราะห์ค่าการจับที่แตกต่างกันของโปรบ.....	40
17	ตำแหน่งโปรโมเตอร์ของยีน <i>FIBIN</i>	41
18	ตำแหน่ง CpG ที่อยู่บริเวณจุดเริ่มต้นของโปรโมเตอร์ยีน <i>FIBIN</i>	41
19	ผลการสังเคราะห์ <i>FIBIN</i> จาก bisulfite converted DNA ที่อุณหภูมิ 54 56 58 และ 60 องศาเซลเซียสในการทำ gradient PCR.....	42
20	ลำดับนิวคลีโอไทด์ของ <i>FIBIN</i>	43
21	อัตราการผลิตเมทิลเลชันที่ตำแหน่ง CpG บนโปรโมเตอร์ของ <i>FIBIN</i>	43

รูปที่ หน้า

22 ความสัมพันธ์ระหว่างการแสดงออกของยีน และการเกิดเมทิลเลชันบนโปรโมเตอร์ ของ <i>FIBIN</i>	44
23 เอกสารผ่านการอนุมัติการวิจัยในมนุษย์โรงพยาบาลธรรมศาสตร์เฉลิมพระเกียรติ ภาษาไทย.....	54
24 เอกสารผ่านการอนุมัติการวิจัยในมนุษย์โรงพยาบาลธรรมศาสตร์เฉลิมพระเกียรติ ภาษาอังกฤษ.....	55
25 ผลการทำ HS-PCR โดยใช้ไพรเมอร์ที่มีความจำเพาะต่อโปรโมเตอร์ของ <i>FIBIN</i> เพื่อส่งตรวจสอบการเกิดเมทิลเลชันบนโปรโมเตอร์บนกลุ่มตัวอย่างโรคข้อเข่าเสื่อม และกลุ่มควบคุม.....	59

บทที่ 1

บทนำ

ความเป็นมาและความสำคัญ

โรคข้อเสื่อม (osteoarthritis, OA) เป็นโรคในกลุ่มอาการข้ออักเสบ (arthritis) (Valdes *et al.*, 2006) จัดเป็นโรคกระดูกที่พบได้บ่อยในประชากรสูงอายุทั่วไป เป็นสาเหตุของสภาวะทุพพลภาพ อันดับที่ 8 โดยพบในชาวอเมริกันกว่า 27 ล้านคน (Lawrence *et al.*, 2008) การเสื่อมมักเกิดขึ้นบริเวณกระดูกอ่อนของข้อต่อในร่างกาย เช่น เข่า สะโพก มือ เท้า หรือแม้แต่กระดูกสันหลัง (Valdes *et al.*, 2006) ซึ่งส่งผลกระทบต่อสุขภาพร่างกาย สุขภาพจิต และนำไปสู่ปัญหาทางการเงิน เนื่องจากมีค่าใช้จ่ายสูงในการรักษา (Michaud *et al.*, 2006) ถึงแม้ในปัจจุบันจะยังไม่ทราบสาเหตุที่แน่ชัด ของการเกิดโรค แต่เชื่อว่าเกิดขึ้นจากหลายปัจจัยทั้งปัจจัยทางพันธุกรรม ซึ่งมีความเกี่ยวข้องกับ การเกิดโรคข้อ เข่าเสื่อมถึง 40 % และปัจจัยอื่นๆ โดยพบว่าความเสี่ยงต่อการเกิดโรคมีความสัมพันธ์กับ อายุที่เพิ่มขึ้น น้ำหนักตัวที่สูงขึ้น และพบมากในกลุ่มประชากรเพศหญิง (Spector and MacGregor, 2004)

สำหรับข้อเสื่อมที่บริเวณเข่า นั้น มีงานวิจัยพบว่าเกี่ยวข้องกับโครงสร้างหลายชนิดในข้อเข่า รวมถึง น้ำไขข้อ (synovial fluid) ซึ่งประกอบด้วยเซลล์หลายชนิด เช่น เซลล์กระดูกอ่อน (chondrocyte) และเซลล์ในเยื่อหุ้มข้อ (synovial membrane) ซึ่งมีการแสดงออกของยีนในการ ควบคุมกระบวนการต่างๆ ภายในข้อเข่า (El Hajjaji *et al.*, 2005) และมีซิโนไวโอไซต์ ชนิดบี (type B synoviocyte) ที่ยังไม่ทราบชัดเจนว่าเป็นเซลล์ที่มาจากที่ใด แต่คาดว่าเป็นเซลล์ที่หลุดออกมาจากเยื่อหุ้มข้อ และยังไม่ทราบถึงหน้าที่ และบทบาทซึ่งมีผลต่อโรคข้อเข่าเสื่อมอย่างชัดเจน แต่จากการศึกษาซิโนไวโอไซต์ ชนิด บีที่สกัดจากน้ำไขข้อพบว่า เป็นเซลล์ที่มีชีวิต และมีลักษณะเป็นเซลล์เกี่ยวพัน (fibroblast) เหมือนกับเซลล์ในเยื่อหุ้มข้อ (Scanu *et al.*, 2007) ดังนั้นเป็นไปได้ว่าซิโนไวโอไซต์ที่พบในน้ำไขข้ออาจเป็นเซลล์ที่มีบทบาทสำคัญต่อการเกิดโรคข้อเข่าเสื่อม

เนื่องจากสาเหตุหนึ่งของโรคข้อเสื่อมที่เกิดจากปัจจัยทางด้านพันธุกรรมดังนั้นจึงมีการศึกษาหาความแตกต่าง ระหว่าง ผู้ป่วยโรคข้อเสื่อม และคนปกติทั้งในระดับ genome transcriptome และ proteome ซึ่งจำเป็นต้องอาศัยเครื่องมือด้านชีวสารสนเทศศาสตร์ (bioinformatics) โดยนำข้อมูลที่ได้มาทำการวิเคราะห์เปรียบเทียบ คำนวณ และประเมินผลข้อมูลที่ได้ เพื่อหาสิ่งที่คาดว่าจะมีความเกี่ยวข้อง

กับโรคข้อเสื่อม จากนั้นทำการยืนยันความเกี่ยวข้องของยีนนั้น ๆ โดยนำมาศึกษาวิจัยในห้องปฏิบัติการ (Graeber and Eisenberg, 2001)

จากการศึกษาการแสดงออกของยีนในผู้ป่วยโรคข้อเสื่อมเปรียบเทียบกับคนปกติในเซลล์กระดูกอ่อนโดยใช้ไมโครอาร์เรย์ (microarray) และวิเคราะห์ผลด้วยชีวสารสนเทศ พบว่าระดับการแสดงออกของยีนในผู้ป่วยโรคข้อเสื่อม แตกต่างจากคนปกติอย่างมีนัยสำคัญทางสถิติ แบ่งเป็นยีนที่เกี่ยวข้องกับการสร้างกระดูก (bone formation) 7 ยีน และยีนที่เกี่ยวข้องกับการสังเคราะห์คอลลาเจน (collagen encoding) 4 ยีน โดยไม่พบการกลายเกิดขึ้นที่ยีนดังกล่าว (Karlsson *et al.*, 2010) ซึ่งอาจมีสาเหตุมาจากการเปลี่ยนแปลงของดีเอ็นเอเมทิลเลชัน (DNA methylation) ที่เป็นกระบวนการสำคัญในการควบคุมความสมดุลของกระบวนการสร้าง (anabolism) และสลาย (catabolism) ภายในเซลล์ จากการศึกษาการเกิดเมทิลเลชันบนโปรโมเตอร์ของยีน interleukin-1 beta (*IL1B*) ในเซลล์กระดูกอ่อนของผู้ป่วยโรคข้อเสื่อม และคนปกติ พบว่าในคนปกติ *IL1B* มีดีเอ็นเอเมทิลเลชันบนโปรโมเตอร์ เพื่อควบคุมให้การแสดงออกของยีนในกลุ่มเอนไซม์ย่อยสลาย (catabolic gene) เช่น ยีนที่สร้างโปรตีนกลุ่ม matrix metalloproteinase (MMP) และ aggrecanase (ADAMTS-4 และ ADAMTS-5) เป็นไปอย่างเหมาะสม ในขณะที่โปรโมเตอร์ของ ยีน *IL1B* ในผู้ป่วยโรคข้อเสื่อมเกิดดีเอ็นเอดีเมทิลเลชัน (DNA demethylation) ส่งผลให้ระดับการแสดงออกของเอนไซม์ย่อยสลายสูงขึ้น ซึ่งกลายเป็นความผิดปกติของระดับการแสดงออก และส่งผลให้เกิดความผิดปกติของความสมดุลระดับเซลล์ (Hashimoto *et al.*, 2009) ดังนั้นจะเห็นได้ว่าถึงแม้ยีนจะไม่เกิดการกลายขึ้น แต่หากเกิดความผิดปกติที่การควบคุมการแสดงออกของยีน จะทำให้เกิดการแสดงออกที่หรือน้อยเกินไป เช่น ความผิดปกติที่กระบวนการหลังการถอดรหัส และโปรโมเตอร์เมทิลเลชัน ทำให้การทำงานของโปรตีนหรือระดับการแสดงออกของโปรตีนที่ผลิตไปจากเดิม ซึ่งจะนำไปสู่การเกิดความผิดปกติในร่างกายจนก่อให้เกิดโรค (Garcia-Blanco *et al.*, 2004)

สาเหตุที่กล่าวมาข้างต้นอาจทำให้เกิดความผิดปกติในการสร้างโปรตีน หรือองค์ประกอบที่สำคัญในกระบวนการสร้างกระดูกอ่อน เป็นผลทำให้กระดูกอ่อนบริเวณข้อบางลงจนไม่สามารถทำหน้าที่ลดแรงกลที่เกิดขึ้นระหว่างกระดูกข้อต่อทั้งสองชิ้นนำไปสู่อาการอักเสบ ปวดบวม ข้อติด หากมีการเสื่อมมากขึ้นของกระดูกอ่อน ผู้ป่วยจะมีอาการเจ็บปวดมากขึ้น บางครั้งอาจเกิดการเสีรูปร่างของข้อต่อจนผู้ป่วยอาจไม่สามารถใช้ชีวิตประจำวันได้ตามปกติ (Valdes *et al.*, 2006) ดังนั้นการศึกษาเปรียบเทียบการแสดงออกของยีนระหว่างกลุ่มผู้ป่วยโรคข้อเข่าเสื่อม และกลุ่มควบคุมในชิโนวิโอไซด์ชนิดบิครั้งนี้อาจเป็นข้อมูลพื้นฐานที่เกี่ยวข้องกับสาเหตุการเกิดโรคข้อเข่าเสื่อมของผู้ป่วยในประเทศ

ไทย ซึ่งเมื่อทราบสาเหตุที่แน่ชัดของการเกิดโรคจะทำให้สามารถนำไปใช้รักษาโรคข้อเข่าเสื่อมได้ต่อไปในอนาคต นอกจากนี้ยังเป็นการศึกษาการแสดงออกของยีนในชิโนไวรัสชนิดบีเพื่อให้ทราบว่ามีการแสดงออกไปในทิศทางใดในผู้ป่วยโรคข้อเข่าเสื่อม

วัตถุประสงค์ของการวิจัย

เพื่อศึกษาการแสดงออกของยีนที่เกี่ยวข้องกับการเจริญของกระดูกในชิโนไวรัสชนิดบีจากผู้ป่วยโรคข้อเข่าเสื่อม

ขอบเขตของการวิจัย

เลี้ยงชิโนไวรัสชนิดบีที่ได้จากน้ำไขข้อของผู้ป่วยโรคข้อเข่าเสื่อม และผู้ป่วยเอ็นไขว้หน้าขาด เพื่อใช้ในการศึกษาเปรียบเทียบการแสดงออกของยีนที่เกี่ยวข้องกับการเจริญของกระดูกอ่อนด้วยเทคนิค real-time PCR จากนั้นยีนที่มีการแสดงออกแตกต่างกันอย่างมีนัยสำคัญทางสถิติระหว่างผู้ป่วยโรคข้อเข่าเสื่อม และกลุ่มควบคุมที่ระดับความเชื่อมั่นมากกว่า 99 เปอร์เซ็นต์ จะถูกวิเคราะห์การเกิดเมทิลเลชันบนโปรโมเตอร์ของยีนด้วยเทคนิค pyrosequencing และวิเคราะห์สหสัมพันธ์ (correlation) ระหว่างระดับการแสดงออกกับการเปลี่ยนแปลงของเมทิลเลชันบนโปรโมเตอร์ของยีน

ข้อจำกัดในการวิจัย

เนื่องจากงานวิจัยนี้ต้องการศึกษาการแสดงออกของยีนที่เกี่ยวข้องกับการสร้างกระดูกอ่อนในชิโนไวรัสชนิดบีที่พบในน้ำไขข้อของผู้ป่วยโรคข้อเข่าเสื่อม ซึ่งปริมาณตั้งต้นของชิโนไวรัสชนิดบีในน้ำไขข้อมีปริมาณน้อยมาก ผู้วิจัยจึงต้องทำการเลี้ยงเซลล์เพื่อเพิ่มปริมาณของชิโนไวรัสชนิดบีในห้องปฏิบัติการ แต่ไม่เกิน passage ที่ 3 เพื่อป้องกันการแสดงออกเปลี่ยนไปจนแตกต่างจากการแสดงออกของเซลล์ที่อยู่ในน้ำไขข้อของผู้ป่วยโรคข้อเข่าเสื่อม

คำจำกัดความที่ใช้ในการวิจัย

- ชิโนไวรัสชนิดบี คือ เซลล์ชนิดเกี่ยวพัน (fibroblast) ที่พบในน้ำไขข้อมีหน้าที่สำคัญในการสร้าง extracellular matrix (ECM) และ hyaluronic acid ซึ่งเป็นสารหล่อลื่นภายในข้อเข่า
- real-time PCR คือ เทคนิคที่ใช้ในการศึกษาการแสดงออกของยีนซึ่งมีความแม่นยำสูงสามารถใช้แยกความแตกต่างในการแสดงออกของยีนที่มีความแตกต่างกันเพียงเล็กน้อยได้ โดยอาศัยการใช้สารเรืองแสง (fluorescence reporter) ไปจับที่บริเวณ PCR product ทำให้สามารถวัดปริมาณของ PCR product ที่เกิดขึ้นได้

ประโยชน์ที่คาดว่าจะได้รับ

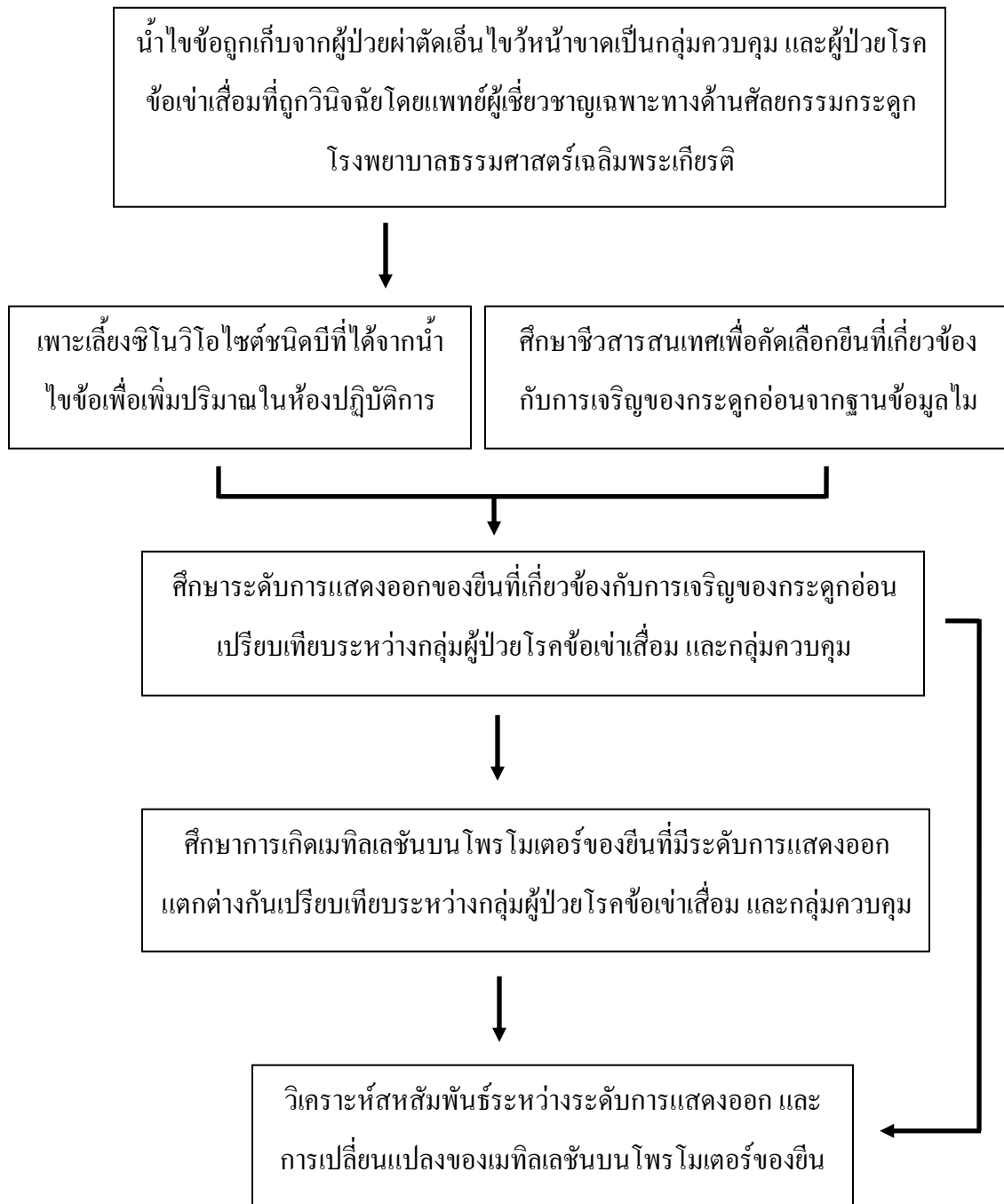
1. ทราบลักษณะการแสดงออกของยีนที่เกี่ยวข้องกับการเจริญของกระดูกอ่อนในชิโนไวรัสไฮดริคตินิที่พบในน้ำไขข้อของผู้ป่วยโรคข้อเข่าเสื่อม
2. สามารถนำผลการวิจัยไปเป็นตัวบ่งชี้ชีวภาพ (biomarker) เพื่อร่วมใช้ในการวินิจฉัยโรคข้อเข่าเสื่อมระยะเริ่มต้น ในผู้ป่วยยังที่ไม่แสดงอาการของโรคอย่างชัดเจน

วิธีดำเนินงานวิจัย

งานวิจัยเรื่องนี้ แบ่งออกเป็น 6 ส่วน คือ

1. ขออนุมัติจากคณะกรรมการจริยธรรมทางการวิจัยในมนุษย์ โรงพยาบาลธรรมศาสตร์เฉลิมพระเกียรติ
2. การศึกษาชีวสารสนเทศเพื่อหาฮินที่เกี่ยวข้องกับการเจริญของกระดูกอ่อนจากการแสดงออกของยีนในเซลล์กระดูกอ่อน และเซลล์เยื่อหุ้มข้อของผู้ป่วยโรคข้อเข่าเสื่อม
3. เพาะเลี้ยงชิโนไวรัสไฮดริคตินิที่พบในน้ำไขข้อของผู้ป่วยโรคข้อเข่าเสื่อม และผู้ป่วยเอ็นไขว้หน้าขาดเป็นกลุ่มควบคุม
4. การศึกษาระดับการแสดงออกของยีนที่เกี่ยวข้องกับการเจริญของกระดูกอ่อนของชิโนไวรัสไฮดริคตินิที่พบในน้ำไขข้อของผู้ป่วยโรคข้อเข่าเสื่อม
 - 4.1 สกัดอาร์เอ็นเอจากชิโนไวรัสไฮดริคตินิ และทำ reverse transcription
 - 4.2 ศึกษาการแสดงออกของยีนที่เกี่ยวข้องกับการเจริญของกระดูกอ่อนด้วยเทคนิค real-time PCR
 - 4.3 วิเคราะห์การแสดงออกของยีนเปรียบเทียบระหว่างกลุ่มผู้ป่วยโรคข้อเข่าเสื่อม และกลุ่มควบคุมด้วยวิธีการทางสถิติ
5. ศึกษาการเกิดเมทิลเลชันบนโปรโมเตอร์ของยีนที่มีระดับการแสดงออกแตกต่างกันเปรียบเทียบระหว่างกลุ่มผู้ป่วยโรคข้อเข่าเสื่อม และกลุ่มควบคุม
 - 5.1 สกัดดีเอ็นเอจากชิโนไวรัสไฮดริคตินิ และทำ bisulfite treatment
 - 5.2 ศึกษาการเกิดเมทิลเลชันบนโปรโมเตอร์ของยีนด้วยเทคนิค pyrosequencing
 - 5.3 วิเคราะห์การเกิดเมทิลเลชันบนโปรโมเตอร์ของยีนเปรียบเทียบระหว่างกลุ่มผู้ป่วยโรคข้อเข่าเสื่อม และกลุ่มควบคุม
6. ศึกษาความสัมพันธ์ระหว่างระดับการแสดงออก และการเกิดเมทิลเลชันบนโปรโมเตอร์ของยีน

ลำดับขั้นตอนในการวิจัย



- El Hajjaji, H., Cole, A. A. and Manicourt, D. H., 2005. Chondrocytes, synoviocytes and dermal fibroblasts all express PH-20, a hyaluronidase active at neutral pH. *Arthritis Res Ther* 7(4): R756-768.
- Garcia-Blanco, M. A., Baraniak, A. P. and Lasda, E. L., 2004. Alternative splicing in disease and therapy. *Nat Biotechnol* 22(5): 535-546.
- Graeber, T. G. and Eisenberg, D., 2001. Bioinformatic identification of potential autocrine signaling loops in cancers from gene expression profiles. *Nat Genet* 29(3): 295-300.
- Hashimoto, K., Oreffo, R. O., Gibson, M. B., Goldring, M. B. and Roach, H. I., 2009. DNA demethylation at specific CpG sites in the IL1B promoter in response to inflammatory cytokines in human articular chondrocytes. *Arthritis Rheum* 60(11): 3303-3313.
- Karlsson, C., *et al.*, 2010. Genome-wide expression profiling reveals new candidate genes associated with osteoarthritis. *Osteoarthritis Cartilage* 18(4): 581-592.
- Lawrence, R. C., *et al.*, 2008. Estimates of the prevalence of arthritis and other rheumatic conditions in the United States. Part II. *Arthritis Rheum* 58(1): 26-35.
- Michaud, C. M., *et al.*, 2006. The burden of disease and injury in the United States 1996. *Popul Health Metr* 4: 11.
- Scanu, A., *et al.*, 2007. [Synoviocyte cultures from synovial fluid]. *Reumatismo* 59(1): 66-70.
- Spector, T. D. and MacGregor, A. J., 2004. Risk factors for osteoarthritis: genetics. *Osteoarthritis Cartilage* 12 Suppl A: S39-44.
- Valdes, A. M., *et al.*, 2006. Reproducible genetic associations between candidate genes and clinical knee osteoarthritis in men and women. *Arthritis Rheum* 54(2): 533-539.

บทที่ 2

เอกสารและงานวิจัยที่เกี่ยวข้อง

โรคข้อเสื่อม

โรคข้อเสื่อม (osteoarthritis, OA) เป็นโรคพหุปัจจัย (multifactorial disease) ซึ่งเกิดเฉพาะข้อชนิดที่มีเยื่อหุ้ม (synovial joint) ในปัจจุบันยังคงไม่ทราบถึงสาเหตุ และกลไกในการเกิดโรคอย่างชัดเจนจากการศึกษาในประชากรชาวอเมริกันพบว่าโรคข้อเข่าเสื่อมเป็นสาเหตุของสภาวะทุพพลภาพอันดับที่ 8 ของโลก และพบในชาวอเมริกันกว่า 27 ล้านคน (Lawrence *et al.*, 2008) ส่วนมากอยู่ในช่วงอายุ 55-64 ปี ซึ่งอายุเป็นปัจจัยที่เกี่ยวข้องกับการแสดงอาการของโรคข้อเข่าเสื่อมถึง 44.8 % และโอกาสในการเกิดโรคจะเพิ่มมากขึ้นตามอายุที่เพิ่มขึ้น โดยเฉพาะหลัง 50 ปีขึ้นไปซึ่งความเสื่อมสามารถเกิดในหลายข้อพร้อมกัน (Murphy *et al.*, 2008) นอกจากอายุแล้วยังมีปัจจัยอื่นที่อาจส่งผลให้เกิดการเสื่อมของข้อ เช่น น้ำหนัก

จากการศึกษาในกลุ่มประชากรที่มีน้ำหนักตัวสูงอายุระหว่าง 25-34 ปี เปรียบเทียบกับกลุ่มคนปกติในช่วงอายุเดียวกัน พบว่าอุบัติการณ์ของการเกิดโรคข้อเข่าเสื่อมไม่มีความแตกต่างกัน แต่ในกลุ่มประชากรที่มีน้ำหนักตัวมากอายุระหว่าง 55-64 ปีพบว่าอุบัติการณ์ของการเกิดโรคสูงกว่ากลุ่มคนปกติในช่วงอายุเดียวกัน (Rodriguez-Fontenla *et al.*, 2012) โดยจากอุบัติการณ์การเกิดโรคพบว่ามีจำนวนผู้ป่วยเพศชายซึ่งมีน้ำหนักมากเพิ่มขึ้น 0.37 % ต่อปี ในขณะที่จำนวนผู้ป่วยเพศหญิงซึ่งมีน้ำหนักมากเพิ่มขึ้น 1.02 % ต่อปี (Losina *et al.*, 2012) ด้วยเหตุนี้จึงเชื่อว่าการเกิดโรคข้อเข่าเสื่อมในคนที่มีน้ำหนักสูงอาจเกิดจากสาเหตุอื่นเข้ามาเกี่ยวข้องเช่น เพศ

จากการศึกษาในกลุ่มประชากรช่วงอายุตั้งแต่ 55 ปีขึ้นไปพบว่าในเพศหญิงมีอุบัติการณ์การเกิดโรคข้อเข่าเสื่อม ความรุนแรงของโรคและจำนวนของบริเวณที่เกิดการเสื่อมมากกว่าเพศชายคาดว่าเกี่ยวข้องกับฮอร์โมนเอสโตรเจนซึ่งทำหน้าที่สำคัญในกระบวนการซ่อมแซม และเจริญเติบโตของกระดูกอ่อน (chondrogenesis) ทั้งในเพศหญิง และชาย (Cho *et al.*, 2010) เนื่องจากในหญิงสูงอายุจะเข้าสู่วัยหมดประจำเดือน และเกิดภาวะการขาดฮอร์โมนเอสโตรเจน จึงอาจนำไปสู่การเกิดโรคข้อเสื่อม (Losina *et al.*, 2012) จากการศึกษาอัตราการเกิดโรคข้อเสื่อมในหนูพบว่าเอสโตรเจนสามารถป้องกันการเกิดโรคข้อเสื่อม ในขณะที่เมื่อระดับของเอสโตรเจนลดลง จะทำให้การทำงานของเทสโทสเตอโรน

(testosterone) และ โพรเจสเตอโรน (progesterone) ซึ่งเป็นตัวเร่งให้เกิดข้อเสื่อมในหนูทำงานได้มากขึ้น (Schmidt *et al.*, 2005)

นอกจากนั้นประวัติการบาดเจ็บที่ข้อเข่ายังส่งผลให้มีความเสี่ยงต่อการเกิดโรคถึง 56.8 % เนื่องจากการบาดเจ็บทำให้เกิดการหย่อนหรือหลวมของข้อแบบเรื้อรัง จากนั้นหินปูนจะเข้ามาเกาะที่บริเวณหมอนรองกระดูกทำให้เกิดอาการข้อติด และอักเสบในเวลาต่อมา ซึ่งนำไปสู่การเกิดโรคข้อเสื่อม (Murphy *et al.*, 2008) ถึงแม้ไม่เคยมีประวัติการบาดเจ็บมาก่อน แต่หากใช้งานข้อต่อบ่อยครั้งจะส่งผลให้เกิดความเสื่อมได้เร็วกว่าปกติ เช่น นักกีฬา หรืออาชีพที่ต้องทำงานใช้ร่างกายอย่างหนัก ซึ่งโดยทั่วไปในบริเวณข้อจะมีความคงทนอยู่ในระดับหนึ่งในภาวะการใช้งานทั่วไปหรือหากการใช้งานนั้นไม่เกินกว่าช่วงความคงทนทางกายวิภาคปกติ แม้ว่าจะเป็นงานที่รุนแรงหรือเป็นการทำงานอย่างต่อเนื่องเป็นเวลานานก็อาจไม่สามารถทำให้เกิดความเสียหายบริเวณข้อได้ โดยระดับความคงทนของข้อต่อร่างกายจะมีความแตกต่างกันในแต่ละบุคคล ซึ่งความระดับความคงทนของข้อต่อที่แตกต่างกันนี้อาจเกิดจากพหุสัณฐานทางพันธุกรรม (Evcik *et al.*, 2006) เนื่องจากในจีโนมของมนุษย์ทุก 100-300 คู่เบส จะพบ single nucleotide polymorphism (SNP) อย่างน้อย 1 ตำแหน่ง (Ke *et al.*, 2008) ดังนั้นการเกิดโรคข้อเสื่อมอาจมีปัจจัยทางพันธุกรรมเข้ามาเกี่ยวข้อง

ได้มีการศึกษาปัจจัยทางพันธุกรรมของการเกิดโรคข้อเข่าเสื่อมจำนวนมาก รวมทั้งการศึกษาในแฝดร่วมไข่ (homozygotic twins) พบว่า มีความเกี่ยวข้องทางพันธุกรรมของการเกิดโรคข้อเสื่อมมีค่าประมาณ 35-60% โดยเฉพาะโรคข้อเข่าเสื่อม มีความเกี่ยวข้องทางพันธุกรรมสูงถึง 40 % (Spector and MacGregor, 2004) คาดว่ามีมากกว่า 80 ยีน และมี SNP อย่างน้อย 25,000 ตำแหน่งที่มีความสัมพันธ์กับความเสี่ยงในการเป็นข้อเข่าเสื่อม (Stern *et al.*, 2003) เช่น SNP ในยีน *estrogen receptor-beta (ER-beta)* ซึ่งทำหน้าที่เป็นตัวรับสัญญาณในการเริ่มต้นกระบวนการซ่อมแซมกระดูกอ่อนผิวข้อ มีความสัมพันธ์กับการเกิดโรคข้อเข่าเสื่อมในชาวเกาหลี (Lee *et al.*, 2013) SNP ที่ตำแหน่ง 5'-untranslated region (5'-UTR) ในยีน *growth differentiation factor 5 (GDF5)* ซึ่งทำหน้าที่สำคัญในการสร้างและซ่อมแซมกระดูกอ่อนผิวข้อ มีความสัมพันธ์กับการเกิดโรคข้อเสื่อมในชาวเอเชียและยุโรป (Southam *et al.*, 2007) และ SNP ในยีน *asporin (ASPN)* ซึ่งมีหน้าที่ในการสังเคราะห์ ECM ที่เนื้อเยื่อกระดูกอ่อนมีความสัมพันธ์กับการเกิดโรคข้อเข่าเสื่อมในชาวจีนและญี่ปุ่น (Iida *et al.*, 2006)

การเกิดพหุสัณฐานในยีนในระดับดีเอ็นเออาจส่งผลต่อการทำงานในระดับการแสดงออก หรือทำให้โปรตีนเกิดความผิดปกติ และนำไปสู่การเสื่อมสภาพของกระดูกอ่อนผิวข้อ (articular cartilage)

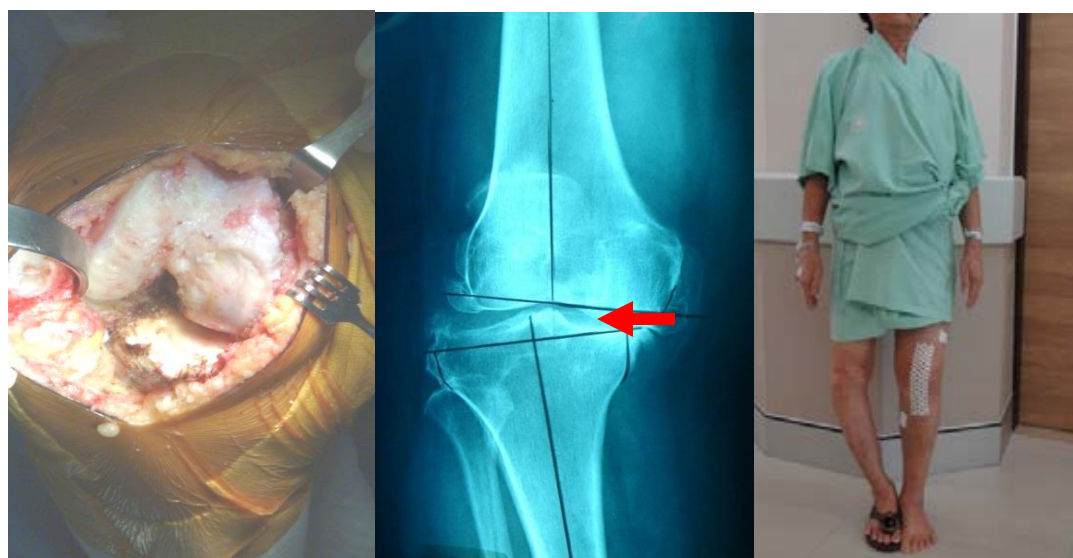
จากการศึกษาการแสดงออกของยีนในผู้ป่วยโรคข้อเสื่อมเปรียบเทียบกับคนปกติในเซลล์กระดูกอ่อน (chondrocyte) โดยไมโครอาร์เรย์ (microarray) และวิเคราะห์ผลด้วยชีวสารสนเทศ (bioinformatics) พบว่าระดับการแสดงออกของยีนในกลุ่มผู้ป่วยโรคข้อเสื่อม แตกต่างจากในกลุ่มคนปกติอย่างมีนัยสำคัญทางสถิติ แบ่งเป็นยีนที่เกี่ยวข้องกับการสร้างกระดูก (bone formation) 7 ยีน และยีนที่เกี่ยวข้องกับการสังเคราะห์คอลลาเจน (collagen encoding) 4 ยีน โดยไม่พบการกลายเกิดขึ้นที่ยีนดังกล่าว (Karlsson *et al.*, 2010) ซึ่งอาจมีสาเหตุมาจากการเปลี่ยนแปลงของดีเอ็นเอเมทิลเลชัน (DNA methylation)

ดีเอ็นเอเมทิลเลชันเป็นกระบวนการสำคัญในการควบคุมการแสดงออกของยีนในสิ่งมีชีวิต โดยการเติมหมู่เมทิลที่ตำแหน่งไซโตซีน (cytosine) บนลำดับ CpG ของสายดีเอ็นเอ ให้กลายเป็นเมทิลไซโตซีน (5-methylcytosine, ^mC) โดยปกติบริเวณโปรโมเตอร์ของยีนจะมีลำดับ CpG เป็นองค์ประกอบมากกว่า 30 % ซึ่งจะเรียกบริเวณดังกล่าวว่า CpG island การเติมหมู่เมทิลบน CpG island นั้นจะเหนี่ยวนำให้ methyl-CpG-binding domain containing protein (MBD) เข้ามาจับยังบริเวณดังกล่าวจากนั้น DNA methyltransferase (DNMT) จะเข้ามาจับกับ MBD จนเป็น complex ที่บริเวณของโปรโมเตอร์ ส่งผลให้ transcription factor (TF) ไม่สามารถเข้ามาจับเพื่อเริ่มต้นกระบวนการถอดรหัส (transcription) ได้ (Barter *et al.*, 2012) จากการศึกษาการเกิดเมทิลเลชันบนโปรโมเตอร์ของยีน *interleukin-1 beta (IL1B)* ในเซลล์กระดูกอ่อนโดยเปรียบเทียบระหว่างผู้ป่วยโรคข้อเสื่อม และคนปกติ พบว่าในคนปกติยีน *IL1B* มีดีเอ็นเอเมทิลเลชันบนโปรโมเตอร์ เพื่อควบคุมให้เกิดการแสดงออกของยีนในกลุ่มเอนไซม์ย่อยสลาย (catabolic gene) เช่น ยีนที่สร้างโปรตีนกลุ่ม matrix metalloproteinase (MMP) และ aggrecanase (ADAMTS-4 และ ADAMTS-5) เป็นไปอย่างเหมาะสม ในขณะที่บริเวณโปรโมเตอร์ของยีน *IL1B* ในผู้ป่วยโรคข้อเสื่อมเกิดดีเอ็นเอดีเมทิลเลชัน ส่งผลให้ระดับการแสดงออกของเอนไซม์ย่อยสลายสูงขึ้น ซึ่งกลายเป็นความผิดปกติของระดับการแสดงออก และส่งผลให้เกิดความผิดปกติของความสมดุลระดับเซลล์ (Hashimoto *et al.*, 2009) ดังนั้นจะเห็นได้ว่าถึงแม้ยีนจะไม่เกิดการกลายขึ้น แต่หากเกิดความผิดปกติที่การควบคุมการแสดงออกของยีน ทำให้เกิดการแสดงออกที่มากหรือน้อยเกินไป เช่น ความผิดปกติที่กระบวนการหลังการถอดรหัส และโปรโมเตอร์เมทิลเลชัน ทำให้การทำงานของโปรตีนหรือระดับการแสดงออกของโปรตีนที่ผิดปกติไปจากเดิม ซึ่งจะนำไปสู่การเกิดความผิดปกติในร่างกายจนก่อให้เกิดโรคต่าง ๆ (Garcia-Blanco *et al.*, 2004)

อาการของโรคข้อเข่าเสื่อม

การศึกษาโรคข้อเข่าเสื่อมเริ่มตั้งแต่ปี ค.ศ.1920 โดยเริ่มศึกษาในผู้ป่วยที่มาพบแพทย์เพื่อรักษาอาการปวดข้ออย่างรุนแรง เมื่อการศึกษาขยายวงกว้างออกไปพบว่าผู้ป่วยโรคข้อเสื่อมในระยะเริ่มต้นมากกว่า 15 % ที่ถูกวินิจฉัยจากภาพรังสีไม่มีความเจ็บปวด หรือแสดงอาการให้เห็นถึงความผิดปกติ (Rodriguez-Fontenla *et al.*, 2012)

ผู้ป่วยโรคข้อเข่าเสื่อมในระยะแรกจะเกิดกระดูกงอก (osteophyte) ขนาดเล็ก แต่ยังคงเหลือพื้นที่ว่างระหว่างข้อเข่า มีรอยแตกขนาดเล็กบนกระดูกอ่อนผิวข้อ และมีอาการบวมของเนื้อเยื่อกระดูกอ่อนที่บริเวณ extracellular matrix (ECM) ทำให้เกิดความไม่เรียบขึ้นที่กระดูกอ่อน ระยะต่อมาจะพบกระดูกงอกบริเวณขอบข้ออย่างชัดเจน เริ่มมีการสูญเสียกระดูกอ่อนผิวข้อ (ดังรูป 1ก) ทำให้อาจเกิดเสียงดังขณะขยับข้อเนื่องจากพื้นที่ว่างระหว่างข้อต่อเริ่มน้อยลง เมื่อเข้าสู่ระยะที่ 3 พื้นที่ระหว่างข้อต่อลดลงอย่างมาก ผู้ป่วยเริ่มแสดงอาการข้อติด มีความเจ็บปวดในขณะที่ยืดหรืองอเข่า เนื่องจากกระดูกอ่อนที่คอยป้องกันการชนกันของกระดูกซึ่งมีเส้นประสาทอยู่เป็นจำนวนมากลดน้อยลง ทำให้เกิดการอักเสบที่บริเวณข้อเข่า และสุดท้ายจะสูญเสียพื้นที่ทั้งหมดระหว่างข้อต่อ (ดังรูป 1ข) เนื่องจากสลายของกระดูกอ่อนผิวข้อ ผู้ป่วยมีอาการข้อยึด ไม่สามารถยืดหรืองอเข่า มีการอักเสบในข้อเข่าอย่างรุนแรง ผู้ป่วยจะเจ็บปวดขณะที่ย้ายน้ำหนักตัว ในผู้ป่วยบางรายอาจไม่สามารถใช้ชีวิตประจำวันตามปกติได้ และเมื่ออาการรุนแรงมากขึ้น จะเกิดการบิดงอของข้อเข่า และเสียรูปแบบของข้อต่อ (Kim *et al.*, 2011) (ดังรูป 1ค)



(ก)

(ข)

(ค)

รูปที่ 1 ลักษณะของผู้ป่วยโรคข้อเข่าเสื่อม

(ก) การผ่าตัดเปลี่ยนผิวข้อของกระดูกอ่อนที่ไม่สามารถลดแรงกดระหว่างข้อเข้าได้

(ข) ลูกศรสีแดงแสดงถึงการสูญเสียช่องว่างภายในข้อเข่าเนื่องจากการสลายของกระดูกอ่อนผิวข้อ

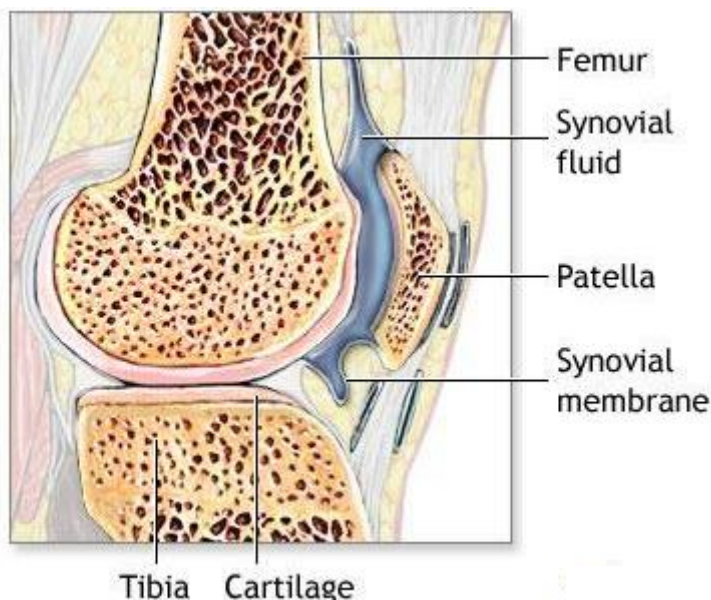
(ค) ผู้ป่วยที่มีอาการรุนแรงจะเกิดการบิดงอของข้อเข่าจนทำให้เสียรูปแบบของข้อต่อ

(รูปถ่ายโดย รศ.นพ.ณัฐพล ธรรมโชติ)

องค์ประกอบของข้อเข่า

หัวเข่าเป็นข้อชนิดที่มีเยื่อหุ้มประกอบด้วยเซลล์หลายชนิด เช่น เซลล์กระดูกอ่อน ที่รวมตัวกันเป็นเนื้อเยื่อกระดูกอ่อนผิวข้อทำหน้าที่ในการลดแรงกดระหว่างข้อเข่า ป้องกันความเสียหายที่เกิดจากการกระทบกันของกระดูกข้อต่อ และเซลล์ในเยื่อหุ้มข้อ (synovial membrane) ซึ่งทำหน้าที่ในการสร้างน้ำข้อเข่า (knee synovial fluid) ดังรูปที่ 2 เพื่อลดแรงเสียดทานในระหว่างเสียดสีกันของกระดูกอ่อนผิวข้อ โดยองค์ประกอบของเยื่อหุ้มข้อประกอบด้วย ซิโนวิโอไซต์ชนิดเอ (type A synovocyte หรือ synovial macrophage หรือ macrophage-like synovocyte) ซึ่งเป็นมาโครฟาจแทรกอยู่ในเนื้อเยื่อเกี่ยวพันทำหน้าที่ในการเลือกผ่านการเข้าออกของสารภายในข้อเข่า (Edwards, 2000) สามารถตรวจสอบได้ด้วยแอนติบอดี CD14 และ CD68 ซึ่งจำเพาะต่อแอนติเจนในเซลล์ที่เกี่ยวข้องกับการกระตุ้นกระบวนการอักเสบ (Hunyadi *et al.*, 1993; Kim *et al.*, 2007) และซิโนวิโอไซต์ชนิดบี (type B synovocyte หรือ synovial fibroblast หรือ fibroblast-like synovocyte) เป็นเซลล์ชนิดไฟโบรบลาสต์เนื่องจากมีลักษณะเป็นรูปกระสวย มีเพียง 1 นิวเคลียสในเซลล์ มีการเรียงตัวไปในทิศทางเดียวกันใน

เยื่อหุ้มข้อ (Edwards, 2000) และสามารถตรวจสอบได้ด้วยแอนติบอดี CD44 VCAMP-1 (CD54) CD55 CD90 (Thy-1) และ cadherin-11 ที่มีความจำเพาะต่อการกระตุ้นการสังเคราะห์ ECM ซึ่งเป็นหน้าที่เฉพาะของเซลล์เกี่ยวพัน (Rokhlin and Cohen, 1996; Lee *et al.*, 2012)



รูปที่ 2 โครงสร้างของข้อเข่า

(<http://arthritis.about.com/od/arthritisbyanatomy>)

ในเยื่อหุ้มข้อจะมีซิโนไวโอไซต์ชนิดบีมากถึง 95 % และมีซิโนไวโอไซต์ชนิดเอประมาณ 3 % ในขณะที่อีกประมาณ 2 % เป็นเซลล์ของหลอดเลือด (blood vessel) (Edwards, 2000) ทั้งเซลล์กระดูกอ่อน และเซลล์ในเยื่อหุ้มข้อต่างมีการแสดงออกของยีนในการควบคุมกระบวนการต่างๆ ภายในข้อเข่า (El Hajjaji *et al.*, 2005) ได้แก่กระบวนการในการสร้าง (anabolism) โดยอาศัย anabolic factor ต่างๆ เช่น transforming growth factor- β (TGF- β) bone morphogenic proteins (BMPs) cartilage-derived morphogenic proteins (CDMPs) insulin-like growth factor (IGFs) connective-tissue growth factor (CTGF) hepatocyte growth factor (HGF) และ fibroblast growth factor (FGF) ซึ่งจัดอยู่ใน growth factor family มีหน้าที่สำคัญในการสร้าง ซ่อมแซม และกระตุ้นให้เกิดการแบ่งเซลล์ของกระดูกอ่อน นอกจากนี้ยังมีกระบวนการสลาย (catabolism) โดยอาศัย catabolic factor ซึ่งส่วนใหญ่เป็น protease เช่น collagenase gelatinasemembrane-type MMP (MT-MMP) adamalysin (ADAM และตระกูล ADAMTS) serine protease และ thiol protease เพื่อกำจัดส่วนที่เกิดการเสียหายไประหว่างการเคลื่อนที่ของข้อเข่า หรือเพื่อลดความหนืดของน้ำในข้อเข่า โดยความสมดุลของกระบวนการสร้าง และสลาย

ภายในข้อเข่าที่ถูกควบคุมด้วยเซลล์กระดูกอ่อน และเซลล์เยื่อรอบข้อจะทำหน้าที่รักษาสภาพข้อเข่าให้อยู่ในสภาวะปกติ (Martel-Pelletier *et al.*, 2008)

จากการศึกษาชิโนไวรัสในน้ำข้อเข่านั้น ยังไม่ทราบชัดเจนว่าเป็นเซลล์ที่มาจากที่ใด แต่คาดว่าเป็นเซลล์ที่หลุดออกมาจากเยื่อรอบข้อ และยังไม่ทราบถึงหน้าที่ และบทบาทซึ่งมีผลต่อโรคข้อเข่าเสื่อมอย่างชัดเจน แต่เมื่อสกัดชิโนไวรัสจากน้ำไขข้อเพื่อนำมาศึกษาพบว่า เป็นเซลล์ที่ยังคงมีชีวิต และมีลักษณะของเซลล์เป็นเซลล์เกี่ยวพันเหมือนกับชิโนไวรัสชนิดบีในเยื่อรอบข้อ เนื่องจากมีแอนติเจน CD90 CD55 และ intracellular prolyl-4-hydroxylase (Scanu *et al.*, 2007) ดังนั้นเป็นไปได้ว่าชิโนไวรัสชนิดบีที่พบในน้ำไขข้ออาจเป็นเซลล์ที่มีบทบาทสำคัญต่อการเกิดโรคข้อเข่าเสื่อม

แนวทางการศึกษาการแสดงออก และการเกิดเมทิลเลชันบนโปรโมเตอร์ของยีนในโรคข้อเข่าเสื่อม

ชีวสารสนเทศเป็นศาสตร์ที่ใช้ในการบริหารจัดการข้อมูลทางด้านชีววิทยา ซึ่งมีขนาดของข้อมูลเพิ่มมากขึ้นอย่างรวดเร็ว และส่วนหนึ่งเป็นผลมาจากการวิจัยทางด้านจีโนมที่มีเป้าหมายหลักในการวิเคราะห์ลำดับนิวคลีโอไทด์ทั้งหมดในจีโนมมนุษย์ ชีวสารสนเทศจึงถูกพัฒนามาเพื่อจัดเก็บข้อมูล จัดระบบฐานข้อมูล สืบค้นข้อมูล รวมไปถึงวิเคราะห์ข้อมูล ซึ่งทำให้สะดวกต่อการทำวิจัยในปัจจุบัน (Graeber and Eisenberg, 2001; Giacomelli and Nicolini, 2006; Fan *et al.*, 2008) เช่น การวิเคราะห์จากฐานข้อมูลไมโครอาร์เรย์

ไมโครอาร์เรย์เป็นเทคนิคที่นิยมใช้ศึกษารูปแบบการแสดงออกของยีน เพราะสามารถวิเคราะห์การแสดงออกของยีนจำนวนมากภายในเซลล์ในเวลาเดียวกัน (high throughput screen) จึงสามารถใช้เปรียบเทียบรูปแบบการแสดงออกของยีนระหว่างเซลล์ปกติและเซลล์ของผู้ป่วย โดยข้อมูลที่ได้รับจากไมโครอาร์เรย์มีจำนวนมาก (Yoo *et al.*, 2011) ดังนั้นจึงต้องอาศัยเทคนิคชีวสารสนเทศเพื่อเข้ามาช่วยในการวิเคราะห์ข้อมูล เช่น จากการศึกษาารูปแบบการแสดงออกของยีนในเยื่อข้อด้วยวิธีไมโครอาร์เรย์เปรียบเทียบระหว่างผู้ป่วยโรคข้อเสื่อมกับกลุ่มประชากรควบคุม จากนั้นวิเคราะห์ผลการแสดงออกผ่านเทคโนโลยีชีวสารสนเทศ พบว่า 542 ยีน จากทั้งหมด 33,000 ยีน มีการแสดงออกแตกต่างกันอย่างมีนัยสำคัญทางสถิติ ที่ระดับความเชื่อมั่นมากกว่า 95 % โดย 314 ยีน จาก 542 ยีน มีการแสดงออกเพิ่มขึ้นในผู้ป่วยโรคข้อเข่าเสื่อมเมื่อเทียบกับกลุ่มคนปกติ และอีก 228 ยีนมีการแสดงออกลดลง (Del Rey *et al.*, 2012) ซึ่งสามารถแบ่งกลุ่มยีนตามหน้าที่และการทำงานออกเป็นประเภทต่าง ๆ รวมถึงยีนที่เกี่ยวข้องกับการสังเคราะห์กระดูกอ่อน (chondrogenic gene) เช่น chondrosarcoma เซลล์กระดูกอ่อน และรวมไปถึงเซลล์เกี่ยวพัน บริเวณต่าง ๆ โดยจากการศึกษาพบว่า mesenchymal stem cell (MSC) และ

เซลล์ที่พัฒนามาจาก MSC มีการแสดงออกของยีนที่เกี่ยวข้องกับการเจริญของกระดูกอ่อน ซึ่งยีนดังกล่าวมีหน้าที่สำคัญในการสังเคราะห์ และซ่อมแซมกระดูกอ่อนเมื่อเกิดการเสียหายอันเนื่องมาจากแรงกลภายในข้อต่อของร่างกาย ความผิดปกติของยีนในกลุ่มนี้อาจเป็นสาเหตุหนึ่งของการเกิดโรคข้อเข่าเสื่อม เนื่องจากความเสียหายของกระดูกอ่อนในข้อเข่าจะเกิดการสะสม และเกิดการสูญเสียคุณสมบัติทางกายภาพจนไม่สามารถรับแรงกลได้ตามปกติ (Gyurjan *et al.*, 2007) ตัวอย่างของยีนที่เกิดความผิดปกติแล้วอาจเป็นสาเหตุของการเกิดโรคข้อเข่าเสื่อม ได้แก่

ยีน *inositol monophosphatase domain containing 1 (IMPAD1)* หรือ *joints abnormal with splitting (JAWS)* มีการศึกษาพบว่า ในหนูปรับแต่งพันธุกรรมให้เกิดความผิดปกติของ *IMPAD1* มีกระดูกในส่วนต่าง ๆ ตามร่างกายสั้นอย่างเห็นได้ชัดเมื่อเปรียบเทียบกับหนูปกติ ดังนั้นคาดว่ายีน *IMPAD1* มีความเกี่ยวข้องกับการสังเคราะห์ ซ่อมแซมและการจัดรูปแบบของกระดูกอ่อน (Sohaskey *et al.*, 2008)

ยีน *emopamilbinding protein (EBP)* ทำหน้าที่ในการขนส่งโปรตีนภายในเซลล์ในกระบวนการสังเคราะห์กระดูกอ่อนในมนุษย์ เมื่อยีนเกิดความผิดปกติทำให้เกิดโรค *chondrodysplasiapunctata (CDP)* ซึ่งผู้ป่วยจะมีลักษณะผมร่วง นิ้วมือ นิ้วเท้าสั้น และเกิดอาการเสื่อมตามข้อตั้งแต่อายุน้อย (Ikegawa *et al.*, 2000) ดังนั้นการแสดงออกที่เปลี่ยนไปของ *EBP* อาจทำให้เกิดโรคข้อเสื่อม

ยีน *phosphatidic acid phosphatase type 2 domain containing 1B (PPAPDC1B)* ทำหน้าที่เป็น tumor suppressor ยับยั้งการทำงานของยีน *dual specificity phosphatase 22 (DUSP22)* ซึ่งเป็นยีนที่สำคัญต่อการแบ่งเซลล์ซึ่งถูกควบคุมด้วย estrogen receptor pathway จากการศึกษาพบว่าหากเกิดความเสียหายที่ยีนนี้พบว่ามีอัตราการเกิดมะเร็งเต้านมมากขึ้น (Bernard-Pierrot *et al.*, 2008) และหากมีการแสดงออกของยีนนี้มากเกินไปในกระดูกอ่อนจะยับยั้งการแบ่งเซลล์ และไม่สามารถซ่อมแซมกระดูกอ่อนส่วนที่เสียหายได้

ยีน *fin-bud initiation in zebrafish homolog (FIBIN)* เป็นยีนที่ทำหน้าที่สำคัญในการพัฒนารยางค์ในระยะตัวอ่อนของสัตว์มีกระดูกสันหลัง และมีหน้าที่สำคัญในกระบวนการเจริญเติบโตของรยางค์ในร่างกาย โดยจะแสดงออกลดลงเมื่อมีอายุมากขึ้น หากเกิดความผิดปกติที่ยีน *FIBIN* จะทำให้ตัวอ่อนมีลักษณะผิดปกติบริเวณข้อต่อ (Lakner *et al.*, 2011)

การแสดงออกของยีนที่เปลี่ยนไปอาจเกิดจากกลไกการยับยั้งกระบวนการถอดรหัสของยีนผ่าน การเติมหมู่เมทิลเลชันที่ CpG island บน โพรโมเตอร์ของยีน หรืออาจทำให้เกิดการเปลี่ยนแปลงทาง โครงสร้างของโครมาติน (chromatin remodeling) ทำให้ TF ไม่สามารถเข้ามาจับที่ โพรโมเตอร์เพื่อเริ่ม กระบวนการถอดรหัสได้ ดังนั้นการศึกษาการเกิดเมทิลเลชันบน โพรโมเตอร์ของยีน จะแยกแยะระหว่าง เมทิลไซโตซีน และไซโตซีน โดยใช้ bisulfite conversion ซึ่งไซโตซีนที่ไม่มีการเติมหมู่เมทิล จะเกิด กระบวนการ deamination และถูกเปลี่ยนเป็นยูราซิล (Uracil, U) ในขณะที่เมทิลไซโตซีนจะไม่มีการ เปลี่ยนแปลง ดังนั้นสายดีเอ็นเอที่ได้จากกระบวนการ bisulfite conversion (bisulfite converted DNA) จะสามารถนำไปวิเคราะห์การเติมหมู่เมทิลเลชันได้ด้วยเทคนิคต่าง ๆ เช่น methylation specific-PCR (MSP-PCR) combined bisulfite restriction analysis (COBRA) (Grunau *et al.*, 2001) methylquan real-time PCR (Dugast-Darzacq and Grange, 2009) และ pyrosequencing (Imagawa *et al.*, 2011; Yoon *et al.*, 2013; Migheli *et al.*, 2013)

pyrosequencing เป็นเทคนิคที่มีความละเอียดสูง สามารถใช้ในการบอกอัตราส่วนของการเกิด เมทิลเลชัน และอันเมทิลเลชันได้อย่างแม่นยำ เนื่องจากในปฏิกิริยาของ pyrosequencing จะ เติม deoxynucleotide triphosphate (dNTP) ทีละ 1 ตัว ถ้า dNTP นั้นสามารถจับคู่กับสายดีเอ็นเอ ต้นแบบ ได้ DNA polymerase จะนำ dNTP เข้าต่อกับสายดีเอ็นเอ และปลดปล่อย pyrophosphate (PPi) ในปริมาณที่เท่ากับจำนวนนิวคลีโอไทด์ที่ใช้ทำปฏิกิริยา จากนั้น เอนไซม์ ATP sulfurylase จะ เปลี่ยน PPi ให้เป็น adenosine triphosphate (ATP) โดยจะรวมเข้ากับ adenosine phosphosulfate (APS) ซึ่ง ATP จะกระตุ้นให้เอนไซม์ luciferase เปลี่ยน luciferin ให้กลายเป็น oxyluciferin และปล่อย แสงออกมาในปริมาณที่เป็นสัดส่วนกับปริมาณของ ATP ซึ่งจะสามารถตรวจจับแสงที่ปลดปล่อย ออกมาให้อยู่ในรูป Pyrogram โดยความสูงของ peak จะเป็นสัดส่วนกับจำนวนนิวคลีโอไทด์ที่ DNA polymerase ต่อสายดีเอ็นเอ ดังนั้นจะสามารถบอกอัตราส่วนระหว่างเมทิลเลชัน และอันเมทิลเลชันบน โพรโมเตอร์ของยีนได้ (Yoon *et al.*, 2013)

การรักษาโรคข้อเข่าเสื่อม และความสำคัญของตัวบ่งชี้ทางชีวภาพ

เนื่องจากโรคข้อเข่าเสื่อมจะสามารถตรวจพบเมื่อผู้ป่วยมาพบแพทย์ด้วยอาการปวดข้ออย่าง รุนแรง หรือเกิดการเสียรูปแบบข้อต่อ จนเกิดการบดงอจนไม่สามารถใช้ชีวิตประจำวันตามปกติได้ ใน บางครั้งอาจต้องใช้ผลการถ่ายภาพรังสีควบคู่กับการวินิจฉัยโดยแพทย์ผู้เชี่ยวชาญเพื่อยืนยันการเป็นโรค ข้อเข่าเสื่อม และทำการรักษาเพื่อบรรเทาอาการเจ็บปวด เช่น การเพิ่มมวลกล้ามเนื้อเข้ามาเป็นตัวรับ

น้ำหนักแทนกระดูกข้อต่อโดยกายภาพบำบัดหรือเดินเอนโดโปรบิคการลดน้ำหนัก การประคบร้อน (heating) (Keysor *et al.*, 2003) และการใช้ยาแก้อักเสบ (anti-inflammatory drug) หรือยาชา (anesthetic drug) แต่ความเสื่อมบนกระดูกอ่อนผิวข้อจะยังคงอยู่ซึ่งการรักษาให้หายขาดในปัจจุบันมีเพียงวิธีเดียว คือ การผ่าตัด ซึ่งแบ่งเป็น การผ่าตัดเปลี่ยนข้อเทียมเพียงส่วนเดียว (unicompartmental knee arthroplasty, UKA) สำหรับผู้ป่วยที่มีกระดูกอ่อนผิวข้อเสื่อมสภาพเพียงด้านเดียวของเข่า หรือ การผ่าตัดเปลี่ยนข้อเข่าเทียมทั้งหมด (total knee arthroplasty, TKA) (Liu *et al.*, 2011) ซึ่งส่งผลต่อสุขภาพร่างกาย สุขภาพจิต และนำไปสู่ปัญหาทางการเงิน เนื่องจากมีค่าใช้จ่ายสูงในการรักษา (Michaud *et al.*, 2006) ดังนั้นหากสามารถตรวจพบโรคข้อเข่าเสื่อมในระยะเริ่มต้น อาจหลีกเลี่ยงปัจจัยต่าง ๆ ที่ก่อให้เกิดการเสื่อมของข้อเข่า และยืดระยะเวลาในการเกิดโรคออกไปได้ ดังนั้นตัวบ่งชี้ทางชีวภาพ (biomarkers) จึงมีบทบาทสำคัญในการทำนายโรคข้อเข่าเสื่อมตั้งแต่ยังไม่แสดงอาการ

ตัวบ่งชี้ทางชีวภาพ คือ สารชีวโมเลกุลที่เกิดจากกระบวนการระดับโมเลกุลของร่างกาย ดังนั้นตัวบ่งชี้ทางชีวภาพจะสะท้อนถึงกระบวนการในการเกิดโรค ทำให้สามารถจำแนกผู้ป่วยออกจากคนปกติได้ และยังมีประโยชน์ต่อการเลือกยา หรือพัฒนายาเพื่อให้เหมาะสมกับความผิดปกติในระดับโมเลกุลของผู้ป่วย ซึ่งทำให้การรักษามีประสิทธิภาพมากขึ้น (Tseng *et al.*, 2009)

- Barter, M. J., Bui, C. and Young, D. A., 2012. Epigenetic mechanisms in cartilage and osteoarthritis: DNA methylation, histone modifications and microRNAs. *Osteoarthritis Cartilage* 20(5): 339-349.
- Bernard-Pierrot, I., *et al.*, 2008. Characterization of the recurrent 8p11-12 amplicon identifies PPAPDC1B, a phosphatase protein, as a new therapeutic target in breast cancer. *Cancer Res* 68(17): 7165-7175.
- Cho, H. J., Chang, C. B., Yoo, J. H., Kim, S. J. and Kim, T. K., 2010. Gender differences in the correlation between symptom and radiographic severity in patients with knee osteoarthritis. *Clin Orthop Relat Res* 468(7): 1749-1758.
- Del Rey, M. J., *et al.*, 2012. Transcriptome analysis reveals specific changes in osteoarthritis synovial fibroblasts. *Ann Rheum Dis* 71(2): 275-280.
- Dugast-Darzacq, C. and Grange, T., 2009. MethylQuant: a real-time PCR-based method to quantify DNA methylation at single specific cytosines. *Methods Mol Biol* 507: 281-303.
- Edwards, J. C., 2000. Fibroblast biology. Development and differentiation of synovial fibroblasts in arthritis. *Arthritis Res* 2(5): 344-347.
- El Hajjaji, H., Cole, A. A. and Manicourt, D. H., 2005. Chondrocytes, synoviocytes and dermal fibroblasts all express PH-20, a hyaluronidase active at neutral pH. *Arthritis Res Ther* 7(4): R756-768.
- Evcik, D., Kuru, I., Maralcan, G. and Evcik, E., 2006. [Relationship between the mechanical and anatomic axis and orientation angles of the knee joint and functional capacity of patients with osteoarthritis]. *Acta Orthop Traumatol Turc* 40(1): 38-43.
- Fan, J., *et al.*, 2008. Gene-expression profiling in Chinese patients with colon cancer by coupling experimental and bioinformatic genomewide gene-expression analyses: identification and validation of IFITM3 as a biomarker of early colon carcinogenesis. *Cancer* 113(2): 266-275.
- Garcia-Blanco, M. A., Baraniak, A. P. and Lasda, E. L., 2004. Alternative splicing in disease and therapy. *Nat Biotechnol* 22(5): 535-546.
- Giacomelli, L. and Nicolini, C., 2006. Gene expression of human T lymphocytes cell cycle: experimental and bioinformatic analysis. *J Cell Biochem* 99(5): 1326-1333.
- Graeber, T. G. and Eisenberg, D., 2001. Bioinformatic identification of potential autocrine signaling loops in cancers from gene expression profiles. *Nat Genet* 29(3): 295-300.
- Grunau, C., Clark, S. J. and Rosenthal, A., 2001. Bisulfite genomic sequencing: systematic investigation of critical experimental parameters. *Nucleic Acids Res* 29(13): E65-65.

- Gyurjan, I., Jr., *et al.*, 2007. Gene expression dynamics in deer antler: mesenchymal differentiation toward chondrogenesis. *Mol Genet Genomics* 277(3): 221-235.
- Hashimoto, K., Oreffo, R. O., Gibson, M. B., Goldring, M. B. and Roach, H. I., 2009. DNA demethylation at specific CpG sites in the IL1B promoter in response to inflammatory cytokines in human articular chondrocytes. *Arthritis Rheum* 60(11): 3303-3313.
- Hunyadi, J., Simon, M., Jr., Kenderessy, A. S. and Dobozy, A., 1993. Expression of monocyte/macrophage markers (CD13, CD14, CD68) on human keratinocytes in healthy and diseased skin. *J Dermatol* 20(6): 341-345.
- Iida, A., Kizawa, H., Nakamura, Y. and Ikegawa, S., 2006. High-resolution SNP map of ASPN, a susceptibility gene for osteoarthritis. *J Hum Genet* 51(2): 151-154.
- Ikegawa, S., *et al.*, 2000. Novel and recurrent EBP mutations in X-linked dominant chondrodysplasia punctata. *Am J Med Genet* 94(4): 300-305.
- Imagawa, K., *et al.*, 2011. The epigenetic effect of glucosamine and a nuclear factor-kappa B (NF- κ B) inhibitor on primary human chondrocytes--implications for osteoarthritis. *Biochem Biophys Res Commun* 405(3): 362-367.
- Karlsson, C., *et al.*, 2010. Genome-wide expression profiling reveals new candidate genes associated with osteoarthritis. *Osteoarthritis Cartilage* 18(4): 581-592.
- Ke, X., Taylor, M. S. and Cardon, L. R., 2008. Singleton SNPs in the human genome and implications for genome-wide association studies. *Eur J Hum Genet* 16(4): 506-515.
- Keysor, J. J., *et al.*, 2003. Critical review of arthritis self-management strategy use. *Arthritis Rheum* 49(5): 724-731.
- Kim, J. S., *et al.*, 2007. Distribution of CD14⁺ and CD68⁺ macrophages in the placental bed and basal plate of women with preeclampsia and preterm labor. *Placenta* 28(5-6): 571-576.
- Kim, K. W., *et al.*, 2011. Association between comorbid depression and osteoarthritis symptom severity in patients with knee osteoarthritis. *J Bone Joint Surg Am* 93(6): 556-563.
- Lakner, J., Seyer, C., Hermsdorf, T. and Schoneberg, T., 2011. Characterization of the expression, promoter activity and molecular architecture of fibin. *BMC Biochem* 12: 26.
- Lawrence, R. C., *et al.*, 2008. Estimates of the prevalence of arthritis and other rheumatic conditions in the United States. Part II. *Arthritis Rheum* 58(1): 26-35.
- Lee, D. H., Sonn, C. H., Han, S. B., Oh, Y., Lee, K. M. and Lee, S. H., 2012. Synovial fluid CD34(-) CD44(+) CD90(+) mesenchymal stem cell levels are associated with the severity of primary knee osteoarthritis. *Osteoarthritis Cartilage* 20(2): 106-109.

- Lee, S. W., *et al.*, 2013. The single nucleotide polymorphism (SNP) of the estrogen receptor-beta gene, rs1256049, is associated with knee osteoarthritis in Korean population. *Knee*.
- Liu, J., *et al.*, 2011. [Management of extension apparatus in total knee arthroplasty of osteoarthritis]. *Zhongguo Xiu Fu Chong Jian Wai Ke Za Zhi* 25(1): 33-37.
- Losina, E., *et al.*, 2012. Lifetime risk and age of diagnosis of symptomatic knee osteoarthritis in the US. *Arthritis Care Res (Hoboken)*.
- Martel-Pelletier, J., Boileau, C., Pelletier, J. P. and Roughley, P. J., 2008. Cartilage in normal and osteoarthritis conditions. *Best Pract Res Clin Rheumatol* 22(2): 351-384.
- Michaud, C. M., *et al.*, 2006. The burden of disease and injury in the United States 1996. *Popul Health Metr* 4: 11.
- Migheli, F., *et al.*, 2013. Comparison study of MS-HRM and pyrosequencing techniques for quantification of APC and CDKN2A gene methylation. *PLoS One* 8(1): e52501.
- Murphy, L., *et al.*, 2008. Lifetime risk of symptomatic knee osteoarthritis. *Arthritis Rheum* 59(9): 1207-1213.
- Rodriguez-Fontenla, C., Lopez-Golan, Y., Calaza, M., Pombo-Suarez, M., Gomez-Reino, J. J. and Gonzalez, A., 2012. Genetic risk load and age at symptom onset of knee osteoarthritis. *J Orthop Res* 30(6): 905-909.
- Rokhlin, O. W. and Cohen, M. B., 1996. Soluble forms of CD44 and CD54 (ICAM-1) cellular adhesion molecules are released by human prostatic cancer cell lines. *Cancer Lett* 107(1): 29-35.
- Scanu, A., *et al.*, 2007. [Synoviocyte cultures from synovial fluid]. *Reumatismo* 59(1): 66-70.
- Schmidt, M., Weidler, C., Naumann, H., Anders, S., Scholmerich, J. and Straub, R. H., 2005. Androgen conversion in osteoarthritis and rheumatoid arthritis synoviocytes--androstenedione and testosterone inhibit estrogen formation and favor production of more potent 5alpha-reduced androgens. *Arthritis Res Ther* 7(5): R938-948.
- Sohaskey, M. L., Yu, J., Diaz, M. A., Plaas, A. H. and Harland, R. M., 2008. JAWS coordinates chondrogenesis and synovial joint positioning. *Development* 135(13): 2215-2220.
- Southam, L., *et al.*, 2007. An SNP in the 5'-UTR of GDF5 is associated with osteoarthritis susceptibility in Europeans and with in vivo differences in allelic expression in articular cartilage. *Hum Mol Genet* 16(18): 2226-2232.
- Spector, T. D. and MacGregor, A. J., 2004. Risk factors for osteoarthritis: genetics. *Osteoarthritis Cartilage* 12 Suppl A: S39-44.

- Stern, A. G., *et al.*, 2003. Association of erosive hand osteoarthritis with a single nucleotide polymorphism on the gene encoding interleukin-1 beta. *Osteoarthritis Cartilage* 11(6): 394-402.
- Tseng, S., Reddi, A. H. and Di Cesare, P. E., 2009. Cartilage Oligomeric Matrix Protein (COMP): A Biomarker of Arthritis. *Biomark Insights* 4: 33-44.
- Yoo, H. J., *et al.*, 2011. Gene expression profile during chondrogenesis in human bone marrow derived mesenchymal stem cells using a cDNA microarray. *J Korean Med Sci* 26(7): 851-858.
- Yoon, H. Y., *et al.*, 2013. Pyrosequencing Analysis of APC Methylation Level in Human Prostate Tissues: A Molecular Marker for Prostate Cancer. *Korean J Urol* 54(3): 194-198.

บทที่ 3

วิธีดำเนินงานวิจัย

วัสดุอุปกรณ์ที่ใช้ในงานวิจัย

1. ไมโครปิเปต : P2 (0.1-2 μ l), P20 (5-20 μ l), P100 (20-100 μ l), P1000 (0.1-1 มิลลิลิตร) (Gilson, France)
2. ทิป : 10 μ l, 200 μ l, 1,000 μ l (Gilson, France)
3. หลอดชนิด Microcentrifuge : 0.2 ml และ 1.5 ml (Bionline, UK)
4. ขวดดูแรน : 50 ml, 100 ml (Duran, Germany)
5. กระบอกตวง 100 ml และ 1,000 ml (Pyrex[®], USA)
6. แท่นวางหลอด (rack) (Autopack, USA)
7. ขวดรูปชมพู่ : 250 ml (Pyrex[®], USA)
8. พาราฟิล์ม (Parafilm M, USA)
9. กระดาษฟลอยด์ (Aro, China)
10. ปิเปตดูดจ่ายสารอัตโนมัติ (Costar[®], USA)
11. เครื่องวอร์เท็กซ์ (WiseMix[®], Korea)
12. เครื่องปั่นเหวี่ยงรุ่น Mikrol20 (Hettichzentrifugen, Germany)
13. เครื่อง Polymerase chain reaction (PCR) รุ่น T gradient (Biometra[®], Germany)
14. เครื่อง Real-time polymerase chain reaction (Real-time PCR) รุ่น CFX96[™] (Bio-Rad, USA)
15. เครื่องอิเล็กโตรโฟเรซิสรุ่น MiniRun GE-100 (Bioer, China)
16. ถาดสำหรับเตรียมเจล พร้อมหัว (Bioer, China)
17. เครื่องถ่ายภาพเจล (Bio-Rad, USA)
18. ตู้เย็น 4 °C (Sharp, Japan)
19. ตู้แช่แข็งอุณหภูมิ -20 °C (Sanden Inter Cool, Thailand)
20. ตู้แช่แข็งอุณหภูมิ -80 °C (NEW BRUNSWICK SCIENTIFIC, USA)
21. วอเตอร์บาร์รุ่น SWB-10C-1 (Major Science, Taiwan)
22. จานเลี้ยงเซลล์แบบ 12 หลุม (Costar[®], USA)

23. ฟลาสก์เลี้ยงเซลล์ : T25, T75 (Costar[®], USA)
24. ปิเปตแบบฆ่าเชื้อ (Costar[®] Stripipette) : 5 ml, 10 ml, 25 ml (Costar[®], USA)
25. สไลด์นับเซลล์ (Haemocytometer)
26. ตู้ปลอดเชื้อ (Laminar flow)
27. ตู้เลี้ยงเซลล์ (CO₂ incubator) (Thermo Scientific, USA)
28. กล้องจุลทรรศน์ชนิดหัวกลับรุ่น Motic AE2000 (Motic, Germany)
29. ตู้เพิ่มความดันสำหรับฆ่าเชื้อ
30. เครื่องไมโครเวฟรุ่น R-219 (Sharp, Japan)
31. เครื่องชั่งดิจิทัลรุ่น Pioneer[™] (OHAUS[®], USA)
32. ซ้อนตักสาร (Pyrex[®], USA)
33. เครื่องวัดการดูดกลืนแสง (nano drop) (Thermo Scientific, USA)
34. Optical, 8-CAP Strip, FLAT (Bio-Rad, USA)
35. Tube, Strip-8, Lo-Pro White (Bio-Rad, USA)
36. Conical Tube: 15 ml, 50 ml (Kartell, Italy)

สารเคมีที่ใช้ในงานวิจัย

1. สารเคมีทั่วไป
 - 1.1 Agarose, molecular grade (ISC BioExpress, Spain)
 - 1.2 Absolute ethanol (Merck, Germany)
 - 1.3 Ethidiumbromide (Bio Basic inc, USA)
 - 1.4 Boric acid (Research organics, USA)
 - 1.5 Trisaminomethane (Research organics, USA)
 - 1.6 EDTA (Research organics, USA)
 - 1.7 100 base pair DNA ladder (Biolab, Thailand)
2. สารเคมีที่ใช้ในการทำ PCR
 - 2.1 5x PCRBIOS reaction buffer (PCRBiosystems, UK)
 - 2.2 5 U/μl PCRBIOS HS *Taq* DNA Polymerase (PCRBiosystems, UK)
 - 2.3 Oligonucleotide primer (Biodesign, Thailand)

3. สารเคมีที่ใช้เลี้ยงเซลล์

3.1 Dulbecco's Modified Eagle's Medium (DMEM) (GIBCO, USA)

3.2 Fetal Bovine Serum (FBS) (GIBCO, USA)

3.3 100x Pen-Strep (GIBCO, USA)

3.4 Basic Fibroblast Growth Factor (FGF) (Invitrogen, USA)

3.5 Trypsin-EDTA (GIBCO, USA)

3.6 Phosphate Buffered Saline (PBS) (GIBCO, USA)

3.7 Trypan blue (GIBCO, USA)

4. ชุดสารเคมีสำเร็จรูปที่ใช้ในงานวิจัย

4.1 innuPREB Blood DNA Mini Kit (AnalytikJena, Germany)

4.2 innuPREB RNA Mini Kit (AnalytikJena, Germany)

4.3 SsoFast™EvaGreen® Supermix (Bio-Rad, USA)

4.4 SuperScript™ III First-Strand Synthesis System for RT-PCR (Invitrogen, USA)

4.5 EZ DNA Methylation Gold™ Kit (ZYMO RESEARCH, USA)

วิธีการดำเนินงานวิจัย

งานวิจัยเรื่องนี้แบ่งออกเป็น 6 ส่วน คือ

1. ขออนุมัติจากคณะกรรมการจริยธรรมทางการวิจัยในมนุษย์ โรงพยาบาลธรรมศาสตร์เฉลิมพระเกียรติ
2. การคัดเลือกยีนที่เกี่ยวข้องกับการเจริญของกระดูกอ่อนโดยใช้เทคนิคชีวสารสนเทศ
3. การเตรียมตัวอย่างชีโนไวรัสชนิดบีที่ใช้ในการวิจัย
4. ศึกษาการแสดงออกของยีนที่เกี่ยวข้องกับการเจริญของกระดูกอ่อนในชีโนไวรัสชนิดบีของผู้ป่วยโรคข้อเข่าเสื่อม
5. ศึกษาการเกิดเมทิลเลชันบนโปรโมเตอร์ของยีนที่เกี่ยวข้องกับการเจริญของกระดูกอ่อนในชีโนไวรัสชนิดบีของผู้ป่วยโรคข้อเข่าเสื่อม
6. ศึกษาความสัมพันธ์ระหว่างระดับการแสดงออก และการเกิดเมทิลเลชันบนโปรโมเตอร์ของยีน

1. ขออนุมัติจากคณะกรรมการจริยธรรมทางการวิจัยในมนุษย์ โรงพยาบาลธรรมศาสตร์เฉลิมพระเกียรติ

ดำเนินงานเอกสารสำหรับขออนุมัติจากคณะกรรมการจริยธรรมทางการวิจัยในมนุษย์ โรงพยาบาลธรรมศาสตร์เฉลิมพระเกียรติ โดยนำเสนอโครงร่างงานวิจัยทางวิทยาศาสตร์ซึ่งประกอบด้วยความสำคัญ วิธีการ และการนำไปใช้ประโยชน์ในอนาคต รวมถึงข้อพิจารณาด้านจริยธรรมการวิจัย เพื่อให้งานวิจัยมีมาตรฐานเป็นที่ยอมรับในระดับสากล และเป็นการให้เคารพในความเป็นมนุษย์ ซึ่งอาสาสมัครจะได้รับทราบถึงวิธีการ ประโยชน์ของโครงการวิจัย และตัดสินใจเข้าร่วมหรือไม่เข้าร่วมโครงการด้วยความสมัครใจ ซึ่งข้อมูลส่วนตัวที่ได้จะถูกเก็บรักษาเป็นความลับ เพื่อป้องกันการละเมิดสิทธิส่วนบุคคล

2. การคัดเลือกยีนที่เกี่ยวข้องกับการเจริญของกระดูกอ่อนโดยใช้เทคนิคชีวสารสนเทศ

การคัดเลือกยีนที่เกี่ยวข้องกับการเจริญของกระดูกอ่อนนำมาจากผลการทดลองไมโครอาร์เรย์ในฐานข้อมูล GEO DataSets ของเว็บไซต์ NCBI โดยใช้คำค้นหาในฐานข้อมูล คือ “Osteoarthritis” and “*Homo sapiens*” จากนั้นนำข้อมูลผลการแสดงออกของยีนระหว่างกลุ่มผู้ป่วยโรคข้อเข่าเสื่อม และกลุ่มคนปกติเปิดด้วยโปรแกรม Microsoft Office Excel 2007 (Microsoft Corporation, USA) โดยรวมข้อมูลการแสดงออก (GPL) กับข้อมูลโพรบ (GSE) เพื่อให้ทราบว่าค่าดังกล่าวเป็นค่าการแสดงออกของยีนใด ดังรูปที่ 3 จากนั้นวิเคราะห์ข้อมูลการแสดงออกด้วยสถิติ t test โดยแบ่งการวิเคราะห์เป็น 2 วิธี ดังนี้

5		Normal					OA					
6		GSM303524	GSM303530	GSM303532	GSM303534	Average	GSM303335	GSM303359	GSM303361	GSM303363	GSM303377	Average
7	Gene symbol											
8	PRPF8	4338.18	4441.62	4658.78	3923.25	4340.4575	5491.56	4315.35	6084.78	5759.1	3804.78	5284.29
9	CAPNS1	23669.9	21214	20932	19527.8	21335.925	22116.8	28597.5	27677.1	16904.2	19971.9	20825.3
10	RPL35	23631	21076.8	20320.1	25761.5	22697.35	28151	61834.3	31303.5	26360.8	17188.9	31493.2
11	RPL28	28948.6	27609.2	26177	27839.1	27643.475	30643.8	52800.6	31381.5	32244.1	23849.2	33821.6
12	EIF4G2	16327.5	17863.4	19487.6	18285.3	17990.95	21726.9	14281.6	16651.5	16693.4	15364.4	16759.9
13	EIF3D	10953.2	8996.68	8963.19	10148.2	9765.3175	14367.8	15801.9	14729.3	12952.5	7791.55	14112.18
14	PARK7	18623.2	14293	13304.8	14513.5	15183.625	24163.1	38110.3	21748.2	22081.1	15706	23718.1
15	SRP14	20353.9	15336	14857.6	16729.2	16819.175	19541.2	27969.4	17890.4	16671.9	18281	19696.0
16	GDI2	6869.57	5431.04	5181.35	6843.82	6081.445	11520.7	10094.3	8441.11	10166	4928.29	8849.39
17	GDI2	21512.4	16417.2	16955.3	18379.2	18316.025	26065.1	25242	24875	21950.1	15289.2	22176.5
18	GDI2	21512.4	16417.2	16955.3	18379.2	18316.025	26065.1	25242	24875	21950.1	15289.2	22176.5
22645	0	38254.7	37159.8	43785.6	36672.7	38968.2	20882.9	30471.2	20336.1	20047.3	35138.5	22509.6
22646	0	42837.2	36829.7	35670.2	35287.5	37656.15	21032.1	30563.2	22059.6	20152.4	32994.4	22402.6
22647	0	79.1604	12.7279	41.3633	18.0001	37.812925	17.7501	16.395	34.0159	15.3018	18.125	25.2787
22648	0	17.8849	20.5469	23.4357	22.9947	21.21555	40.666	39.5684	16.8866	39.0434	25.0894	25.9362
22649	0	23.0088	66.8013	20.3731	49.0391	39.805575	13.6303	22.4732	37.0269	11.8996	78.6133	37.73432
22650	0	17.9376	65.697	16.0325	17.1515	29.20465	6.10967	40.7314	14.7814	9.56866	9.49035	15.72663
22651	0	49.6459	38.966	27.6262	24.8047	35.2607	11.0227	33.3626	13.3985	49.5249	113.711	49.3767
22652	0	16.7054	13.6016	25.0706	15.6031	17.745175	8.28136	24.0412	14.6872	24.5697	15.948	14.38676
22653												

รูปที่ 3 ข้อมูลการแสดงออกของยีนกลุ่มคนปกติ และกลุ่มผู้ป่วยโรคข้อเข่าเสื่อม

2.1 คัดเลือกยีนโดยอาศัยค่าความแตกต่างทางสถิติเท่านั้น

คัดเลือกยีนที่เกี่ยวข้องกับการเจริญของกระดูกอ่อนจากการแสดงออกของยีนในเซลล์กระดูกอ่อน (accession number GPL570 series: GSE16464) ของกลุ่มประชากรผู้ป่วยโรคข้อเข่าเสื่อมจำนวน 10 คน และกลุ่มประชากรปกติจำนวน 4 คน และในเซลล์เยื่อรอบข้อ (accession number GPL96 series: GSE12021) ของกลุ่มประชากรผู้ป่วยโรคข้อเข่าเสื่อมจำนวน 10 คน และกลุ่มประชากรปกติ 9 คน โดยจะใช้ยีนที่มีการแสดงออกแตกต่างกันระหว่างกลุ่มผู้ป่วยโรคข้อเข่าเสื่อมและกลุ่มประชากรปกติที่ความเชื่อมั่นมากกว่า 99 % จากนั้นคัดเลือกยีนซึ่งเป็นยีนเดียวกันจากทั้ง 2 กลุ่ม เพื่อใช้ในการศึกษาการแสดงออกในขั้นตอนต่อไป

2.2 คัดเลือกยีนโดยอาศัยค่าความแตกต่างทางสถิติ ประกอบกับการวิเคราะห์ค่าการจับที่แตกต่างกันของโพรบ (probe folding)

คัดเลือกยีนที่เกี่ยวข้องกับการเจริญของกระดูกอ่อนจากการแสดงออกของยีนในเซลล์เยื่อรอบข้อ (accession number GSE12021) ที่มีการแสดงออกแตกต่างกันระหว่างกลุ่มผู้ป่วยโรคข้อเข่าเสื่อม และกลุ่มคนปกติที่ระดับความเชื่อมั่นมากกว่า 99 % จากนั้นคัดเลือกเฉพาะยีนที่มีค่าการจับของโพรบมากกว่า 300 relative fluorescence unit (RFU) และมีค่าการจับของโพรบแตกต่างกันมากกว่า 5 เท่าระหว่างกลุ่มผู้ป่วยโรคข้อเข่าเสื่อม และกลุ่มคนปกติ

3. การเตรียมตัวอย่างชีโนไวโอไรต์ชนิดบีที่ใช้ในการวิจัย

น้ำข้อเข่าถูกเก็บจากการผ่าตัดเปลี่ยนผิวข้อเข่าในผู้ป่วยโรคข้อเข่าเสื่อมซึ่งถูกวินิจฉัยโดยแพทย์ผู้เชี่ยวชาญด้านศัลยกรรมกระดูก จำนวน 24 คนและกลุ่มควบคุมจากการผ่าตัดต้องกล้องรักษาโรคเอ็นไขว้หน้าขาซึ่งเกิดจากอุบัติเหตุ จำนวน 5 คน จากโรงพยาบาลธรรมศาสตร์เฉลิมพระเกียรติ โดยนำมาสกัดเพื่อเลี้ยงเซลล์ภายในระยะเวลา 24 ชั่วโมง

3.1 การเริ่มต้นเลี้ยงชีโนไวโอไรต์ชนิดบีจากน้ำข้อเข่า(ดัดแปลงจาก Scanu *et al.*, 2007)

ชีโนไวโอไรต์ชนิดบีจะถูกแยกจากน้ำข้อเข่าภายในตู้ปลอดเชื้อ (การเติมหรือทิ้งสารต่าง ๆ ในการเลี้ยงเซลล์ต้องทำในตู้เชื้อเพื่อป้องกันการปนเปื้อน) โดยก่อนใช้งานต้องเช็ดทำความสะอาดตู้ปลอดเชื้อด้วย 70 % แอลกอฮอล์ และเปิดแสง UV เป็นเวลา 15 นาที ขั้นแรกลดความหนืดของน้ำข้อเข่าด้วย PBS ในอัตราส่วนน้ำข้อเข่า 1 ส่วน ต่อ PBS 1 ส่วนวอร์เท็กซ์ให้เข้ากัน จากนั้นปั่นเหวี่ยงที่ความเร็วรอบ 14,000 รอบต่อนาที เป็นเวลา 10 นาที เทของเหลวทิ้ง และเติม DMEM (ประกอบด้วย

FBS เข้มข้น 10 % Pen-Strep เข้มข้น 1 % และ FGF เข้มข้น 4 นาโนกรัมต่อมิลลิลิตร) ปริมาตร 1 มิลลิลิตร ลงในตัวอย่างตะกอนเซลล์ที่ได้ โดยใช้ปิเปตขนาด P1000 ดูดขึ้นลงเพื่อให้ตะกอนกระจายออกจากกัน นำไปเลี้ยงในงานเลี้ยงเซลล์แบบ 12 หลุม ซึ่งมีอาหารเลี้ยงเซลล์อยู่ 1 มิลลิลิตร รวมปริมาตร 2 มิลลิลิตร เอียงงานเลี้ยงเซลล์วนสลับไปมาเพื่อให้เซลล์กระจายทั่วหลุม และนำงานเลี้ยงเซลล์ไปใส่ในตู้เลี้ยงเซลล์ที่มีสภาวะความหนาแน่นของก๊าซคาร์บอนไดออกไซด์ 5 % ที่อุณหภูมิ 37 องศาเซลเซียส หลังจากเสร็จการใช้งานทุกครั้งจะเช็ดทำความสะอาดตู้ปลอดเชื้อด้วย 70 % แอลกอฮอล์ และเปิดแสง UV เป็นเวลา 30 นาที (ในระหว่างใช้ตู้ปลอดเชื้อหากต้องนำอุปกรณ์หรือสารเคมีเข้าไปต้องเช็ดด้วย 70 % แอลกอฮอล์เสมอ)

3.2 การเพาะเลี้ยงชิโนไวรัสชนิดบี

ทำการเปลี่ยนอาหารให้ชิโนไวรัสชนิดบีที่อยู่ในงานเลี้ยงเซลล์ ทุก ๆ 2-3 วัน โดยใช้ปิเปตขนาด P1000 ดูดอาหารทิ้ง 1 มิลลิลิตร เพื่อกำจัดเซลล์ที่ไม่สามารถเกาะพื้นผิวได้ ซึ่งไม่ใช่ชิโนไวรัสชนิดบีที่เป็นเซลล์ชนิดเกี่ยวพัน และใส่อาหารเลี้ยงเซลล์ใหม่ปริมาตร 1 มิลลิลิตร จากนั้นนำงานเลี้ยงเซลล์ไปใส่ในตู้เลี้ยงเซลล์ที่มีสภาวะความหนาแน่นของก๊าซคาร์บอนไดออกไซด์ 5 % ที่อุณหภูมิ 37 องศาเซลเซียส ทำซ้ำจนกว่าชิโนไวรัสชนิดบีจะเต็มกันหลุม

จากนั้นย้ายเซลล์ไปเลี้ยงต่อในพลาสติกเลี้ยงเซลล์ขนาดหน้าตัด 25 ตารางเซนติเมตร (T25-Flask) โดยดูดอาหารเลี้ยงเซลล์จากหลุมทิ้ง แล้วใส่ PBS ปริมาตร 1 มิลลิลิตร เอียงงานเลี้ยงเซลล์วนสลับไปมาเพื่อดึงอาหารเลี้ยงเซลล์ที่มี FBS อยู่ออกจนหมด ดูดของเหลวทิ้งด้วยปิเปตขนาด P1000 ทำซ้ำ 1-2 ครั้ง จากนั้นเติม Trypsin-EDTA 200 ไมโครลิตร บ่มในตู้เลี้ยงเซลล์ 5 นาที เพื่อให้เซลล์หลุดจากกันหลุม เติมอาหารเลี้ยงเซลล์ 1.8 มิลลิลิตร เพื่อยับยั้งการทำงานของ Trypsin-EDTA โดยผสมให้เข้ากัน โดยดูดขึ้นลงจนกว่าเซลล์จะแยกออกจากกัน โดยดูผ่านกล้องจุลทรรศน์ชนิดหัวกลับ จากนั้นย้ายเซลล์ที่ได้ไปใส่ T25-Flask ที่มีอาหารเลี้ยงเซลล์อยู่ 3 มิลลิลิตร รวมปริมาตร 5 มิลลิลิตร เอียงสลับไปมาเพื่อให้ผสมเป็นเนื้อเดียวกันในทิศทางแนวนอน โดยพยายามให้ไม่ให้อาหารขึ้นไปติดด้านบน และบริเวณฝาที่มีกระดาหกรองของพลาสติกเลี้ยงเซลล์เพื่อป้องกันการปนเปื้อน โดยเซลล์ในชุดนี้นับเป็น passage 1 เปลี่ยนอาหารเลี้ยงเซลล์ทุก ๆ 2-3 วัน โดยดูดอาหารเก่าทิ้งหมดทิ้ง และใส่อาหารใหม่ปริมาตร 5 มิลลิลิตร เมื่อเซลล์มีปริมาณเต็ม T25-Flask จึงย้ายเซลล์ไปเลี้ยงต่อในพลาสติกเลี้ยงเซลล์ขนาดหน้าตัด 75 ตารางเซนติเมตร (T75-Flask) โดยทำตามขั้นตอนการย้ายเซลล์ข้างต้น แต่ปรับปริมาณสารที่ใช้ในขั้นตอนต่าง ๆ คือ ในขั้นตอนล้างเซลล์ใช้ PBS 3 มิลลิลิตร และในขั้นตอนการทำให้เซลล์หลุดใช้

Trypsin-EDTA 0.5 มิลลิตร ซึ่งเซลล์ชุดนี้นับเป็น passage ที่ 2 จากนั้นเปลี่ยนอาหารปริมาตร 12 มิลลิตร ทุก 2-3 วัน จนเซลล์มีปริมาณเต็มก้นฟลาस्क จึงย้ายเซลล์ลง T75-Flask จำนวน 3 ฟลาस्क และนับเป็น passage ที่ 3 ซึ่งจะมีปริมาณเซลล์มากพอที่จะใช้ในการวิเคราะห์การแสดงออกของยีน และการเกิดเมทิลเลชันบนโปรโมเตอร์ของยีน

4. ศึกษาการแสดงออกของยีนที่เกี่ยวข้องกับการเจริญของกระดูกอ่อนในชิโนไวรัสชนิดบีของผู้ป่วยโรคข้อเข่าเสื่อม

4.1 การสกัดอาร์เอ็นเอ

หลังจากที่ชิโนไวรัสชนิดบีมีปริมาณมากพอ (passage ที่ 3 มีปริมาณชิโนไวรัสชนิดบีประมาณ 12 ล้านเซลล์ T75-Flask 1 ฟลาस्क) ในการสกัดอาร์เอ็นเอโดยใช้ชุดสกัดสำเร็จรูป innuPREB RNA Mini Kit (AnalytikJena, Germany) ขั้นแรกตกตะกอนชิโนไวรัสชนิดบีตามขั้นตอนการย้ายเซลล์ แต่ไม่ต้องย้ายลงฟลาस्कเลี้ยงเซลล์ โดยนำไปปั่นตกตะกอนที่ความเร็ว 14,000 รอบต่อนาทีเป็นเวลา 5 นาที เทของเหลวทิ้ง จากนั้นเติมบัฟเฟอร์ RL ปริมาตร 400 ไมโครลิตร บนตะกอนเซลล์ที่ได้เพื่อย่อยเซลล์ บ่มที่อุณหภูมิห้อง 2 นาที ผสมให้เข้ากันโดยใช้วอร์เท็กซ์จนตะกอนเซลล์กระจายออกจากกัน บ่มที่อุณหภูมิห้องอีก 3 นาที จากนั้นนำของเหลวทั้งหมดใส่ใน Spin Filter D ที่ซ้อนอยู่บน Receiver Tube นำไปปั่นเหวี่ยงที่ความเร็ว 12,000 รอบต่อนาที นาน 2 นาที เพื่อกรองจีโนมดีเอ็นเอทิ้ง เดิม 70 % เอทานอล 400 ไมโครลิตร ลงในของเหลวที่อยู่ใน Receiver Tube ใช้ปิเปตขนาด P1000 ดูดขึ้นลงจนเป็นเนื้อเดียวกัน และย้ายลง Spin Filter R ที่ซ้อนอยู่บน Receiver Tube อันใหม่ ปั่นเหวี่ยงที่ความเร็ว 12,000 รอบต่อนาที นาน 2 นาที เทของเหลวทิ้ง จากนั้นเติมบัฟเฟอร์ HS ปริมาตร 500 ไมโครลิตร ลงบน Spin Filter R ซึ่งนำมาซ้อนอยู่บน Receiver Tube หลอดเดิมนำไปปั่นเหวี่ยงที่ความเร็ว 12,000 รอบต่อนาที นาน 1 นาที เทของเหลวทิ้ง เดิมบัฟเฟอร์ LS ปริมาตร 750 ไมโครลิตร บน Spin Filter R ซึ่งซ้อนอยู่บน Receiver Tube หลอดเดิม ปั่นเหวี่ยงที่ความเร็ว 12,000 รอบต่อนาที นาน 1 นาที ย้าย Spin Filter R ไปซ้อนกับ Receiver Tube หลอดใหม่ ปั่นเหวี่ยงที่ความเร็ว 12,000 รอบต่อนาที นาน 3 นาที ย้าย Spin Filter R ซ้อนบน Elution Tube จากนั้นเติม RNase-free water ปริมาตร 30 ไมโครลิตร ลงบนตัวกรองของ Spin Filter R โดยตรงเพื่อให้ได้อาร์เอ็นเอในรูปของสารละลาย บ่ม 1 นาที ที่อุณหภูมิห้อง เมื่อครบเวลานำไปปั่นเหวี่ยงที่ความเร็ว 8,000 รอบต่อนาที นาน 1 นาที จากนั้นนำไปวัดปริมาณของอาร์เอ็นเอด้วยเครื่องวัดการดูดกลืนแสงเพื่อใช้ในขั้นตอนต่อไป และเก็บสารละลายอาร์เอ็นเอไว้ในตู้ -80 องศาเซลเซียส เพื่อป้องกันการเสื่อมสภาพของอาร์เอ็นเอ

4.2 Reverse transcription polymerase chain reaction (RT-PCR)

เปลี่ยนสายอาร์เอ็นเอที่ได้ในข้อ 4.1 ให้เป็นดีเอ็นเอคู่สม (complementary DNA, cDNA) โดยชุดสำเร็จรูป SuperScript™ III First-Strand Synthesis System for RT-PCR (Invitrogen, USA) ซึ่งมีขั้นตอนดังนี้ ขั้นแรกนำไพรเมอร์ (random hexamers) ปริมาตร 1 ไมโครลิตร และ dNTPs Mix ปริมาตร 1 ไมโครลิตรรวมกับสายอาร์เอ็นเอ โดยใช้อาร์เอ็นเอปริมาณ 50 นาโนกรัมต่อปฏิกิริยา จากนั้นปรับปริมาตรเป็น 10 ไมโครลิตร ด้วย DEPC-treated water นำไปให้ความร้อนที่ 65 องศาเซลเซียส นาน 5 นาที ด้วยเครื่อง PCR จากนั้นแช่น้ำแข็งนาน 1 นาที แล้วเติมสารละลายผสม (ประกอบด้วย RT Buffer 2 ไมโครลิตร MgCl₂ 4 ไมโครลิตร DTT 2 ไมโครลิตร RNaseOUT™ 1 ไมโครลิตร และ SuperScript™ III RT 1 ไมโครลิตร) ปริมาตร 10 ไมโครลิตร รวมปริมาตร 20 ไมโครลิตร ใช้ปิเปตขนาด P20 ดูดสารขึ้นลงจนเป็นเนื้อเดียวกัน จากนั้นนำเข้าเครื่อง PCR ที่อุณหภูมิ 25 องศาเซลเซียส นาน 10 นาที เพื่อให้ไพรเมอร์สามารถเข้าจับที่อาร์เอ็นเอต้นแบบ ต่อมาเปลี่ยนอุณหภูมิเป็น 50 องศาเซลเซียส นาน 60 นาที เพื่อให้เกิดการสังเคราะห์ลำดับนิวคลีโอไทด์คู่สม และขึ้นสุดท้ายเปลี่ยนอุณหภูมิเป็น 85 องศาเซลเซียส นาน 5 นาที เพื่อหยุดการทำงานของเอนไซม์ SuperScript™ III RT จากนั้นเติม RNaseH ปริมาตร 1 ไมโครลิตร และบ่มด้วยเครื่อง PCR ที่อุณหภูมิ 37 องศาเซลเซียส นาน 20 นาที เพื่อกำจัดสายอาร์เอ็นเอ แล้วเก็บไว้ที่ -20 องศาเซลเซียสเพื่อใช้ในการศึกษาขั้นต่อไป

4.3 Real-time PCR

4.3.1 การออกแบบไพรเมอร์

cDNAของกลุ่มผู้ป่วยโรคข้อเข่าเสื่อม และกลุ่มควบคุมถูกใช้ในการศึกษาการแสดงออกของยีนที่เกี่ยวข้องกับการสังเคราะห์กระดูกอ่อนซึ่งการออกแบบไพรเมอร์อ้างอิงลำดับนิวคลีโอไทด์ของสายเอ็มอาร์เอ็นเอในยีนที่สนใจจากฐานข้อมูล NCBI และตรวจสอบตำแหน่งจับของชุดโพรบจากข้อมูลชีวสารสนเทศที่ทำให้เกิดการแสดงออกแตกต่างกันระหว่างกลุ่มผู้ป่วยโรคข้อเข่าเสื่อม และกลุ่มคนปกติ จากนั้นออกแบบไพรเมอร์ด้วยโปรแกรม Primer3 (<http://frodo.wi.mit.edu/>) ตามคำแนะนำของกลุ่มการใช้งาน SsoFast™ EvaGreen® Supermix โดยกำหนดขนาดของผลผลิต PCR ไม่เกิน 200 นิวคลีโอไทด์และขนาดของไพรเมอร์ไม่เกิน 25 นิวคลีโอไทด์ (ไพรเมอร์ดังตารางที่ 1) ซึ่งเป็นยีนที่เกี่ยวข้องกับการเจริญของกระดูกอ่อนที่ได้จากการวิเคราะห์ด้วยเทคนิคชีวสารสนเทศ และใช้ *glyceraldehyde 3-phosphate dehydrogenase (GAPDH)* เป็นยีนควบคุมจากนั้นนำไพรเมอร์ที่ได้มา

ตรวจสอบความจำเพาะต่อยีน ด้วยโปรแกรม BLAST (www.ncbi.nih.gov) และส่งข้อมูลไพรเมอร์เพื่อ
สังเคราะห์ที่บริษัท Biodesign (Thailand)

ตารางที่ 1 ลำดับนิวคลีโอไทด์ของไพรเมอร์สำหรับ real-time PCR และความเข้มข้นที่ใช้ในปฏิกิริยา

ชื่อยีน	ลำดับนิวคลีโอไทด์ของไพรเมอร์ (5' → 3')	ความเข้มข้น (nM)	Accession number
<i>EBP</i>	F : GAAGACCAAGCCTTCTTATCTC	400	NM_006579
	R : TGTAGAATGAAGCGGAGGG	400	
<i>PPAPDC1B</i>	F : CTCTACCCTATGCTTGTT	350	NM_001102560.1
	R : AAGGCTCAGACTTGTTAA	350	
<i>IMPAD1</i>	F : CTTTCATTATCTTCAGACACTT	450	NM_017813.4
	R : AGCAACCATACTCATTCTT	450	
<i>FIBIN</i>	F : GCTAATTCTTACTCTCACCTT	150	NM_203371.1
	R : TTAGACAGTTCATAGGAATGG	150	
<i>GAPDH</i>	F : GAAGGTGAAGGTCGGAGTC	250	NM_001256799.1
	R : GAAGATGGTGATGGGATTTC	250	

4.3.2 การทดสอบประสิทธิภาพของปฏิกิริยา (Efficiency)

การทดสอบประสิทธิภาพของปฏิกิริยา PCR คือการพิจารณากราฟมาตรฐาน (standard curve) ที่ได้ ว่าสามารถใช้อธิบายความสัมพันธ์ระหว่างรอบของ PCR (cycle) ที่ทำให้ได้ปริมาณผลผลิตที่ต้องการ (threshold of product) หรือที่เรียกว่า Ct cycle และความเข้มข้นของสารพันธุกรรมต้นแบบ (template) ในปฏิกิริยานั้น โดยคำนวณค่าร้อยละของ efficiency ตามสมการที่ 1 ค่าที่ได้ควรมีค่าใกล้เคียง 100 % ซึ่งจะแสดงว่า ปริมาณดีเอ็นเอจะเพิ่มขึ้นใกล้เคียงสองเท่า ในแต่ละรอบของปฏิกิริยา PCR ตามทฤษฎีการเพิ่มปริมาณของผลผลิตแบบเอ็กซ์โพเนนเชียล (exponential)

สมการที่ 1 ร้อยละประสิทธิภาพของปฏิกิริยาพีซีอาร์ในแต่ละคู่ไพรเมอร์

$$\% \text{ Efficiency} = (10^{-1/\text{slope}} - 1) \times 100\%$$

เมื่อ E คือ ประสิทธิภาพของปฏิกิริยาพีซีอาร์ในแต่ละคู่ไพรเมอร์

Slope คือ ความชันของกราฟ

ทดสอบประสิทธิภาพของปฏิกิริยาโดยการสร้างกราฟมาตรฐานด้วย CFX96™ (Bio-Rad, USA) โดยใช้ cDNA เข้มข้น 1x (กำหนดให้ cDNA จากการทำ RT-PCR โดยใช้ปริมาณอาร์เอ็นเอตั้งต้น 50 นาโนกรัมมีค่าความเข้มข้นเท่ากับ 1x) นำมาละลายด้วยน้ำกลั่นให้มีความเข้มข้นเป็น 1/2x 1/4x 1/8x 1/16x และ 1/32x แต่ละตัวอย่างทำปฏิกิริยา 3 ซ้ำโดยใช้สารตามตารางที่ 2 และใช้ความเข้มข้นของไพรเมอร์ตามตารางที่ 1 ในปฏิกิริยาตั้งโปรแกรมสำหรับขั้นตอนเพิ่มปริมาณดีเอ็นเอในปฏิกิริยาพีซีอาร์ดังนี้

initial denaturation ที่อุณหภูมิ 95 องศาเซลเซียส นาน 30 วินาทีเพื่อให้ cDNA แยกออกจากกันอย่างสมบูรณ์ และเพื่อกระตุ้นการทำงานของ DNA polymerase ใน SsoFast™ EvaGreen® Supermix ตามด้วย denature ที่อุณหภูมิ 95 องศาเซลเซียส นาน 5 วินาทีจากนั้น annealing/extension ที่อุณหภูมิ 56 องศาเซลเซียสสำหรับ *IMPAD1 EBP* และ *PPAPDC1B* หรืออุณหภูมิ 60 องศาเซลเซียส สำหรับ *FIBIN* นาน 5 วินาทีจำนวน 40 รอบ และ meltingphase เริ่มต้นที่อุณหภูมิ 65 องศาเซลเซียส จนถึงอุณหภูมิ 95 องศาเซลเซียส โดยเพิ่มอุณหภูมิ 0.5 องศาเซลเซียสต่อ 1 ขั้นตอน melting phase ซึ่งใช้เวลาขั้นตอนละ 2-5 วินาที เพื่อสร้าง meltcurve สำหรับตรวจสอบผลิตภัณฑ์ที่ได้

วิเคราะห์ค่าประสิทธิภาพของปฏิกิริยาด้วย Bio-Rad CFX Manager (Bio-Rad, USA) โดยอาศัยค่าค่าสัมประสิทธิ์การตัดสินใจ (coefficient of determination, r^2) โดย r^2 ควรีค่าเข้าใกล้ 1 ซึ่งแสดงให้เห็นว่าจุดข้อมูลส่วนใหญ่มีความสัมพันธ์กันในแนวเส้นตรงทำให้ค่าประสิทธิภาพของปฏิกิริยามีความน่าเชื่อถือยิ่งขึ้น จากนั้นใช้สถานะที่มีค่าประสิทธิภาพของปฏิกิริยาที่อยู่ในช่วงใกล้เคียง 100 % ในการศึกษาการแสดงออกของยีน

ตารางที่ 2 สารประกอบปฏิกิริยา real-time PCR

ชนิดของสาร	ปริมาตร (ไมโครลิตร)	ความเข้มข้นสุดท้าย
1. SsoFast™ EvaGreen® Supermix	10.0	
2. 5 µM Forward primer	} เปลี่ยนแปลงตามความเข้มข้น ในตารางที่ 1	150-400nM
3. 5 µM Reverse primer		150-400 nM
4. Distilled water		
5. cDNA	ปรับปริมาตรเป็น 20	
รวมปริมาตร	20.0	

4.3.3 การวิเคราะห์ผลการแสดงออกของยีน

ศึกษารูปแบบการแสดงออกของยีนแบบ comparative quantification โดยวิธี $2^{-\Delta\Delta C_t}$ เพื่อเปรียบเทียบการแสดงออกของยีน *IMPAD1* *EBP* *PPAPDC1B* และ *FIBIN* ซึ่งอยู่ในรูป C_t ระหว่างกลุ่มผู้ป่วยโรคข้อเข่าเสื่อม และกลุ่มควบคุม โดยขั้นแรกทำการ normalize โดยใช้ค่า C_t ของยีน *GAPDH* ซึ่งเป็น housekeeping gene และคำนวณหาระดับการแสดงออกของยีนในแต่ละตัวอย่าง ตามสมการที่ 2 จากนั้นเปรียบเทียบการแสดงออกของยีนระหว่างกลุ่มผู้ป่วยโรคข้อเข่าเสื่อม และกลุ่มควบคุม โดยวิเคราะห์ผลทางสถิติด้วย z test ที่ความเชื่อมั่นมากกว่า 95 %

สมการที่ 2 Comparative quantification

$$\begin{aligned}
 \text{Fold difference} &= 2^{-\Delta\Delta C_t} \\
 &= 2^{-(\Delta C_t(\text{test}) - \Delta C_t(\text{calibrator}))} \\
 &= 2^{-[(C_t(\text{target, test}) - C_t(\text{ref, test})) - (C_t(\text{target, calibrator}) - C_t(\text{ref, calibrator}))]}
 \end{aligned}$$

เมื่อ $C_t(\text{target, test})$ คือ C_t ของยีนเป้าหมายจากผู้ป่วยโรคข้อเข่าเสื่อม

$C_t(\text{ref, test})$ คือ C_t ของ *GAPDH* จากผู้ป่วยโรคข้อเข่าเสื่อม

$C_t(\text{target, calibrator})$ คือ C_t ของยีนเป้าหมายจากกลุ่มควบคุม

$C_t(\text{ref, calibrator})$ คือ C_t ของ *GAPDH* จากกลุ่มควบคุม

5. ศึกษาการเกิดเมทิลเลชันบนโปรโมเตอร์ของยีนที่เกี่ยวข้องกับการเจริญของกระดูกอ่อนในผู้ป่วยโรคข้อเข่าเสื่อม

5.1 การสกัดดีเอ็นเอ

สกัดดีเอ็นเอจากตะกอนของชีโนวิโอไฮต์ชนิดบีที่ได้จากการเลี้ยงเซลล์ด้วยชุดสกัดสำเร็จรูป innuPREB Blood DNA Mini Kit (AnalytikJena, Germany) ขึ้นแรกละลายตะกอนเซลล์ด้วยน้ำกลั่น ปริมาตร 200 ไมโครลิตร วอร์เท็กซ์จนเป็นเนื้อเดียวกัน จากนั้นย้ายใส่ใน Lysis Tube วอร์เท็กซ์ 5 วินาที (หรือจนกว่าตะกอนที่ก้น Lysis Tube จะละลาย) บ่มที่ 70 องศาเซลเซียส นาน 30 นาที เพื่อให้ Lysis Buffer สามารถทำงานได้ดี จากนั้นเติม Precipitation Buffer ปริมาตร 75 ไมโครลิตร ผสมให้เป็นเนื้อเดียวกันโดยวอร์เท็กซ์ นาน 10 วินาที แล้วปั่นเหวี่ยงที่ความเร็วสูงสุด นาน 3 นาที เพื่อตกตะกอนโปรตีน ดูดส่วนที่เป็นของเหลวย้ายลงบนหลอดชนิด microcentrifuge ขนาด 1.5 มิลลิลิตร เติมน้ำ 70 % เอทานอล ปริมาตร 500 ไมโครลิตร แล้วผสมให้เป็นเนื้อเดียวกัน จากนั้นย้ายลง Spin Filter D ที่ซ่อนอยู่บน Receiver Tube นำไปปั่นเหวี่ยงที่ความเร็ว 12,000 รอบต่อนาที นาน 2 นาที เพื่อกรองจีโนมิกดีเอ็นเอ เทของเหลวใน Receiver Tube ที่ทิ้ง และเติม MS Buffer ลงบน Spin Filter D ปั่นเหวี่ยงที่ความเร็ว 12,000 รอบต่อนาที นาน 1 นาที เพื่อล้างตะกอนดีเอ็นเอที่ได้ เปลี่ยน Receiver Tube ใหม่ ปั่นเหวี่ยงที่ความเร็วสูงสุดนาน 2 นาที เพื่อกำจัดเอทานอล ย้าย Spin Filter D ซ่อนลงบน Elution Tube จากนั้นเติม Elution Buffer ปริมาตร 50 ไมโครลิตร ลงบนแผ่นกรองของ Spin Filter D โดยตรง บ่มที่อุณหภูมิห้อง 3 นาที และปั่นเหวี่ยงที่ความเร็ว 10,000 รอบต่อนาที นาน 1 นาที เก็บที่ -20 องศาเซลเซียสเพื่อใช้ในการทดลองต่อไป

5.2 Bisulfite converted treatment

การศึกษาการเกิดเมทิลเลชันบนโปรโมเตอร์ของยีน จะใช้ชุดสารเคมีสำเร็จรูป EZ DNA Methylation Gold™ Kit (ZYMO RESEARCH, USA) โดยจะเปลี่ยนไซโตซีน (cytosine) ทุกตัวที่ไม่มีการเติมหมู่เมทิลให้เป็นยูราซิล (uracil) โดยแบ่งเป็น 2 ขั้นตอนดังนี้ ขึ้นแรกเติม CT Conversion Reagent ปริมาตร 130 ไมโครลิตร ลงในหลอดชนิด microcentrifuge ขนาด 0.2 มิลลิลิตรต่อปฏิกิริยา โดยใช้ดีเอ็นเอ 500 นาโนกรัมต่อปฏิกิริยา (ไม่ควรใช้เกิน 2 ไมโครกรัมเนื่องจากจะเปลี่ยนไซโตซีนเป็นยูราซิลได้ไม่สมบูรณ์) และปรับปริมาตรให้เป็น 150 ไมโครลิตรด้วยน้ำกลั่น กลับหลอดไปมาเพื่อให้เป็นเนื้อเดียวกัน จากนั้นนำเข้าเครื่อง PCR โดยขึ้นแรกที่อุณหภูมิ 98 องศาเซลเซียส นาน 10 นาที เพื่อคลายสายดีเอ็นเอ ต่อมาอุณหภูมิ 53 องศาเซลเซียส นาน 4 ชั่วโมง เพื่อเปลี่ยนไซโตซีนที่ไม่มีการเติมหมู่

เมทิลให้เป็นยูราซิลขั้นที่ 2 เติม M-Binding Buffer ปริมาตร 600 ไมโครลิตร ลงใน Zymo-Spin™ IC Column และซ้อนบน Collection Tube ใส่ตัวอย่างที่ได้จากขั้นแรกลงในคอลัมน์ที่มี M-Binding Buffer กลับหลอดไปมาเพื่อให้เป็นเนื้อเดียวกัน จากนั้นปั่นเหวี่ยงที่ความเร็วสูงสุดนาน 30 วินาที เมื่อครบเวลา เทส่วนของเหลวทิ้ง เติม M-Wash Buffer ปริมาตร 100 ไมโครลิตรลงในคอลัมน์ที่ซ้อนอยู่บน Collection Tube ปั่นเหวี่ยงที่ความเร็วสูงสุดนาน 30 วินาที เทของเหลวทิ้ง ต่อมาเติม M-Desulphonation Buffer ปริมาตร 200 ไมโครลิตรลงบนคอลัมน์ที่ซ้อนบน Collection Tube บ่มที่อุณหภูมิห้อง (20-30 องศาเซลเซียส) นาน 15-20 นาที เมื่อครบเวลาปั่นเหวี่ยงที่ความเร็วสูงสุดนาน 30 วินาที เทของเหลวทิ้ง จากนั้นเติม M-Wash Buffer ปริมาตร 200 ไมโครลิตร ลงบนคอลัมน์ที่ซ้อนอยู่บน Collection Tube ปั่นเหวี่ยงที่ความเร็วสูงสุดนาน 30 วินาที เพื่อล้างดีเอ็นเอ ทำการล้างด้วย M-Wash Buffer ซ้ำประมาณ 1-2 รอบ จากนั้นย้ายคอลัมน์ไปซ้อนบนหลอดชนิด microcentrifuge ขนาด 1.5 มิลลิลิตร ใส่ M-Elution Buffer ปริมาตร 10 ไมโครลิตร ลงบนตัวกรองของคอลัมน์โดยตรงเพื่อละลายดีเอ็นเอ ปั่นเหวี่ยงที่ความเร็วสูงสุดนาน 30 วินาที เก็บที่ -20 องศาเซลเซียส เพื่อใช้ในการศึกษาขั้นต่อไป

5.3 โปรแกรมสำหรับตรวจสอบการเกิดเมทิลเลชันบนโปรโมเตอร์ของยีน

ขั้นแรกนำลำดับนิวคลีโอไทด์จากฐานข้อมูล NCBI วิเคราะห์หาตำแหน่งโปรโมเตอร์ของยีน ด้วยโปรแกรม Promoter 2.0 Prediction Server (www.cbs.dtu.dk/services/Promoter/) เนื่องจากดีเอ็นเอที่ได้จากการทำ bisulfite converted treatment นิวคลีโอไทด์ไซโตซีนจะถูกเปลี่ยนเป็นยูราซิล จึงต้องทำการเปลี่ยนลำดับนิวคลีโอไทด์ที่ได้จากฐานข้อมูลให้สอดคล้องกับดีเอ็นเอดังกล่าว โดยเลือกบริเวณที่มี CpG island ซึ่งใกล้กับตำแหน่งโปรโมเตอร์เพื่อเปลี่ยนนิวคลีโอไทด์ไซโตซีนที่ไม่ใช่ CpG ทั้งหมดให้เป็นไทมีน (thymine, T) ตามคำแนะนำของกลุ่มการใช้ EZ DNA Methylation Gold™ Kit ใน Bisulfite Primer Seeker Program (www.zymoresearch.com/tools/bisulfite-primer-seeker) จากนั้นนำลำดับนิวคลีโอไทด์ที่ได้ออกแบบโปรแกรมด้วยโปรแกรม Primer3 (<http://frodo.wi.mit.edu/>) โดยผลผลิต PCR ที่ได้ควรมีขนาดอยู่ในช่วง 50-200 นิวคลีโอไทด์ โดยแทนที่ลำดับนิวคลีโอไทด์ไซโตซีนบนตำแหน่ง CpG ของ forward primer ด้วย Y (Y=C/T) และแทนที่ลำดับนิวคลีโอไทด์กวานีน (guanine, G) บนตำแหน่ง CpG ของ reverse primer ด้วย R (R=A/G) ดังรูปที่ 4

5.4 Pyrosequencing

ส่งตรวจเปอร์เซ็นต์การเกิดเมทิลเลชันบนโปรโมเตอร์ ของยีนเปรียบเทียบระหว่างกลุ่มผู้ป่วยโรคข้อเข่าเสื่อม และในกลุ่มควบคุมด้วยเทคนิค pyrosequencing ที่ iScience Technology co., ltd.

ตารางที่ 4 สภาวะในการทำ HS-PCR

ขั้นตอน	อุณหภูมิ (องศาเซลเซียส)	ระยะเวลา
Pre-denaturation	95	5 นาที
Denaturation	95	15 วินาที
Annealing	56	15 วินาที
Extention	72	15 วินาที
Final extention	72	5 นาที

6. ศึกษาความสัมพันธ์ระหว่างระดับการแสดงออก และการเกิดเมทิลเลชันบนโปรโมเตอร์ของยีน

วิเคราะห์ค่าความสัมพันธ์ระหว่างระดับการแสดงออก และการเกิดเมทิลเลชันบน โปรโมเตอร์

ของยีน ด้วยสถิติ Pearson correlation โดยใช้โปรแกรม SPSS statistic 17.0 (IBM Corporation, USA)

ซึ่งเป็นการวิเคราะห์ความสัมพันธ์ระหว่างตัวแปรคู่หนึ่งว่ามีความสัมพันธ์กันในเชิงเส้นตรงหรือไม่ มีความสัมพันธ์ในทิศทางใด มีค่าความสัมพันธ์เป็นเท่าไร และมีค่าความน่าเชื่อถือเป็นที่ยอมรับได้ทางสถิติหรือไม่

บทที่ 4

ผลการศึกษา

1. ขออนุมัติจากคณะกรรมการจริยธรรมทางการวิจัยในมนุษย์ โรงพยาบาลธรรมศาสตร์เฉลิมพระเกียรติ

การวิจัยการแสดงออกของยีนในชิโนไวรัสได้ผ่านการพิจารณาด้านจริยธรรมการวิจัยในมนุษย์ โรงพยาบาลธรรมศาสตร์เฉลิมพระเกียรติ หนังสือรับรองเลขที่ 057/2555 รหัสโครงการวิจัย MTU-EC-OT-4-049/55

2. การคัดเลือกยีนที่เกี่ยวข้องกับการเจริญของกระดูกอ่อนโดยใช้เทคนิคชีวสารสนเทศ

2.1 คัดเลือกยีนโดยอาศัยค่าความแตกต่างทางสถิติเท่านั้น

การคัดเลือกยีนจากฐานข้อมูลไมโครอาร์เรย์ที่ศึกษาการแสดงออกในเซลล์กระดูกอ่อน (accession number GSE16464) ของกลุ่มประชากรผู้ป่วยโรคข้อเข่าเสื่อมจำนวน 10 คน และกลุ่มประชากรปกติจำนวน 4 คนและในเซลล์เยื่อรอบข้อ (accession number GSE12021) ของกลุ่มประชากรผู้ป่วยโรคข้อเข่าเสื่อมจำนวน 10 คน และกลุ่มประชากรปกติ 9 คน โดยใช้ชีวสารสนเทศพบว่ายีนที่มีการแสดงออกแตกต่างกันอย่างมีนัยสำคัญทางสถิติระหว่างกลุ่มผู้ป่วยโรคข้อเข่าเสื่อม และกลุ่มประชากรปกติที่ค่าความเชื่อมั่น 99 % ในเซลล์กระดูกอ่อนจำนวน 160 ยีน และในเซลล์เยื่อรอบข้อจำนวน 952 ยีน เมื่อวิเคราะห์แล้วพบว่า 12 ยีนในเซลล์กระดูกอ่อน และยีนในเยื่อรอบข้อ เป็นยีนเดียวกัน และ เป็นยีนที่เกี่ยวข้องกับการเจริญของกระดูกอ่อน 3 ยีน ดังตารางที่ 5 คือ ยีน *emopamil binding protein (EBP)* ยีน *inositol monophosphatase domain containing 1 (IMPAD1)* หรือยีน *joints abnormal with splitting (JAWS)* และ ยีน *phosphatidic acid phosphatase domain containing 1B (PPAPDC1B)*

ตารางที่ 5 ผลการคัดเลือกรหัสยีนที่เกี่ยวข้องกับการเจริญของกระดูกอ่อน โดยอาศัยค่าความแตกต่างทางสถิติเท่านั้น

จำนวนยีนที่แตกต่างกันที่ค่าความเชื่อมั่นทางสถิติมากกว่า 99%			ลักษณะการแสดงออก	
เซลล์กระดูกอ่อน	เซลล์เยื่อรอบข้อ	ยีนที่มีการแสดงออก ร่วมกัน		
160 ยีน	952 ยีน	12 ยีน	เซลล์กระดูกอ่อน	เซลล์เยื่อรอบข้อ
<i>ABCF3</i>	<i>AASDH</i>	<i>C3orf23</i>	ลดลง	เพิ่มขึ้น
<i>ACPL2</i>	<i>ABCB8</i>	<i>C9orf9</i>	ลดลง	ลดลง
<i>ACTA1</i>	<i>ABTB1</i>	<i>CARS2</i>	ลดลง	ลดลง
<i>ADAMDEC1</i>	<i>ACAD11</i>	<i>DPH5</i>	ลดลง	เพิ่มขึ้น
<i>ADAMTS8</i>	<i>ACAP3</i>	<i>EBP *</i>	เพิ่มขึ้น	ลดลง
<i>ADARB1</i>	<i>ACBD6</i>	<i>FAM45A</i>	ลดลง	เพิ่มขึ้น
<i>ADCY1</i>	<i>ACER3</i>	<i>IMPAD1 *</i>	เพิ่มขึ้น	เพิ่มขึ้น
<i>AGTR1</i>	<i>ACSS1</i>	<i>MAP1LC3A</i>	ลดลง	ลดลง
<i>AIDA</i>	<i>ACTA2</i>	<i>MSH6</i>	เพิ่มขึ้น	ลดลง
<i>AMOTL1</i>	<i>ACTG1</i>	<i>PPAPDC1B *</i>	ลดลง	เพิ่มขึ้น
<i>ANKIB1</i>	<i>ADAL</i>	<i>VEPH1</i>	ลดลง	ลดลง
<i>ANKRD1</i>	<i>ADAM17</i>	<i>ZNF688</i>	ลดลง	ลดลง
<i>AOF1</i>	<i>ADAM33</i>			

หมายเหตุ * คือยีนที่นำไปใช้ในการศึกษาขั้นต่อไป

2.2 คัดเลือกโดยอาศัยค่าความแตกต่างทางสถิติประกอบการวิเคราะห์ค่าการจับที่แตกต่างกันของโพรบ

คัดเลือกรหัสยีนจากฐานข้อมูลไมโครอาร์เรย์ที่ศึกษาการแสดงออกของยีนในเซลล์เยื่อรอบข้อโดยใช้ชีวสารสนเทศ พบว่า 952 ยีน มีความแตกต่างกันอย่างมีนัยสำคัญทางสถิติระหว่างกลุ่มผู้ป่วยโรคข้อเข่าเสื่อม และกลุ่มคนปกติที่ค่าความเชื่อมั่นมากกว่า 99 % หลังจากคัดเลือกเฉพาะยีนที่มีค่าการจับของโพรบมากกว่า 300 RFU จำนวนยีนลดลงเหลือ 836 ยีน และเมื่อคัดเลือกรหัสยีนโดยให้มีค่าการจับของโพรบแตกต่างกันมากกว่า 5 เท่าระหว่างกลุ่มผู้ป่วยโรคข้อเข่าเสื่อม และกลุ่มคนปกติ จำนวนยีนลดลงเหลือ 15 ยีน พบว่าเป็นยีนที่มีการแสดงออกเพิ่มขึ้นเมื่อเทียบกับกลุ่มคนปกติ 5 ยีน และมีการแสดงออกลดลง 10

ยีน ดังตารางที่ 6 โดยมียีนที่เกี่ยวข้องกับการเจริญของกระดูกอ่อน 1 ยีน คือ ยีน *fin-budinitiation in zebrafishhomolog (FIBIN)*

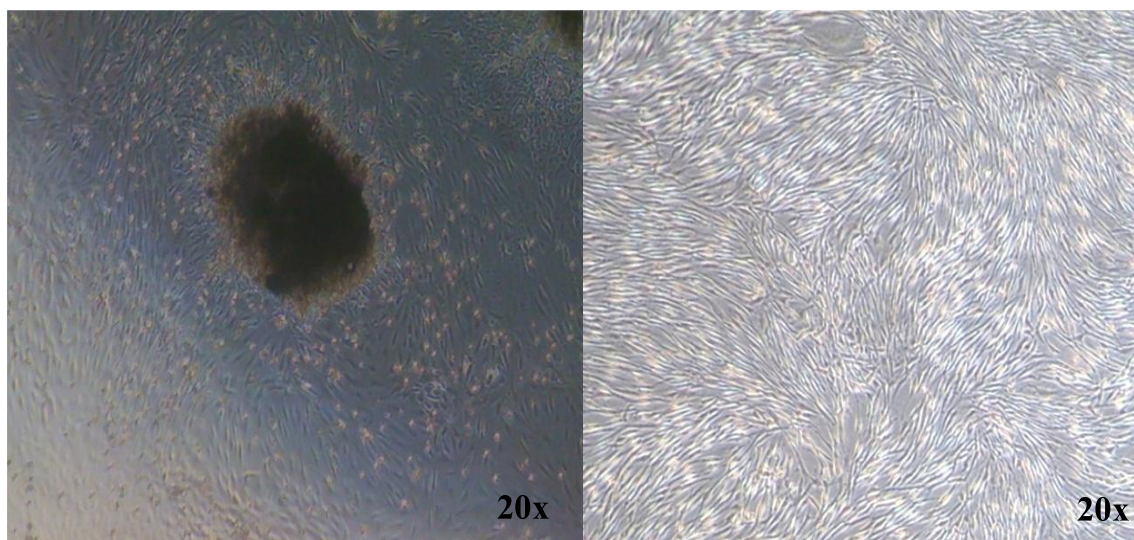
ตารางที่ 6 ผลคัดเลือกโดยอาศัยค่าความแตกต่างทางสถิติประกอบการวิเคราะห์ค่าการจับที่แตกต่างกันของโพรบ

จำนวนยีนที่แตกต่างกันที่ค่าความเชื่อมั่น 95%		การแสดงออกแตกต่างกันมากกว่า 5 เท่า	
เซลล์เยื่อรอบข้อ	ค่าการจับของโพรบมากกว่า 300 RFU	เพิ่มขึ้น	ลดลง
952 ยีน	836 ยีน	5 ยีน	10 ยีน
<i>AASDH</i>	<i>AASDH</i>	<i>FIBIN</i> *	<i>ADAMTS10</i>
<i>ABCB8</i>	<i>ABCB8</i>	<i>HLA-DQA1</i>	<i>EMILIN2</i>
<i>ABTB1</i>	<i>ABTB1</i>	<i>LOC100128501</i>	<i>LOC442075</i>
<i>ACAD11</i>	<i>ACAD11</i>	<i>LOC653071</i>	<i>LRRFIP1</i>
<i>ACAP3</i>	<i>ACAP3</i>	<i>NNMT</i>	<i>MALAT1</i>
<i>ACBD6</i>	<i>ACBD6</i>		<i>NCRNA00084</i>
<i>ACER3</i>	<i>ACER3</i>		<i>PSME4</i>
<i>ACSS1</i>	<i>ACSS1</i>		<i>SLC20A1</i>
<i>ACTA2</i>	<i>ACTG1</i>		<i>THRAP3</i>
<i>ACTG1</i>	<i>ADAL</i>		<i>YPEL2</i>

หมายเหตุ * คือยีนที่นำไปใช้ในการศึกษาขั้นต่อไป

3. ตัวอย่างชิโนไวรัสชนิดบีที่ใช้ในการวิจัย

ชิโนไวรัสชนิดบีที่สกัดจากน้ำข้อเข้าถูกเลี้ยงด้วยอาหารเลี้ยงเซลล์ พบว่าใน passage 0 (P0) มีเซลล์ชนิดอื่นที่มีลักษณะกลม ปนอยู่กับชิโนไวรัสชนิดบีซึ่งเป็นเซลล์เกี่ยวพัน (ดังรูป 5ก) และเมื่อเปลี่ยนอาหารเซลล์ที่ปนเปื้อนดังกล่าวจะถูกกำจัดไปเนื่องจากไม่มีคุณสมบัติในการเกาะพื้นผิว และปริมาณของชิโนไวรัสชนิดบีจะเพิ่มขึ้นเนื่องจากมี FGF-2 เป็นตัวกระตุ้น (ดังรูปที่ 5ข) จนมากพอที่จะสกัดอาร์เอ็นเอเพื่อศึกษาการแสดงออกของยีน และสกัดดีเอ็นเอเพื่อศึกษาการเกิดเมทิลเลชันบนโปรโมเตอร์ของยีน



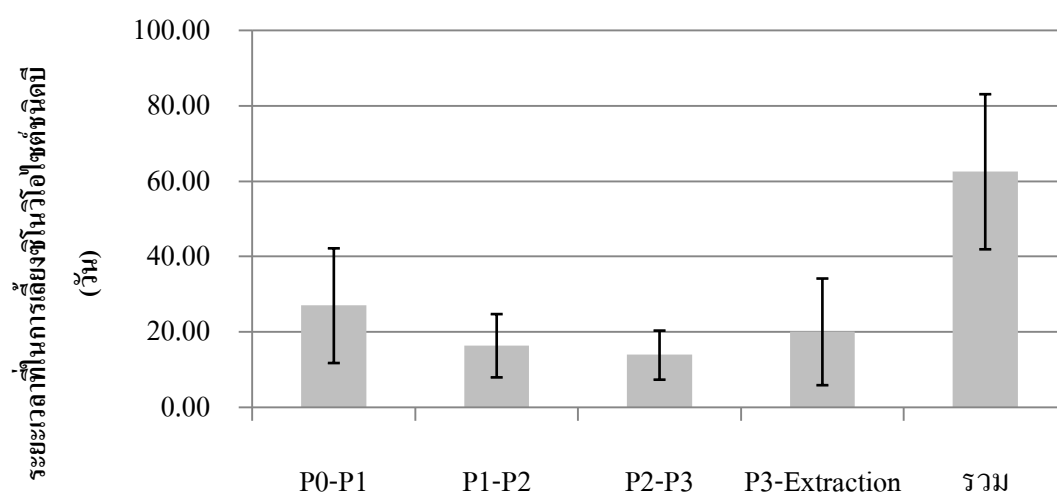
(ก)

(ข)

รูปที่ 5 ซิโนไวรัสชนิดบีที่ถูกเลี้ยงด้วย DMEM

(ก) เซลล์ใน passage 0 (ข) ซิโนไวรัสชนิดบีใน passage 3

ซิโนไวรัสชนิดบีใช้ระยะเวลาเฉลี่ยในการเลี้ยงเซลล์ประมาณ 40-80 วัน โดยในช่วง passage 0 ถึง passage 1 จะใช้ระยะเวลาในการเลี้ยง 10-45 วัน โดยขึ้นอยู่กับปริมาณของซิโนไวรัสชนิดบีในน้ำเชื้อเก่าที่ใช้เริ่มเลี้ยง จากนั้นในแต่ละ passage ระยะเวลาที่ใช้เลี้ยงจะลดลง (ดังรูปที่ 6) เนื่องจากมีเซลล์ตั้งต้นในการเพิ่มปริมาณเป็นจำนวนมาก



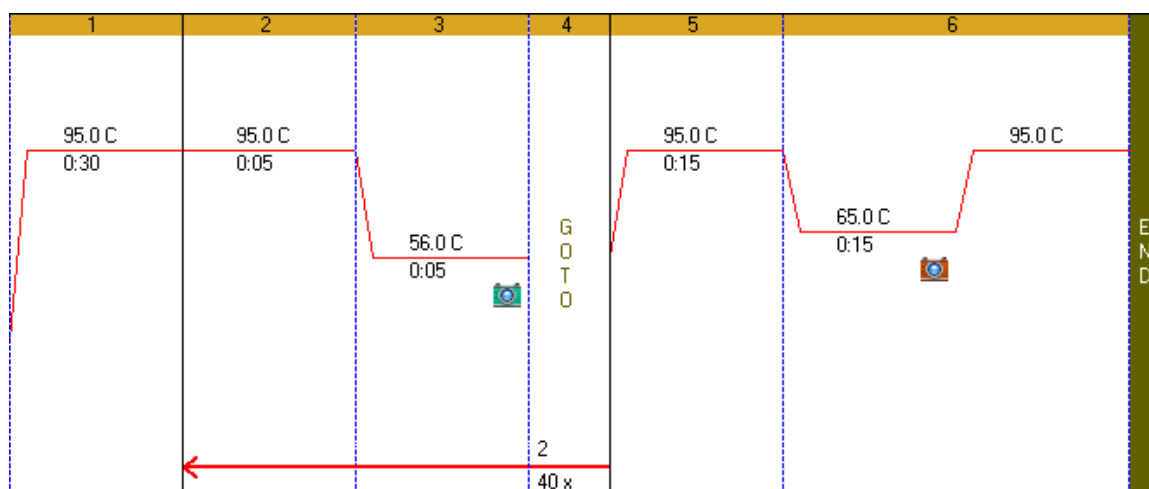
รูปที่ 6 ระยะเวลาที่ใช้ในการเลี้ยงซิโนไวรัสชนิดบี (N=29)

หมายเหตุ P = passage

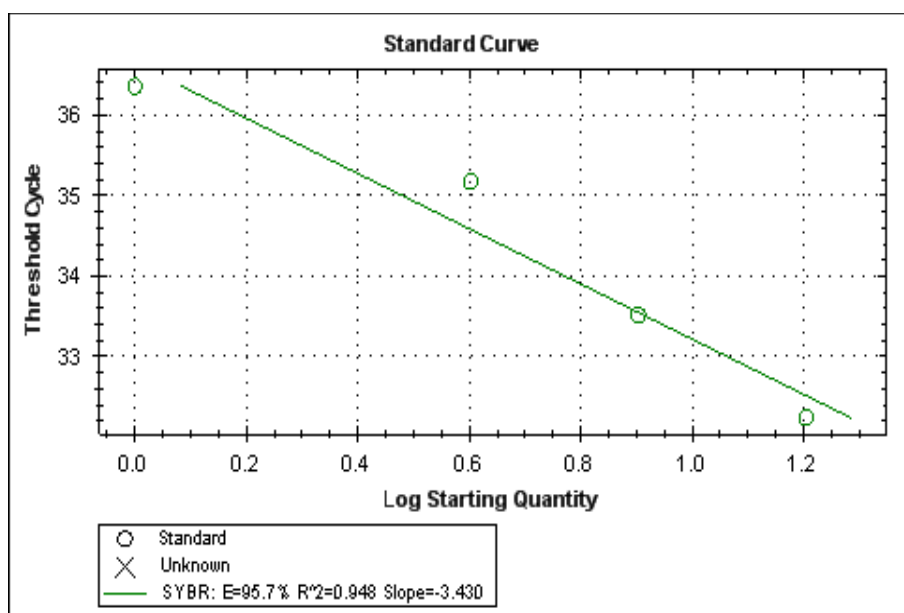
4. ศึกษาการแสดงออกของยีนที่เกี่ยวข้องกับการเจริญของกระดูกอ่อนในชิโนไวรัสต์ชนิดบีของผู้ป่วยโรคข้อเข่าเสื่อม

4.1 ยีนที่ถูกคัดเลือกโดยอาศัยค่าความแตกต่างทางสถิติเท่านั้น

ศึกษาการแสดงออกของ *IMPAD1 EBP* และ *PPAPDC1B* ด้วย real-time PCR ในสภาวะ initial denaturation ที่อุณหภูมิ 95 องศาเซลเซียส นาน 30 วินาที ตามด้วย denature ที่อุณหภูมิ 95 องศาเซลเซียส นาน 5 วินาที จากนั้น annealing/extension ที่อุณหภูมิ 56 องศาเซลเซียส โดยใช้ขั้นตอนในการทำปฏิกิริยา PCR จำนวน 40 รอบ และ melting phase เริ่มต้นที่อุณหภูมิ 65 องศาเซลเซียส จนถึงอุณหภูมิ 95 องศาเซลเซียส โดยเพิ่มอุณหภูมิ 0.5 องศาเซลเซียสต่อ 1 ขั้นตอน melting phase ซึ่งใช้เวลาขั้นตอนละ 2-5 วินาที เพื่อสร้าง meltcurve สำหรับตรวจสอบผลิตภัณฑ์ที่ได้ ดังรูปที่ 7 ซึ่งมีค่าประสิทธิภาพของปฏิกิริยา 95.7 % 96.5 % และ 93.5 % (ดังรูปที่ 8 9 และ 10) ตามลำดับ โดยใช้ *GAPDH* ซึ่งมีค่าประสิทธิภาพของปฏิกิริยา 95.2 % (ดังรูปที่ 11) เป็นยีนควบคุม



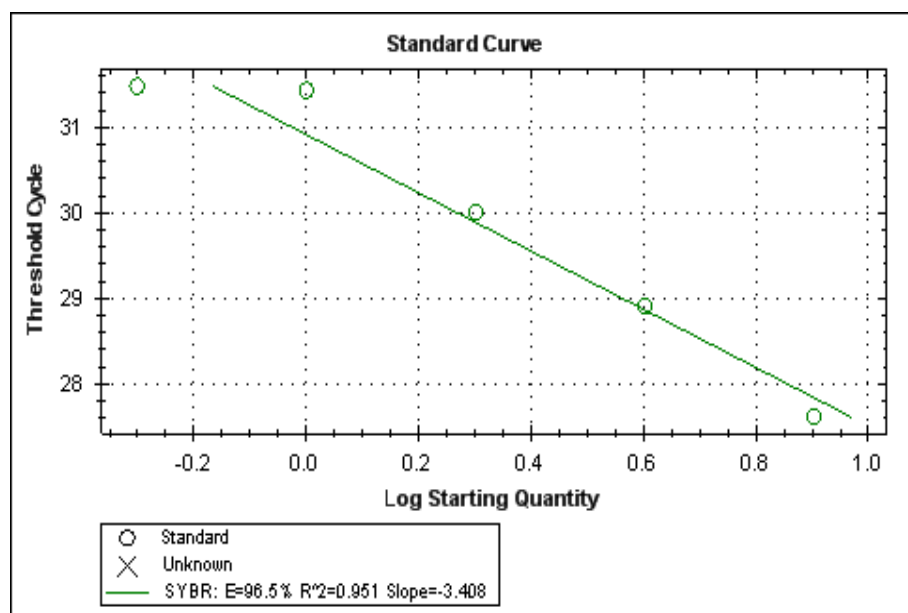
รูปที่ 7 สภาวะในการทำ real-time PCR เพื่อศึกษาการแสดงออกของ *IMPAD1 EBP* และ *PPAPDC1B* โดยใช้ CFX96™ (Bio-Rad, USA)



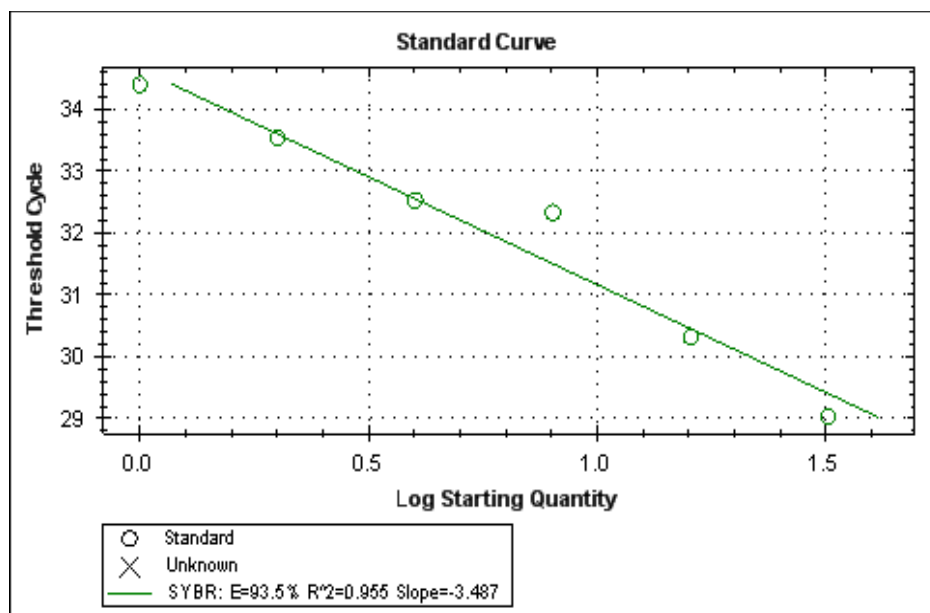
รูปที่ 8 ค่าประสิทธิภาพของปฏิกิริยาในการทำ real-time PCR ของยีน *IMPAD1*

แกน x คือ Ct cycle แกน y คือ ความเข้มข้นของ cDNA ที่ใช้ในปฏิกิริยา

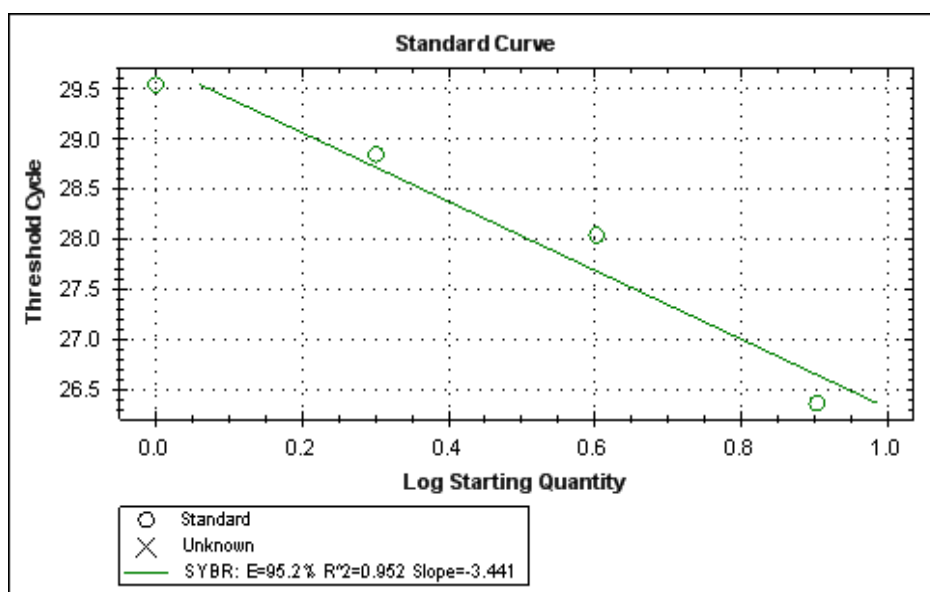
E = ค่าประสิทธิภาพของปฏิกิริยา PCR



รูปที่ 9 ค่าประสิทธิภาพของปฏิกิริยาในการทำ real-time PCR ยีน *EBP*

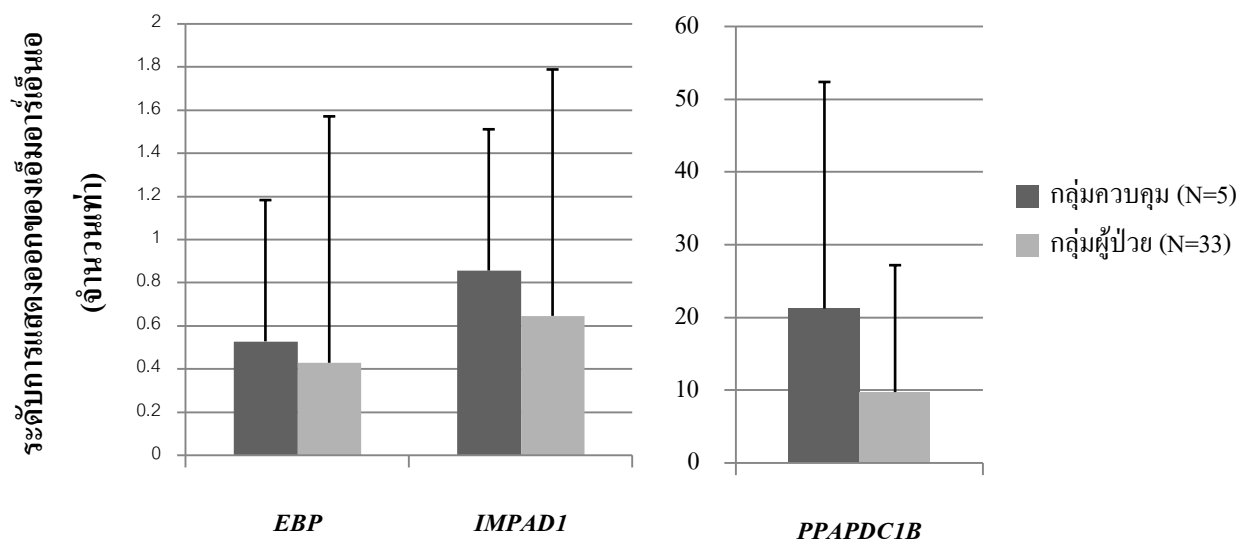


รูปที่ 10 ค่าประสิทธิภาพของปฏิกิริยาในการทำ real-time PCR ยีน *PPAPDC1B*



รูปที่ 11 ค่าประสิทธิภาพของปฏิกิริยาในการทำ real-time PCR ยีน *GAPDH*

จากการศึกษาพบว่าการแสดงออกของยีนที่เกี่ยวข้องกับการเจริญของกระดูกอ่อนซึ่งถูกคัดเลือกโดยอาศัยค่าความแตกต่างทางสถิติเพียงอย่างเดียว ไม่มีความแตกต่างกันอย่างมีนัยสำคัญทางสถิติระหว่างกลุ่มผู้ป่วยโรคข้อเข่าเสื่อมจำนวน 33 คน และกลุ่มควบคุมจำนวน 5 คน ทั้ง *EBP IMPAD1* และ *PPAPDC1B* (p value = 0.6913 0.2456 และ 0.2046 ตามลำดับ) ดังรูปที่ 12



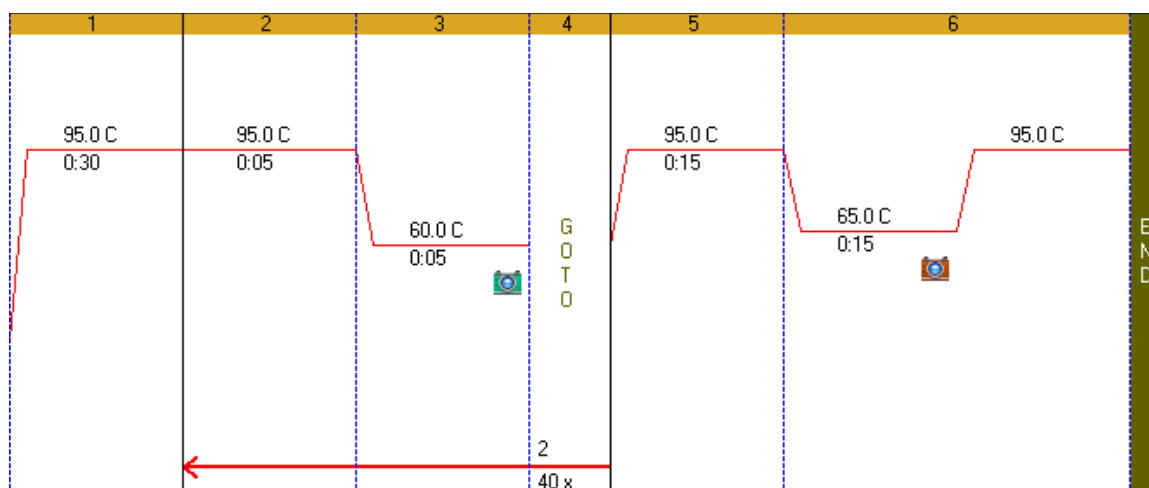
(ก) (ข)

รูปที่ 12 การแสดงออกของยีนที่เกี่ยวข้องกับการเจริญของกระดูกอ่อนในชิโนไวรัสชนิดบีของผู้ป่วยโรคข้อเข่าเสื่อมที่ถูกคัดเลือกโดยอาศัยค่าความแตกต่างทางสถิติเท่านั้น

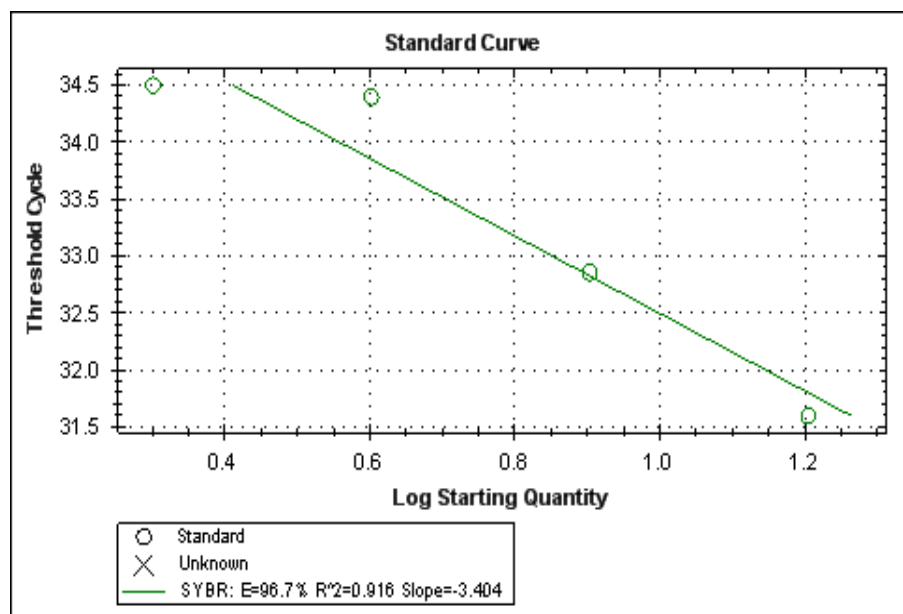
(ก) การแสดงออกของยีน *EBP* และยีน *IMPAD1* (ข) การแสดงออกของยีน *PPAPDC1B*

4.2 ยีนที่ถูกคัดเลือกโดยอาศัยค่าความแตกต่างทางสถิติประกอบกับการวิเคราะห์ค่าการจับที่แตกต่างกันของโพรบ

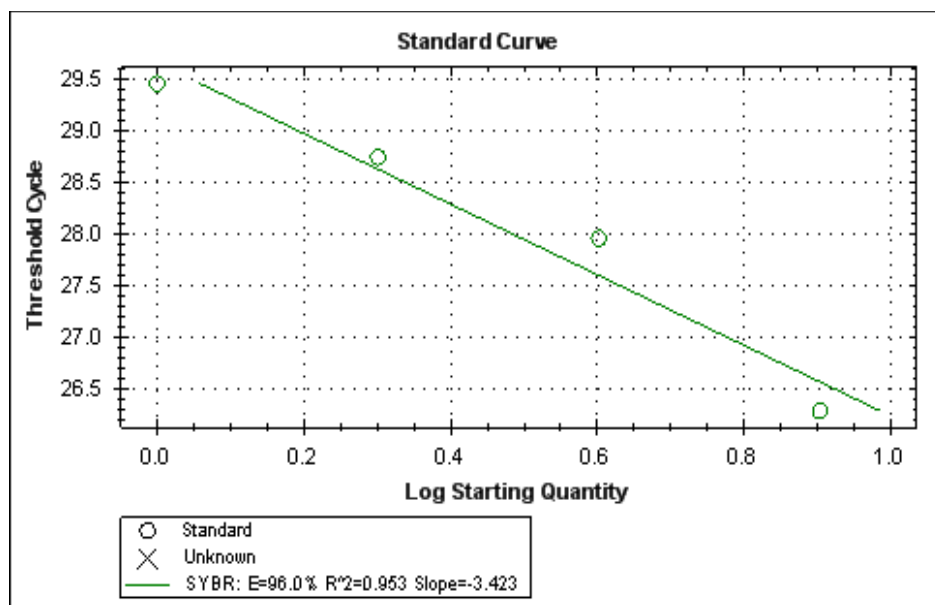
ศึกษาการแสดงออกของ *FIBIN* ด้วย real-time PCR ในสภาวะ initial denaturation ที่อุณหภูมิ 95 องศาเซลเซียส นาน 30 วินาที ตามด้วย denature ที่อุณหภูมิ 95 องศาเซลเซียส นาน 5 วินาที จากนั้น annealing/extension ที่อุณหภูมิ 60 องศาเซลเซียส โดยใช้ขั้นตอนในการทำปฏิกิริยา PCR จำนวน 40 รอบ และ meltingphase เริ่มต้นที่อุณหภูมิ 65 องศาเซลเซียส จนถึงอุณหภูมิ 95 องศาเซลเซียส โดยเพิ่มอุณหภูมิ 0.5 องศาเซลเซียสต่อ 1 ขั้นตอน melting phase ซึ่งใช้เวลาขั้นตอนละ 2-5 วินาที เพื่อสร้าง meltcurve สำหรับตรวจสอบผลิตภัณฑ์ที่ได้ดังรูปที่ 13 ซึ่งมีค่าประสิทธิภาพของปฏิกิริยา 93.5 % (ดังรูปที่ 14) ตามลำดับ โดยใช้ *GAPDH* ซึ่งมีค่าประสิทธิภาพของปฏิกิริยา 96 % (ดังรูปที่ 15) เป็นยีนควบคุม



รูปที่ 13 สภาพในการทำ real-time PCR เพื่อศึกษาการแสดงออกของยีน *FIBIN*

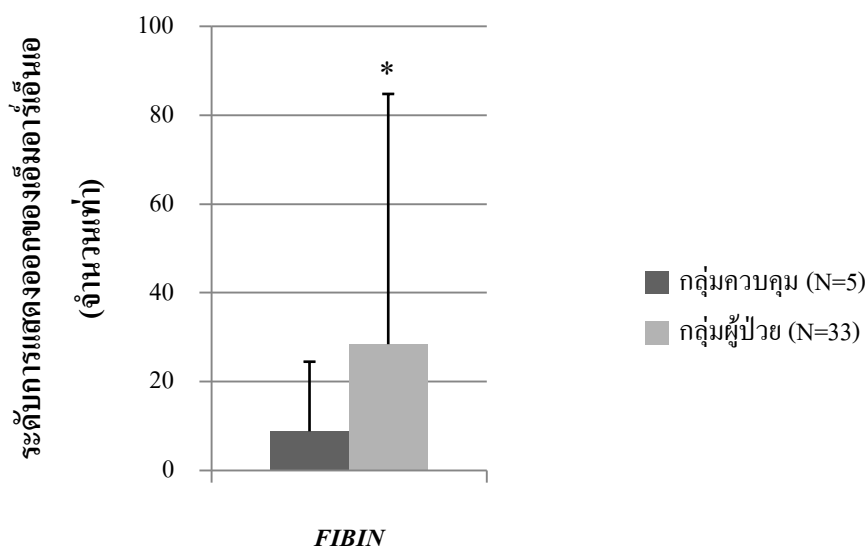


รูปที่ 14 ค่าประสิทธิภาพของปฏิกิริยาในการทำ real-time PCR ยีน *FIBIN*



รูปที่ 15 ค่าประสิทธิภาพของปฏิกิริยาในการทำ real-time PCR ขึ้น *GAPDH*

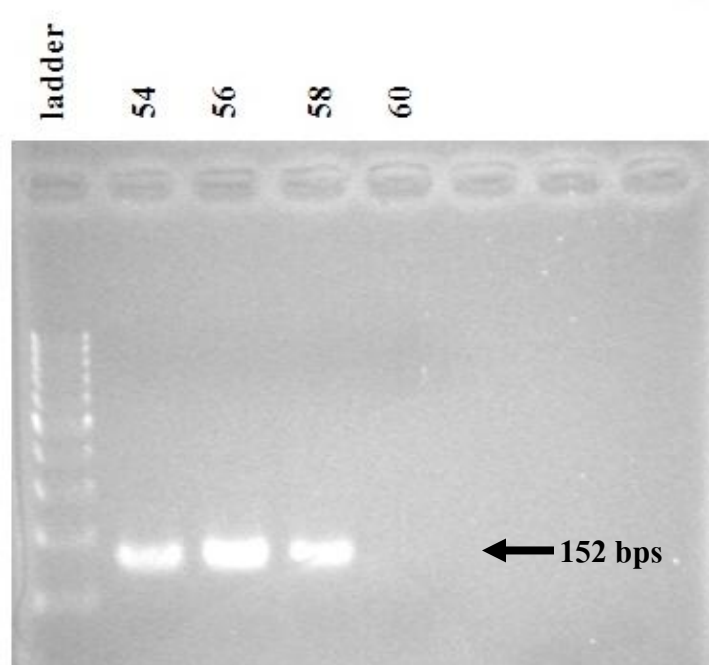
จากการศึกษาพบว่าการแสดงออกของยีนที่เกี่ยวข้องกับการเจริญของกระดูกอ่อนซึ่งถูกคัดเลือกโดยอาศัยค่าความแตกต่างทางสถิติประกอบกับการวิเคราะห์ค่าการจับที่แตกต่างกันของโพรบ มีความแตกต่างกันอย่างมีนัยสำคัญทางสถิติที่ความเชื่อมั่นมากกว่า 95 % (p value = 0.0228) โดยกลุ่มผู้ป่วยโรคข้อเข่าเสื่อม (N=33) มีการแสดงออกของ *FIBIN* เพิ่มขึ้น (28.3311 ± 56.3876) เมื่อเทียบกับกลุ่มควบคุม (N=5) (8.7004 ± 15.6900) ดังรูปที่ 16



รูปที่ 16 การแสดงออกของ *FIBIN* ในซีโนไวโอไซต์ชนิดบีของผู้ป่วยโรคข้อเข่าเสื่อมที่ถูกคัดเลือกโดยอาศัยค่าความแตกต่างทางสถิติประกอบกับการวิเคราะห์ค่าการจับที่แตกต่างกันของโพรบ

5.2 Hot start PCR

เนื่องจากเทคนิค pyrosequencing เป็นเทคนิคที่มีความละเอียดสูง หากสถานะในการทำ PCR ไม่เหมาะสม อาจเกิด non-specific product ซึ่งจะทำให้ค่าที่ได้เกิดความคลาดเคลื่อน ดังนั้นจึงจำเป็นต้องหาอุณหภูมิที่เหมาะสมในการทำ HS-PCR พบว่าสามารถสังเคราะห์ผลผลิต PCR ได้ที่ อุณหภูมิ 54 56 และ 58 องศาเซลเซียส แต่ไม่สามารถสังเคราะห์ได้ที่ 60 องศาเซลเซียส (ดังรูปที่ 19) ดังนั้นจึงใช้อุณหภูมิ 56 องศาเซลเซียส เพื่อทำ HS-PCR และส่งวิเคราะห์การเกิดเมทิลเลชันบนโปรโมเตอร์ของ *FIBIN* ด้วยเทคนิค pyrosequencing



รูปที่ 19 ผลการสังเคราะห์ยีน *FIBIN* จาก bisulfite converted DNA ที่อุณหภูมิ annealing 54 56 58 และ 60 องศาเซลเซียส ในการทำ gradient PCR

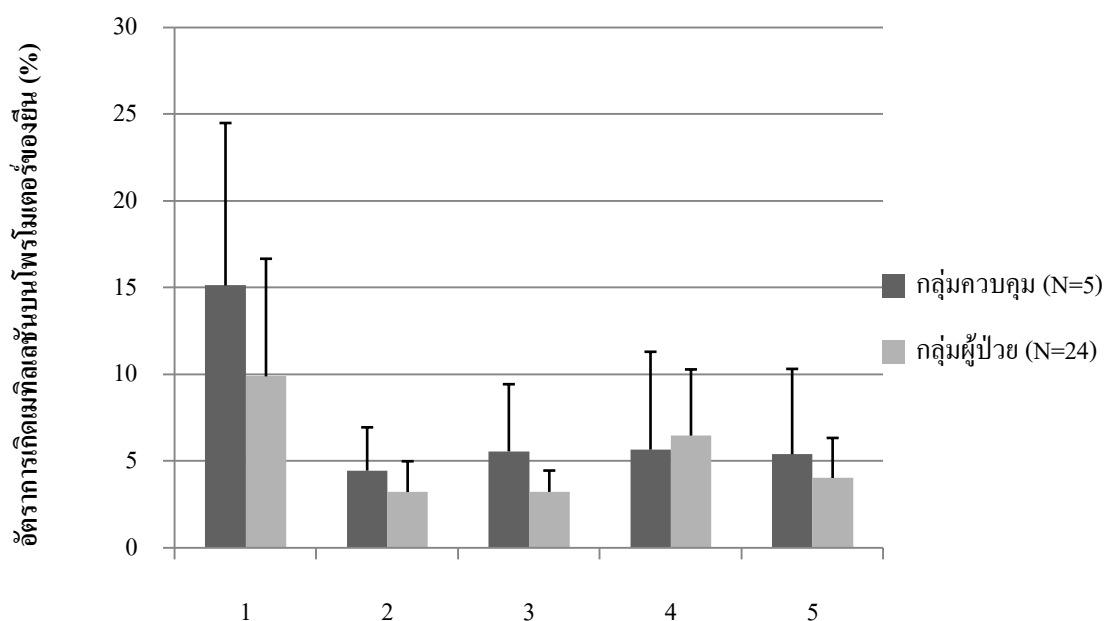
5.3 Pyrosequencing

การศึกษาการเกิดเมทิลเลชันบนไซโตซีนที่ CpG island ซึ่งอยู่ใกล้จุดเริ่มต้นของโปรโมเตอร์ของยีน จำนวน 5 ตำแหน่ง (ดังรูปที่ 20) พบว่า CpG ตำแหน่งที่ 1 ในกลุ่มผู้ป่วยโรคข้อเข่าเสื่อม (N=24) อัตราการเกิดเมทิลเลชันมีแนวโน้มที่ลดลง (p value = 0.0784) เมื่อเปรียบเทียบกับกลุ่มควบคุมกลุ่มควบคุม (N=5) (อัตราส่วนการเกิดดีเอ็นเอเมทิลเลชันในกลุ่มควบคุม : กลุ่มผู้ป่วยโรคข้อเข่าเสื่อม = 15.12: 9.88 %) ดังรูปที่ 21 ซึ่งมีความสัมพันธ์กับการแสดงออกในระดับเอ็มอาร์เอ็นเอที่เพิ่มขึ้นในกลุ่มผู้ป่วยโรคข้อเข่าเสื่อม เมื่อเทียบกับกลุ่มควบคุม

STCTACACACTCCATCTCCCGGGAGCAAGGGGAAACTCCGAGAGGAGGGCAACAGAGCC
 AGCATCTTGCCAGGGCCCCGGAGGAGGGGTTCCCCGCTACGCCTGTGCCGGAGGAGTTC
 CAGTCACCGAGCGAGGGGGCGCAAGGGTGGGTGCATCCTG¹CGCTG²CGG³CGGG⁴CG⁵CGC
 TACCCAGACGCTGGTGTGCAGAGCCACATGAAGCCTGCTGGGGACTGGGGGCCAGGGAG
 CAGCAAGCCAGCTGGGACTGAGGCGGACGCTGTCTCAGGGAGACGCTGACTCGCA

รูปที่ 20 ลำดับนิวคลีโอไทด์ของ *FIBIN* (NCBI, 2013)

STC แสดงจุดเริ่มต้นของโปรโมเตอร์ และ ^NCG หมายถึง CpG ตำแหน่งที่ N

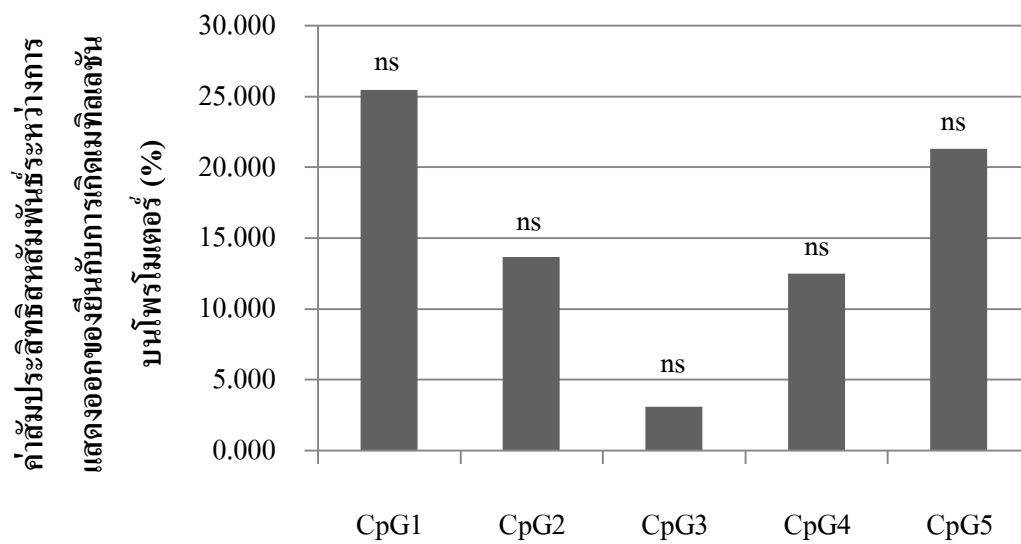


รูปที่ 21 อัตราการเกิดเมทิลเลชันที่ตำแหน่ง CpG บนโปรโมเตอร์ของ *FIBIN*

6. ความสัมพันธ์ระหว่างระดับการแสดงออก และการเกิดเมทิลเลชันบนโปรโมเตอร์ของยีน

จากการศึกษาความสัมพันธ์สหสัมพันธ์เชิงเส้นตรง (correlation coefficient) ด้วยสถิติ Pearson correlation ระหว่างค่าการแสดงออก และการเกิดเมทิลเลชันบนโปรโมเตอร์ของยีน *FIBIN* ในกลุ่มประชากร 29 คน พบว่าการเกิดเมทิลเลชันที่ตำแหน่ง CpG มีค่า correlation coefficient บน CpG ตำแหน่งที่ 1 2 3 4 และ 5 = 0.255 0.137 0.031 0.125 และ 0.213 ตามลำดับ (ดังรูปที่ 2.2) ซึ่งการแสดงออกของ *FIBIN* ที่ศึกษาด้วย real-time PCR ไม่มีความสัมพันธ์อย่างมีนัยสำคัญทางสถิติกับการเกิดเมทิลเลชันบนโปรโมเตอร์ของยีน *FIBIN* ใน CpG ตำแหน่งที่ 1 2 3 4 และ 5 (p value = 0.182)

0.479 0.875 0.519 และ 0.267 ตามลำดับ) ในตัวอย่างผู้ป่วยโรคข้อเข่าเสื่อม 24 คนและกลุ่มควบคุม 5 คน



รูปที่ 22 ค่าสัมประสิทธิ์สหสัมพันธ์ระหว่างการแสดงออกของยีน และการเกิดเมทิลเลชันบน

โปรโมเตอร์ของยีน *FIBIN*

หมายเหตุ ns = ค่าสัมประสิทธิ์สหสัมพันธ์ไม่แตกต่างจาก 0 อย่างมีนัยสำคัญทางสถิติ

บทที่ 5

อภิปราย สรุปผลการวิจัย และข้อเสนอแนะ

อภิปรายผลการทดลอง

จากงานวิจัยแสดงให้เห็นว่าการใช้ชีวสารสนเทศเพื่อคัดเลือกลำดับยีนสำหรับนำมาใช้ในการศึกษาการแสดงออก ไม่ควรคำนึงถึงจากค่าความเชื่อมั่นที่ได้จากการวิเคราะห์เพียงอย่างเดียว เช่น การศึกษาการแสดงออกของ *EBP* ซึ่งถูกคัดเลือกโดยอาศัยเพียงค่าความเชื่อมั่นมากกว่า 99 % (p value = 0.004) ด้วยเทคนิค real-time PCR พบว่าการแสดงออกมีค่าไม่แตกต่างกันอย่างมีนัยสำคัญทางสถิติระหว่างกลุ่มผู้ป่วยโรคข้อเข่าเสื่อม และกลุ่มควบคุม (p value = 0.6913) เนื่องจากลำดับนิวคลีโอไทด์ของชุดโพรบ (231320_at) ไม่มีความจำเพาะต่อลำดับนิวคลีโอไทด์ของ *EBP* (NM_006579) ดังนั้นผลที่ได้จากไมโครอาร์เรย์อาจเกิดจากผลบวกหลง (false positive result) ที่สามารถเกิดขึ้นได้ เนื่องจากการใช้อุณหภูมิเพียงอุณหภูมิเดียวในขั้นตอนการไฮบริไดซ์ (hybridization) ในการทำไมโครอาร์เรย์ ซึ่งทำให้โพรบเกิดการจับแบบไม่จำเพาะจากนั้นสัญญาณสฟลูออเรสเซนซ์จะถูกส่งไปที่เครื่องตรวจจับ ทำให้แสดงผลที่เกิดจากการจับกันแบบไม่จำเพาะเกิดขึ้น เมื่อนำยีนที่ผ่านการวิเคราะห์ทางชีวสารสนเทศมาศึกษาการแสดงออกของยีนด้วยเทคนิค real-time PCR ซึ่งมีความแม่นยำในการตรวจสอบปริมาณของสารพันธุกรรมที่สูง (Dallas *et al.*, 2005) ผลที่ได้จึงไม่มีความแตกต่างกันระหว่างกลุ่มผู้ป่วย และกลุ่มควบคุม นอกจากนั้นถึงแม้ผลจากไมโครอาร์เรย์จะมีค่าการแสดงออกแตกต่างกันอย่างมีนัยสำคัญทางสถิติ แต่ค่าการจับของโพรบมีความแตกต่างกันเพียงเล็กน้อยระหว่างสองกลุ่มประชากร ยีนที่นำมาใช้ในการศึกษาดำเนินการที่มีความละเอียดสูงกว่าจึงอาจไม่เป็นไปในทิศทางเดียวกันกับผลที่ได้จากการวิเคราะห์ทางชีวสารสนเทศเนื่องจากเทคนิคไมโครอาร์เรย์เป็นการศึกษายีนพร้อมกันเป็นจำนวนมาก (high throughput) ผลการทดลองจึงมีความละเอียดที่ต่ำ ดังนั้นความคลาดเคลื่อนของผลการทดลองจึงมีสูง (Dallas *et al.*, 2005; Khodakov *et al.*, 2008) เช่น ผลที่ได้จากไมโครอาร์เรย์ โดยที่ *IMPAD1* มีการแสดงออกเพิ่มขึ้น 1.9 เท่าในผู้ป่วยโรคข้อเข่าเสื่อม (p value=0.002) และ *PPAPDC1B* มีการแสดงออกเพิ่มขึ้น 2.1 เท่าในผู้ป่วยโรคข้อเข่าเสื่อม (p value = 0.008) แต่เมื่อศึกษาการแสดงออกด้วยเทคนิค real-time PCR พบว่าไม่แตกต่างอย่างมีนัยสำคัญทางสถิติระหว่างกลุ่มผู้ป่วยโรคข้อเข่าเสื่อม และกลุ่มควบคุม (p value = 0.2456 และ 0.2046 ตามลำดับ) ในขณะที่ *FIBIN* ที่ถูกคัดเลือกด้วยเทคนิคชีวสารสนเทศที่ระดับความเชื่อมั่นมากกว่า 99 % (p value = 0.004) ซึ่งมีค่าการแสดงออกเพิ่มขึ้น 5.1 เท่า ใน

กลุ่มผู้ป่วยโรคข้อเข่าเสื่อม เมื่อศึกษาการแสดงออกของยีนด้วยเทคนิค real-time PCR พบว่ามีการแสดงออกแตกต่างกันอย่างมีนัยสำคัญทางสถิติ (p value = 0.0228) โดยกลุ่มผู้ป่วยโรคข้อเข่าเสื่อมมีการแสดงออกเพิ่มขึ้นประมาณ 3.26 เท่าเมื่อเปรียบเทียบกับกลุ่มควบคุมซึ่ง ผลการแสดงออกที่ศึกษาด้วยเทคนิค real-time PCR ไปในทิศทางเดียวกับผล การแสดงออกของยีนจากฐานข้อมูลไมโครอาร์เรย์ ที่วิเคราะห์โดยใช้ชีวสารสนเทศ

การแสดงออกที่เพิ่มขึ้นในผู้ป่วยโรคข้อเข่าเสื่อม อาจเกิดจากการตอบสนองต่อการเสียหายของกระดูกอ่อนผิวข้อ ยีน *FIBIN* จึงพยายามที่จะซ่อมแซมกระดูกอ่อนโดยการกระตุ้นกระบวนการสังเคราะห์กระดูกอ่อน หรือ อาจเป็นสาเหตุที่สำคัญในการทำให้เกิดกระดูกงอกในผู้ป่วยโรคข้อเข่าเสื่อม เนื่องจากยีน *FIBIN* ที่มีความสำคัญในการพัฒนารยางค์ของสัตว์ที่มีกระดูกสันหลังในระยะตัวอ่อน (Lakner *et al.*, 2011) การแสดงออกของยีน *FIBIN* พบมากในสมองส่วนซีรีบริม กล้ามเนื้อกระดูก และเนื้อเยื่อส่วน mesoderm โดยเฉพาะ MCS ที่จะพัฒนากลายเป็นเซลล์ในเนื้อเยื่อเกี่ยวพัน เช่น เซลล์กระดูกอ่อน เซลล์ซินโอไโฮไซต์ชนิดบี ซึ่งเป็นเซลล์ชนิดเกี่ยวพันโดยสังเคราะห์โปรตีนที่มีการอนุรักษ์สูงโดยมีความแตกต่างกันน้อยกว่า 10 % ใน ปลาหมึก หู และมนุษย์ กรดอะมิโนตัวที่ 1-8 ทำหน้าที่เป็น cleavage signal peptide แอสพาราจีนตำแหน่งที่ 30 (Asn³⁰) ที่จะถูกเติมหมู่ น้ำตาล (glycosylation) และกรดอะมิโนซิสเทอีนตำแหน่งที่ 52 และ 64 (Cys⁵² และ Cys⁶⁴) 2 ตำแหน่งที่จะทำหน้าที่ในการสร้างพันธะ disulfide เพื่อรวมตัวกันเป็น complex โดยมีหน้าที่สำคัญในระบบการสังเคราะห์โปรตีนและส่งออกนอกเซลล์ (biosynthetic-secretorysystem) หากเกิดความผิดปกติที่ *Fibin* ทำให้เกิดการกุดของครีปในปลาหมึก และเกิดการกุดของแขนขาในหนู (Wakahara *et al.*, 2007) จากการศึกษาสหสัมพันธ์ระหว่างการแสดงออก และการเกิดเมทิลเลชันบนโปรโมเตอร์ของ *FIBIN* ตำแหน่ง CpG ที่ 1 2 3 4 และ 5 ไม่มีความสัมพันธ์กันอย่างมีนัยสำคัญทางสถิติ (p value = 0.182 0.479 0.875 0.519 และ 0.267 ตามลำดับ) ซึ่งอาจเกิดจากกระบวนการอื่น เช่น การหายไปของ small non-coding RNA หรือ miRNA คือ กระบวนการที่สำคัญในการควบคุมการแสดงออกของยีนโดยการทำลายอาร์เอ็นเอเป้าหมาย โดยทั่วไป miRNA มีขนาด 20-23 นิวคลีโอไทด์ซึ่งมีความจำเพาะต่อ mRNA เมื่อเข้าไปจับจะกลายเป็น RNA-induced silencing complex (RISC) ซึ่งจะหยุดการสังเคราะห์โปรตีน หรืออาจเกิดการทำลายอาร์เอ็นเอสายคู่ด้วยกระบวนการด้านไวรัสของร่างกาย หากเกิดความผิดปกติที่ intergenic region ของ miRNA อาจทำให้เกิดการเพิ่มปริมาณของเอ็มอาร์เอ็นเอของยีนดังกล่าว (Barter *et al.*, 2012) เช่น การสูญเสียการทำงานของ miRNA ในกระบวนการของเอนไซม์ dicer ในกระดูกอ่อน

ของหนูในระยะตัวอ่อน ซึ่งทำให้หนูเกิดการตายภายในระยะเวลา 7 วัน ซึ่งเอนไซม์ dicer ทำให้กระบวนการเจริญของกระดูก และกระดูกอ่อนถูกยับยั้ง เมื่อ miRNA หายไป ทำให้การพัฒนาของกระดูกในตัวอ่อนหนูหยุดชะงัก (Guo *et al.*, 2010) เป็นต้น

นอกจากนั้นตัวอย่างที่ใช้ในการศึกษาไม่สามารถคัดเลือกอายุ น้ำหนัก และส่วนสูงให้มีค่าใกล้เคียงกันได้ ดังนั้นอาจมีปัจจัยอื่นที่ทำให้การแสดงออกของยีนที่เกี่ยวข้องกับการเจริญของกระดูกอ่อนแตกต่างกันระหว่างสองกลุ่มตัวอย่าง โดยปัจจัยดังกล่าวอาจไม่เกี่ยวข้องกับการเกิดโรคข้อเข่าเสื่อม เช่น จากการศึกษาปริมาณโปรตีนของ *COMP* มีความแตกต่างกันอย่างมีนัยสำคัญทางสถิติที่ค่าความเชื่อมั่นมากกว่า 95 % ระหว่างกลุ่มผู้ที่มีน้ำหนักตัวเกินมาตรฐาน และกลุ่มคนที่มีน้ำหนักปกติ (Andersson *et al.*, 2006) ดังนั้นหากนำมาใช้ศึกษาในผู้ป่วยโรคข้อเข่าเสื่อมที่มีน้ำหนักตัวเกินมาตรฐาน จะไม่แตกต่างจากกลุ่มควบคุมที่มีน้ำหนักตัวเกินมาตรฐาน

สรุปผลการวิจัย

การคัดเลือกยีนที่ใช้ในการศึกษาการแสดงออกของยีนจากฐานข้อมูลไมโครอาร์เรย์โดยใช้ชีวสารสนเทศน์ ไม่ควรคำนึงถึงเพียงค่าความเชื่อมั่นที่ได้จากการวิเคราะห์ แต่ควรวิเคราะห์ประกอบกับค่าการจับที่แตกต่างกันของโพรบ เพื่อให้ได้ข้อมูลที่น่าเชื่อถือในการวิเคราะห์การแสดงออกของยีน โดยพบว่าการแสดงออกของ *EBP* *IMPAD1* และ *PPAPDC1B* ซึ่งถูกคัดเลือกโดยอาศัยค่า *p* value เพียงอย่างเดียว ไม่มีความแตกต่างกันอย่างมีนัยสำคัญทางสถิติระหว่างกลุ่มผู้ป่วยโรคข้อเข่าเสื่อม และกลุ่มควบคุม (*p* value = 0.6913 0.2456 และ 0.2046 ตามลำดับ) ในขณะที่ *FIBIN* ที่ถูกคัดเลือกโดยอาศัยค่า *p* value ประกอบกับการวิเคราะห์ค่าการจับที่แตกต่างกันของโพรบ มีการแสดงออกเพิ่มขึ้นอย่างมีนัยสำคัญทางสถิติในกลุ่มผู้ป่วยโรคข้อเข่าเสื่อมเมื่อเปรียบเทียบกับกลุ่มควบคุม (*p* value = 0.0228) ซึ่งผลการแสดงออกที่ได้ไปในทิศทางเดียวกับผลการแสดงออกของยีนจากฐานข้อมูลไมโครอาร์เรย์โดยใช้ชีวสารสนเทศน์และจากการศึกษาการเกิดเมทิลเลชันบนโปรโมเตอร์พบว่ากลุ่มผู้ป่วยโรคข้อเข่าเสื่อมมีอัตราการเกิด เมทิลเลชันลดลงเมื่อเปรียบเทียบกับกลุ่มควบคุม ซึ่งมีความสอดคล้องกับระดับการแสดงออกที่ศึกษาด้วยเทคนิค real-time PCR โดยจากการศึกษาค่าสหสัมพันธ์พบว่าไม่มีความสัมพันธ์อย่างมีนัยสำคัญทางสถิติระหว่างการแสดงออก และการเกิดเมทิลเลชันบนโปรโมเตอร์ของ *FIBIN* โดยการแสดงออกที่เปลี่ยนไปอาจเกิดจากปัจจัยอื่น เช่น กระบวนการควบคุมการถอดรหัส การเปลี่ยนแปลงของ miRNA การเปลี่ยนแปลงของ acetylation บนโปรโมเตอร์ของยีน หรืออาจเกิดจากการเปลี่ยนแปลงของ chromatin remodeling เป็นต้น การแสดงออกที่เปลี่ยนไปของ *FIBIN* อาจมีบทบาท

สำคัญในการทำให้เกิดโรคข้อเข่าเสื่อม ซึ่งจะนำไปสู่ความเข้าใจกลไกในการเกิดโรคที่มากขึ้น เพื่อใช้พัฒนาที่มีความจำเพาะต่อสาเหตุการเกิดโรคข้อเข่าเสื่อม นอกจากนั้นยังสามารถใช้เป็นตัวบ่งชี้ทางชีวภาพเพื่อใช้คัดกรองผู้ป่วยโรคข้อเข่าเสื่อมในระยะเริ่มต้นเพื่อหลีกเลี่ยงปัจจัยต่าง ๆ ที่ก่อให้เกิดการเสื่อมของข้อเข่า และยืระยะเวลาในการเกิดโรคออกไปได้

ข้อเสนอแนะ

ควรเลือกกลุ่มตัวอย่างที่ใช้ในการศึกษาที่มีอายุ และค่าดัชนีมวลกาย (body mass index,BMI) ที่ใกล้เคียงกัน เพื่อหลีกเลี่ยงผลการวิจัยที่เกิดจากปัจจัยอื่นซึ่งไม่ใช่ผลที่ต้องการอย่างแท้จริง นอกจากนั้นจำนวนของกลุ่มตัวอย่างควรมีจำนวนเหมาะสมกับสถิติที่ใช้เพื่อให้สามารถลดความคลาดเคลื่อนที่เกิดจากปริมาณตัวอย่างอันเนื่องมาจากการวิเคราะห์ด้วยสถิติ และมีความน่าเชื่อถือในระดับที่สามารถยอมรับได้

เซลล์ซิโนไวโอไซต์ชนิดบีที่ได้จากน้ำไขข้อควรทำการสกัดเพื่อเลี้ยงเซลล์ภายใน 24 ชั่วโมง

เนื่องจากเมื่อเซลล์ออกจากร่างกาย จะทำให้สภาพแวดล้อมเปลี่ยนไป ซึ่งอาจทำให้เกิดการเปลี่ยนแปลงในระดับการแสดงออกของยีน และผลที่ได้อาจมีค่าแตกต่างไปจากการแสดงออกปกติในร่างกาย

พัฒนาเทคนิคในการศึกษาอัตราการเกิดเมทิลเลชันบนโปรโมเตอร์ของยีนด้วยเทคนิค real-time PCR เพื่อลดระยะเวลาและค่าใช้จ่ายในการทำ pyrosequencing โดยใช้เทคนิค MethyQuant real-time PCR (Dugast-Darzacq and Grange, 2009) และศึกษาการแสดงออกในระดับโปรตีนของ *FIBIN* เพิ่มเติม ด้วยการทำ western blot เพื่อดูการแสดงออกในระดับโปรตีน และเปรียบเทียบความสัมพันธ์ระหว่างการแสดงออกของเอ็มอาร์เอ็นเอที่ได้ศึกษาไป ซึ่งความเข้าใจเพิ่มเติมในระดับการแสดงออกของโปรตีนอาจทำให้ทราบถึงกลไกการทำงานของ *FIBIN* ในระดับโปรตีนของผู้ป่วยโรคข้อเข่าเสื่อม ซึ่งหากไม่สอดคล้องกับข้อมูลการแสดงออกในระดับเอ็มอาร์เอ็นเอ อาจเกิดจากความผิดปกติที่กระบวนการหลังการแปลรหัส (post-translation) ซึ่งอาจทราบถึงกลไกที่สำคัญในการทำให้เกิดโรคข้อเข่าเสื่อม

- Andersson, M. L., Thorstensson, C. A., Roos, E. M., Petersson, I. F., Heinegard, D. and Saxne, T., 2006. Serum levels of cartilage oligomeric matrix protein (COMP) increase temporarily after physical exercise in patients with knee osteoarthritis. *BMC Musculoskelet Disord* 7: 98.
- Barter, M. J., Bui, C. and Young, D. A., 2012. Epigenetic mechanisms in cartilage and osteoarthritis: DNA methylation, histone modifications and microRNAs. *Osteoarthritis Cartilage* 20(5): 339-349.
- Dallas, P. B., *et al.*, 2005. Gene expression levels assessed by oligonucleotide microarray analysis and quantitative real-time RT-PCR -- how well do they correlate? *BMC Genomics* 6: 59.
- Dugast-Darzacq, C. and Grange, T., 2009. MethylQuant: a real-time PCR-based method to quantify DNA methylation at single specific cytosines. *Methods Mol Biol* 507: 281-303.
- Guo, H., Ingolia, N. T., Weissman, J. S. and Bartel, D. P., 2010. Mammalian microRNAs predominantly act to decrease target mRNA levels. *Nature* 466(7308): 835-840.
- Khodakov, D. A., Zakharova, N. V., Gryadunov, D. A., Filatov, F. P., Zasedatelev, A. S. and Mikhailovich, V. M., 2008. An oligonucleotide microarray for multiplex real-time PCR identification of HIV-1, HBV, and HCV. *Biotechniques* 44(2): 241-246, 248.
- Lakner, J., Seyer, C., Hermsdorf, T. and Schoneberg, T., 2011. Characterization of the expression, promoter activity and molecular architecture of fibin. *BMC Biochem* 12: 26.
- Wakahara, T., *et al.*, 2007. Fibin, a novel secreted lateral plate mesoderm signal, is essential for pectoral fin bud initiation in zebrafish. *Dev Biol* 303(2): 527-535.

รายการอ้างอิง

- Andersson, M. L., Thorstensson, C. A., Roos, E. M., Petersson, I. F., Heinegard, D. and Saxne, T., 2006. Serum levels of cartilage oligomeric matrix protein (COMP) increase temporarily after physical exercise in patients with knee osteoarthritis. *BMC Musculoskelet Disord* 7: 98-102.
- Barter, M. J., Bui, C. and Young, D. A., 2012. Epigenetic mechanisms in cartilage and osteoarthritis: DNA methylation, histone modifications and microRNAs. *Osteoarthritis Cartilage* 20: 339-349.
- Bernard-Pierrot, I., *et al.*, 2008. Characterization of the recurrent 8p11-12 amplicon identifies PPAPDC1B, a phosphatase protein, as a new therapeutic target in breast cancer. *Cancer Research* 68: 7165-7175.
- Cho, H. J., Chang, C. B., Yoo, J. H., Kim, S. J. and Kim, T. K., 2010. Gender differences in the correlation between symptom and radiographic severity in patients with knee osteoarthritis. *Clinical Orthopaedics and Related Research* 468: 1749-1758.
- Dallas, P. B., *et al.*, 2005. Gene expression levels assessed by oligonucleotide microarray analysis and quantitative real-time RT-PCR -- how well do they correlate? *BMC Genomics* 6: 59-68.
- Del Rey, M. J., *et al.*, 2012. Transcriptome analysis reveals specific changes in osteoarthritis synovial fibroblasts. *Annals of the Rheumatic Diseases* 71: 275-280.
- Dugast-Darzacq, C. and Grange, T., 2009. MethylQuant: a real-time PCR-based method to quantify DNA methylation at single specific cytosines. *Methods in Molecular Biology* 507: 281-303.
- Edwards, J. C., 2000. Fibroblast biology. Development and differentiation of synovial fibroblasts in arthritis. *Arthritis Research and Therapy* 2: 344-347.
- El Hajjaji, H., Cole, A. A. and Manicourt, D. H., 2005. Chondrocytes, synoviocytes and dermal fibroblasts all express PH-20, a hyaluronidase active at neutral pH. *Arthritis Research and Therapy* 7: 756-768.
- Evcik, D., Kuru, I., Maralcan, G. and Evcik, E., 2006. Relationship between the mechanical and anatomic axis and orientation angles of the knee joint and functional capacity of patients with osteoarthritis. *Acta Orthopaedica et Traumatologica Turcica* 40: 38-43.
- Fan, J., *et al.*, 2008. Gene-expression profiling in Chinese patients with colon cancer by coupling experimental and bioinformatic genomewide gene-expression analyses: identification and validation of IFITM3 as a biomarker of early colon carcinogenesis. *Cancer* 113: 266-275.

- Garcia-Blanco, M. A., Baraniak, A. P. and Lasda, E. L., 2004. Alternative splicing in disease and therapy. *Nature Biotechnology* 22: 535-546.
- Giacomelli, L. and Nicolini, C., 2006. Gene expression of human T lymphocytes cell cycle: experimental and bioinformatic analysis. *Journal of Cellular Biochemistry* 99: 1326-1333.
- Graeber, T. G. and Eisenberg, D., 2001. Bioinformatic identification of potential autocrine signaling loops in cancers from gene expression profiles. *Nature Genetics* 29: 295-300.
- Grunau, C., Clark, S. J. and Rosenthal, A., 2001. Bisulfite genomic sequencing: systematic investigation of critical experimental parameters. *Nucleic Acids Research* 29: E65-65.
- Guo, H., Ingolia, N. T., Weissman, J. S. and Bartel, D. P., 2010. Mammalian microRNAs predominantly act to decrease target mRNA levels. *Nature* 466: 835-840.
- Gyurjan, I., Jr., *et al.*, 2007. Gene expression dynamics in deer antler: mesenchymal differentiation toward chondrogenesis. *Molecular Genetics and Genomics* 277: 221-235.
- Hashimoto, K., Oreffo, R. O., Gibson, M. B., Goldring, M. B. and Roach, H. I., 2009. DNA demethylation at specific CpG sites in the IL1B promoter in response to inflammatory cytokines in human articular chondrocytes. *Arthritis and Rheumatism* 60: 3303-3313.
- Hunyadi, J., Simon, M., Jr., Kenderessy, A. S. and Dobozy, A., 1993. Expression of monocyte/macrophage markers (CD13, CD14, CD68) on human keratinocytes in healthy and diseased skin. *The Journal of Dermatology* 20: 341-345.
- Iida, A., Kizawa, H., Nakamura, Y. and Ikegawa, S., 2006. High-resolution SNP map of ASPN, a susceptibility gene for osteoarthritis. *Journal of Human Genetics* 51: 151-154.
- Ikegawa, S., *et al.*, 2000. Novel and recurrent EBP mutations in X-linked dominant chondrodysplasia punctata. *American Journal of Medical Genetics* 94: 300-305.
- Imagawa, K., *et al.*, 2011. The epigenetic effect of glucosamine and a nuclear factor-kappa B (NF- κ B) inhibitor on primary human chondrocytes--implications for osteoarthritis. *Biochemical and Biophysical Research Communications* 405: 362-367.
- Karlsson, C., *et al.*, 2010. Genome-wide expression profiling reveals new candidate genes associated with osteoarthritis. *Osteoarthritis Cartilage* 18: 581-592.
- Ke, X., Taylor, M. S. and Cardon, L. R., 2008. Singleton SNPs in the human genome and implications for genome-wide association studies. *European Journal of Human Genetics* 16: 506-515.
- Keysor, J. J., *et al.*, 2003. Critical review of arthritis self-management strategy use. *Arthritis and Rheumatism* 49: 724-731.

- Khodakov, D. A., Zakharova, N. V., Gryadunov, D. A., Filatov, F. P., Zasedatelev, A. S. and Mikhailovich, V. M., 2008. An oligonucleotide microarray for multiplex real-time PCR identification of HIV-1, HBV, and HCV. *Biotechniques* 44: 241-248.
- Kim, J. S., *et al.*, 2007. Distribution of CD14+ and CD68+ macrophages in the placental bed and basal plate of women with preeclampsia and preterm labor. *Placenta* 28: 571-576.
- Kim, K. W., *et al.*, 2011. Association between comorbid depression and osteoarthritis symptom severity in patients with knee osteoarthritis. *The Journal of Bone and Joint Surgery America Volume* 93: 556-563.
- Lakner, J., Seyer, C., Hermsdorf, T. and Schoneberg, T., 2011. Characterization of the expression, promoter activity and molecular architecture of fibin. *BMC Biochemistry* 12: 26.
- Lawrence, R. C., *et al.*, 2008. Estimates of the prevalence of arthritis and other rheumatic conditions in the United States. Part II. *Arthritis and Rheumatism* 58: 26-35.
- Lee, D. H., Sonn, C. H., Han, S. B., Oh, Y., Lee, K. M. and Lee, S. H., 2012. Synovial fluid CD34(-) CD44(+) CD90(+) mesenchymal stem cell levels are associated with the severity of primary knee osteoarthritis. *Osteoarthritis Cartilage* 20: 106-109.
- Lee, S. W., *et al.*, 2013. The single nucleotide polymorphism (SNP) of the estrogen receptor-beta gene, rs1256049, is associated with knee osteoarthritis in Korean population. *The Knee* 1: 1-5.
- Liu, J., *et al.*, 2011. Management of extension apparatus in total knee arthroplasty of osteoarthritis. *Zhongguo Xiu Fu Chong Jian Wai Ke Za Zhi* 25: 33-37.
- Losina, E., *et al.*, 2012. Lifetime risk and age of diagnosis of symptomatic knee osteoarthritis in the US. *Arthritis Care and Research (Hoboken)* 10: 1-34
- Martel-Pelletier, J., Boileau, C., Pelletier, J. P. and Roughley, P. J., 2008. Cartilage in normal and osteoarthritis conditions. *Best Practic and Research Clinical Rheumatology* 22: 351-384.
- Michaud, C. M., *et al.*, 2006. The burden of disease and injury in the United States 1996. *Population Health Metrics* 4: 11.
- Migheli, F., *et al.*, 2013. Comparison study of MS-HRM and pyrosequencing techniques for quantification of APC and CDKN2A gene methylation. *PLOS ONE* 8: 52501-52507.
- Murphy, L., *et al.*, 2008. Lifetime risk of symptomatic knee osteoarthritis. *Arthritis and Rheumatism* 59: 1207-1213.

- Rodriguez-Fontenla, C., Lopez-Golan, Y., Calaza, M., Pombo-Suarez, M., Gomez-Reino, J. J. and Gonzalez, A., 2012. Genetic risk load and age at symptom onset of knee osteoarthritis. *Jornal of Orthopaedic Research* 30: 905-909.
- Rokhlin, O. W. and Cohen, M. B., 1996. Soluble forms of CD44 and CD54 (ICAM-1) cellular adhesion molecules are released by human prostatic cancer cell lines. *Cancer Letters* 107: 29-35.
- Scanu, A., *et al.*, 2007. Synoviocyte cultures from synovial fluid. *Reumatismo* 59: 66-70.
- Schmidt, M., Weidler, C., Naumann, H., Anders, S., Scholmerich, J. and Straub, R. H., 2005. Androgen conversion in osteoarthritis and rheumatoid arthritis synoviocytes--androstenedione and testosterone inhibit estrogen formation and favor production of more potent 5alpha-reduced androgens. *Arthritis Research and Therapy* 7: 938-948.
- Sohaskey, M. L., Yu, J., Diaz, M. A., Plaas, A. H. and Harland, R. M., 2008. JAWS coordinates chondrogenesis and synovial joint positioning. *Development* 135: 2215-2220.
- Southam, L., *et al.*, 2007. An SNP in the 5'-UTR of GDF5 is associated with osteoarthritis susceptibility in Europeans and with in vivo differences in allelic expression in articular cartilage. *Human Molecular Genetics* 16: 2226-2232.
- Spector, T. D. and MacGregor, A. J., 2004. Risk factors for osteoarthritis: genetics. *Osteoarthritis Cartilage* 12: S39-44.
- Stern, A. G., *et al.*, 2003. Association of erosive hand osteoarthritis with a single nucleotide polymorphism on the gene encoding interleukin-1 beta. *Osteoarthritis Cartilage* 11: 394-402.
- Tseng, S., Reddi, A. H. and Di Cesare, P. E., 2009. Cartilage Oligomeric Matrix Protein (COMP): A Biomarker of Arthritis. *Biomarker Insights* 4: 33-44.
- Valdes, A. M., *et al.*, 2006. Reproducible genetic associations between candidate genes and clinical knee osteoarthritis in men and women. *Arthritis and Rheumatism* 54: 533-539.
- Wakahara, T., *et al.*, 2007. Fibin, a novel secreted lateral plate mesoderm signal, is essential for pectoral fin bud initiation in zebrafish. *Developmental Biology* 303: 527-535.
- Yoo, H. J., *et al.*, 2011. Gene expression profile during chondrogenesis in human bone marrow derived mesenchymal stem cells using a cDNA microarray. *Journal of Korean Medical Science* 26: 851-858.
- Yoon, H. Y., *et al.*, 2013. Pyrosequencing Analysis of APC Methylation Level in Human Prostate Tissues: A Molecular Marker for Prostate Cancer. *Korean Journal of Urology* 54: 194-198.

ภาคผนวก

ภาคผนวก ก

การขออนุมัติผ่านจริยธรรมโรงพยาบาลธรรมศาสตร์เฉลิมพระเกียรติ



คณะกรรมการจริยธรรมการวิจัยในคน มหาวิทยาลัยธรรมศาสตร์ ชุดที่ 1 คณะแพทยศาสตร์

หนังสือรับรองเลขที่ 057/2555

โครงการวิจัยเรื่อง การแสดงออกของยีนในซินโอไซต์จากผู้ป่วยโรคข้อเข่าเสื่อม: Expression of genes in synoviocytes from knee osteoarthritis patients

รหัสโครงการวิจัย MTU-EC-OT-4-049/55

ผู้วิจัย

1. อาจารย์ ดร. รัชนิกร อรรวมโชติ
2. ผู้ช่วยศาสตราจารย์ นายแพทย์ วัชรพล อรรวมโชติ
3. นายเอกมรงค์ สีนุวรรณนท์
4. นายธรรมา สุภักศสถาพรพันธุ์

หน่วยงานที่รับผิดชอบ โครงการจัดตั้งภาควิชาสัตวศาสตร์ออร์โธปิดิกส์
คณะแพทยศาสตร์ มหาวิทยาลัยธรรมศาสตร์
โทร. 02-926-9775

เอกสารที่รับรอง

1. แบบเสนอโครงการวิจัย ฉบับที่ 2 วันที่ 13 มิถุนายน 2555
 - แบบทำขึ้นแจ้งอาสาสมัคร (Patient or subject information sheet)
 - ใบยินยอมของอาสาสมัคร (Consent form)

คณะกรรมการจริยธรรมการวิจัยในคน มหาวิทยาลัยธรรมศาสตร์ ชุดที่ 1 คณะแพทยศาสตร์
ได้พิจารณาอนุมัติด้านจริยธรรมการวิจัยในคนให้ดำเนินการวิจัยข้างต้นได้ ตามมติที่ประชุมครั้งที่ 5/2555
วันที่ 25 พฤษภาคม 2555

ระยะเวลาที่อนุมัติ 3 ปี

กำหนดส่งรายงานความก้าวหน้า 1 ปี วันที่ 18 มิถุนายน 2556

ลงชื่อ.....
(รองศาสตราจารย์ นายแพทย์ วัชรพล อรรวมโชติ)
ประธานคณะกรรมการ

ลงชื่อ.....
(ผู้ช่วยศาสตราจารย์ แพทย์หญิง ทิพาพร อรรวมโชติ)
อนุกรรมการและเลขานุการ

อนุมัติ ณ วันที่ 19 มิถุนายน 2555

รูปที่ 23 เอกสารผ่านการอนุมัติการวิจัยในมนุษย์โรงพยาบาลธรรมศาสตร์เฉลิมพระเกียรติภาษาไทย



Human Research Ethics Committee of Thammasat University (No.1 : Faculty of Medicine)

Number of COA 057/2555

Project No MTU-EC-OT-4-049/55

Title of Project: Expression of genes in synoviocytes from knee osteoarthritis patients

Principal Investigator

1. Rachaneekorn Tammachote, Ph.D.
2. Assistant Prof. Nattapol Tammachote, M.D.
3. Mr. Eknarong Sintuwanon
4. Mr. Thanop Supaksathapornpun

Study Center Department of Botany, Faculty of Science Chulalongkorn University.

Responsible Department Faculty of Orthopedics
Thammasat University,
Pathumthani 12120, Thailand
Tel. 02-926-9775

Document Reviewed

- I. Protocol version 2: dated June 13, 2012.
 - Patient or subject information sheet
 - Consent form

This document is a record of review and approval / acceptance of a clinical study protocol. The Human Research Ethics Committee of Thammasat University (No.1 : Faculty of Medicine) has approved the above study and the following documents for use in the study at the **EC meeting on May 25, 2012**

Approval period3..... years

Progress report deadline**June 18, 2013**.....

Signed : 

(Assistant Prof. Thipaporn Tharavanij, M.D.)

Secretary of the Human Research Ethics Committee of Thammasat University (No.1 : Faculty of Medicine)

Signed: 

(Associate Prof. Waipoj Chanvimalueng, M.D.)

Chairman of the Human Research Ethics Committee of Thammasat University (No.1 : Faculty of Medicine)

Date of Approval**June 19, 2012**.....

รูปที่ 24 เอกสารผ่านการอนุมัติการวิจัยในมนุษย์โรงพยาบาลธรรมศาสตร์เฉลิมพระเกียรติภาษาอังกฤษ

ภาคผนวก ข

ผลการแสดงออกของยีนที่เกี่ยวข้องกับการเจริญของกระดูกอ่อนจากการวิเคราะห์ด้วยชีวสารสนเทศ

จากฐานข้อมูลไมโครอาร์เรย์

ตารางที่ 7 ค่าการจับของโพรบของยีนที่เกี่ยวข้องกับการเจริญของกระดูกอ่อน และยีนควบคุม

ยีน	รหัสโพรบ	เซลล์เยื่อรอบข้อ			
		ค่าการจับของโพรบ		<i>p</i> value	การแสดงออก
		กลุ่มคนปกติ	กลุ่มผู้ป่วยโรคข้อเข่าเสื่อม		
EBP	231320_at	146.76	198.16	0.004	เพิ่มขึ้น 1.4 เท่า
	223568_s_at	982.11	1509.07	0.046	เพิ่มขึ้น 1.5 เท่า
IMPAD1	222654_at	1013.68	1963.56	0.002	เพิ่มขึ้น 1.9 เท่า
	224744_at	699.323	1016.3675	0.204	ไม่แตกต่างกัน
PPAPDC1B	223569_at	360.87	629.33	0.015	เพิ่มขึ้น 1.7 เท่า
	226150_at	776.92	1638.9	0.008	เพิ่มขึ้น 2.1 เท่า
FIBIN	226769_at	1771.15	6199.11	0.053	ไม่แตกต่างกัน
	231001_at	175.3	886.92	0.004	เพิ่มขึ้น 5.1 เท่า
GAPDH	AFFX-HUMGAPDH/M33197_3_at	28724	32267.57	0.483	ไม่แตกต่างกัน
	AFFX-HUMGAPDH/M33197_5_at	18302.625	23181.2	0.137	ไม่แตกต่างกัน

ภาคผนวก ก

ผลการศึกษาการแสดงออกของยีนที่เกี่ยวข้องกับการเจริญของกระดูกอ่อน ด้วยเทคนิค real-time PCR

ตารางที่ 8 ค่า Ct ที่ได้จากการศึกษาการแสดงออกของยีนที่เกี่ยวข้องกับการเจริญของกระดูกอ่อน และ
ยีนควบคุม ด้วยเทคนิค real-time PCR

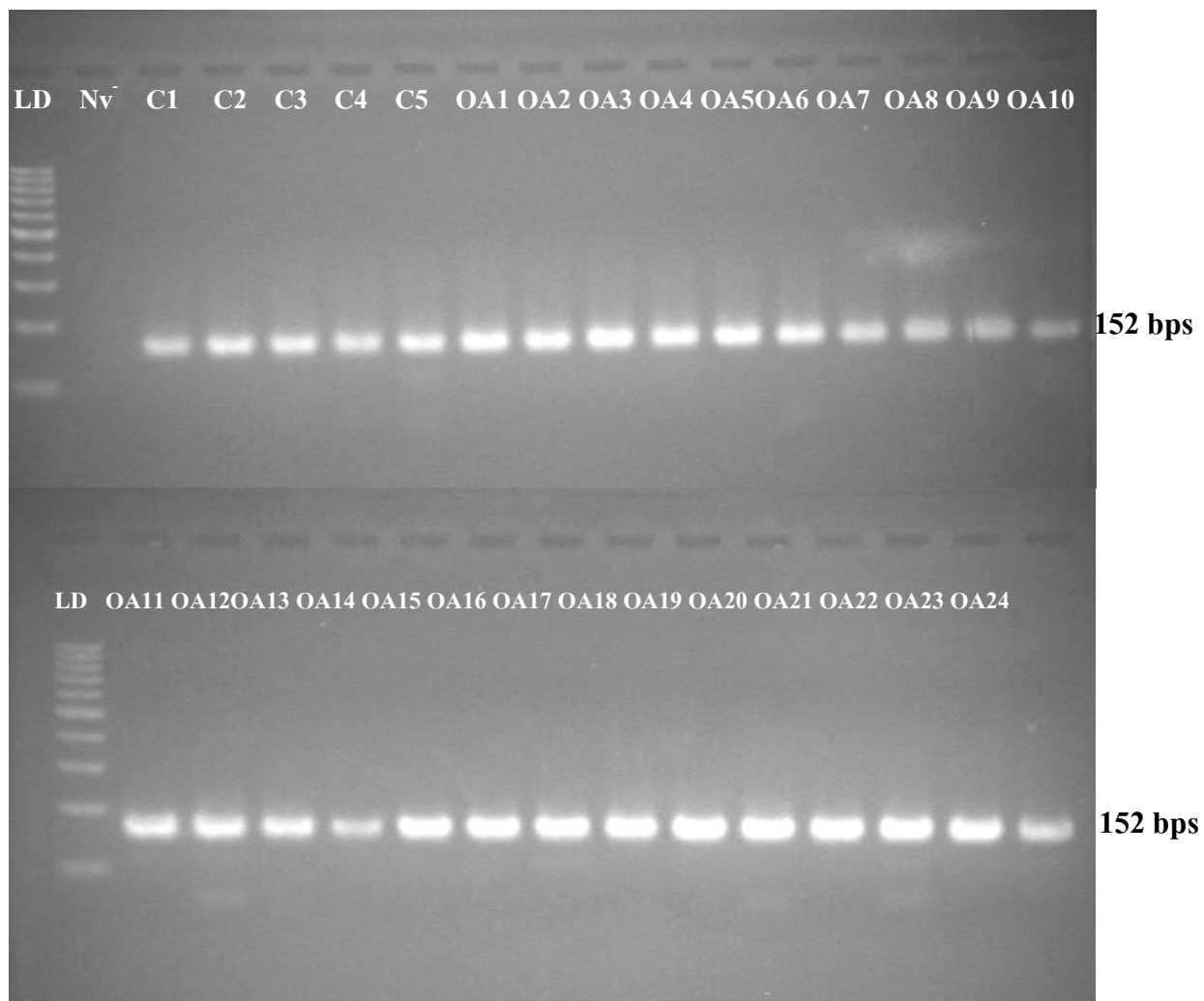
รหัส ตัวอย่าง	ยีนที่เกี่ยวข้องกับการเจริญของกระดูกอ่อน (Ct cycle)				ยีนควบคุม	
	<i>IMPAD1</i>	<i>PPAPDC1B</i>	<i>EBP</i>	<i>FIBIN</i>	<i>GAPDH56</i>	<i>GAPDH60</i>
C1	32.1	29.72	32.15	33.19	27.02	24.82
C2	27.52	29.58	30.09	31.86	19.17	18.98
C3	33.42	29.04	32	39.78	27.4	23.8
C4	27.53	29.02	30	33.63	21.24	20.25
C5	29.92	31.73	30.92	34.79	22.28	22.1
OA1	28.11	29.15	30.18	38.58	19.16	25.29
OA2	28.53	29.53	30.53	35.5	20.72	21.9
OA3	34.66	32.94	35.26	36.67	26.84	26.68
OA4	27.03	29.64	28.98	39.72	18.81	25.78
OA5	31.99	30.55	31.61	33.48	24.07	24.51
OA6	27.73	30.34	30.32	36.02	19.27	18.56
OA7	31.77	31.02	32.47	30.62	24.48	24.29
OA8	32.37	32.42	33.47	33.29	25.76	25.63
OA9	32.63	32.39	33.14	33.81	25.7	25.45
OA10	29.07	31.85	30.44	33.77	20.6	20.43

ตารางที่ 8 (ต่อ) ค่า Ct ที่ได้จากการศึกษาการแสดงออกของยีนที่เกี่ยวข้องกับการเจริญของกระดูกอ่อน และยีนควบคุม ด้วยเทคนิค real-time PCR

รหัสตัวอย่าง	ยีนที่เกี่ยวข้องกับการเจริญของกระดูกอ่อน (Ct cycle)				ยีนควบคุม	
	<i>IMPAD1</i>	<i>PPAPDC1B</i>	<i>EBP</i>	<i>FIBIN</i>	<i>GAPDH56</i>	<i>GAPDH60</i>
OA11	31.93	29.25	32.86	37	27.16	24.96
OA12	31	29.67	30.67	35.67	25.94	22.63
OA13	31.92	29.41	32.7	37.14	26.71	27.98
OA14	32.45	29.36	37.69	36.52	26.83	26.41
OA15	32.34	27.83	28.64	35.81	26.24	24.78
OA16	27.99	25.16	29.04	37	22.58	21.92
OA17	27.34	26.13	28.81	37.44	22.65	23.55
OA18	33.34	31.61	32.28	33.7	25.41	28.54
OA19	32.59	32.17	34.48	34.2	24.97	25.17
OA20	32.2	31.21	31.74	31.63	24.19	24.03
OA21	30.42	30.94	30.97	32.71	23.01	23
OA22	32.05	31.3	32.29	31.47	23.96	24.26
OA23	29.47	30.66	32.02	34.62	21.36	21.57
OA24	32.31	31.36	31.83	32.07	23.81	24.91
OA25	32.21	31.06	31.76	35.91	24.98	25.09
OA26	33.51	33.09	34.2	36.73	26.16	27.49
OA27	29.57	30.65	29.04	36.15	21.22	20.74
OA28	30.97	31.68	30.82	34.12	23.55	23.5
OA29	31.19	31.27	31.63	36.02	24.46	25.63
OA30	30.96	31.29	31.23	35.82	23.8	23.9
OA31	35	32.29	35.19	36.88	28.1	28.48
OA32	33.05	32.22	33.29	37.09	26.08	28.75
OA33	31.33	30.45	30.19	35.14	23.53	23.72

ภาคผนวก ง

ผลการทำ HS-PCR เพื่อส่งตรวจสอบการเกิดเมทิลเลชันบนโปรโมเตอร์ของ *FIBIN* ด้วยเทคนิค
pyrosequencing



รูปที่ 25 ผลการทำ HS-PCR โดยใช้ไพรเมอร์ที่มีความจำเพาะต่อโปรโมเตอร์ของ *FIBIN* เพื่อส่ง
ตรวจสอบการเกิดเมทิลเลชันบนโปรโมเตอร์บนกลุ่มตัวอย่างโรคข้อเข่าเสื่อม และกลุ่มควบคุม

ภาคผนวก จ

ผลการตรวจสอบการเกิดเมทิลเลชันบนโปรโมเตอร์ของยีนด้วยเทคนิคpyrosequencing

ตารางที่ 9 อัตราการเกิดเมทิลเลชันบนโปรโมเตอร์ของ *FIBIN* ที่ CpG ตำแหน่งต่าง ๆ โดยตำแหน่งที่ 2 และ 7 เป็น internal control เพื่อตรวจสอบความสมบูรณ์ในขั้นตอน bisulfite treatment

ตัวอย่าง	การเกิดเมทิลเลชันบนโปรโมเตอร์ของยีนบริเวณCpG (%)						
	1	2	3	4	5	6	7
C1	8.6	3.88	1.86	2.08	2.32	2	1.43
C2	21.75	4.05	7.17	10.83	11.2	13.19	5.46
C3	17.94	7.74	5.78	3.4	3.54	4.88	3.78
C4	22.99	5.73	2.37	3.31	4.23	5.29	3.49
C5	4.3	8.45	5.22	5.89	6.11	3.87	4.64
OA1	10.4	3.84	2.26	2.24	1.79	1.37	1.68
OA2	13.94	0	1.97	2.04	5.56	5.02	5.25
OA3	6.81	1.83	7.55	6.07	6.63	6.21	1.84
OA4	9.79	3.02	1.53	3.44	5.22	2.87	3.13
OA5	11.21	4.83	3.77	3.32	11.31	7.21	4.88
OA6	10.59	0	0	1.78	7.4	5.89	6.05
OA7	5.61	4.28	3.08	3.62	7.23	3.25	2.21
OA8	7.43	2.66	3.09	1.78	7.77	4.11	6.07
OA9	14.58	5.65	2.13	3.14	10.5	5.3	4.07
OA10	20.6	15.42	2.32	2.36	2.4	6.39	7.54
OA11	3.69	2.13	2.68	2.07	26.45	4.77	1.56
OA12	29.98	9.24	2.08	3.55	9.17	8.12	7.25

ตารางที่ 9 (ต่อ) อัตราการเกิดเมทิลเลชันบนโปรโมเตอร์ของ *FIBIN* ที่ CpG ตำแหน่งต่าง ๆ โดยตำแหน่งที่ 2 และ 7 เป็น internal control เพื่อตรวจสอบความสมบูรณ์ในขั้นตอน bisulfite treatment

ตัวอย่าง	การเกิดเมทิลเลชันบนโปรโมเตอร์ของยีนบริเวณ CpG (%)						
	1	2	3	4	5	6	7
OA13	5.52	3.6	3.35	5.22	15.61	5.9	3.06
OA14	9.97	4.53	2.26	2.42	3.13	3.56	3.3
OA15	5.6	0	3.67	3	2.36	0	0
OA16	3.65	2.32	1.24	2.14	1.31	1.38	1.77
OA17	4.77	2.06	3.9	1.88	2.35	2.04	1.66
OA18	2.9	2.88	1.56	3.06	2.1	1.28	2.64
OA19	5.64	3.52	3.17	2.25	0	0	1.85
OA20	7.6	5.65	4.94	5.53	8.91	6.83	4.51
OA21	6.42	5.78	7.22	4.31	4.04	2.89	3.47
OA22	24.49	6.04	3.14	4.53	4.35	5.99	4.8
OA23	10.99	4.37	4.87	4.18	5.82	3.3	3.19
OA24	4.94	3.58	5.23	3.3	3.7	2.77	2.98

ประวัติผู้เขียนวิทยานิพนธ์

ชื่อ-นามสกุล นายเอกณรงค์ สินธุวานนท์

วันเดือนปีเกิด 17 กันยายน พ.ศ. 2529

สถานที่เกิด กรุงเทพมหานคร

ที่อยู่ปัจจุบัน 11/119 หมู่บ้านชลารุ ถนนศิริสุข แขวงสีกัน เขตดอนเมือง

กรุงเทพมหานคร 10210

เบอร์โทรศัพท์ 082-397-9947

ประวัติการศึกษา ระดับอุดมศึกษาวิทยาศาสตร์บัณฑิต สาขาวิชาชีววิทยา (วท.บ.ชีววิทยา)

มหาวิทยาลัยนเรศวร จังหวัดพิษณุโลก ประจำปีการศึกษา 2552

ประวัติเผยแพร่ผลงาน ร่วมเสนอผลงานวิชาการในหัวข้อเรื่อง การคัดเลือกยีนที่เกี่ยวข้องกับกา ร

เจริญของกระดูกอ่อนโดยการใช้ชีวสารสนเทศส์เพื่อศึกษาการแสดงออกของ

ยีนในชิโนไวรัสจากผู้ป่วยโรคข้อเข่าเสื่อม ในการประชุมวิชาการ

ระดับชาติสวนดุสิต: วันนักวิจัยวิทยาศาสตร์ 2013